

19



OFICINA ESPAÑOLA DE
PATENTES Y MARCAS

ESPAÑA



11 Número de publicación: **2 389 748**

51 Int. Cl.:

C12N 7/00 (2006.01)

A61K 39/12 (2006.01)

12

TRADUCCIÓN DE PATENTE EUROPEA

T3

96 Número de solicitud europea: **08771834 .2**

96 Fecha de presentación: **24.06.2008**

97 Número de publicación de la solicitud: **2181189**

97 Fecha de publicación de la solicitud: **05.05.2010**

54 Título: **Virus del síndrome reproductivo y respiratorio porcino de tipo 1 norteamericano recombinante y métodos de uso**

30 Prioridad:
25.06.2007 US 946080 P

45 Fecha de publicación de la mención BOPI:
31.10.2012

45 Fecha de la publicación del folleto de la patente:
31.10.2012

73 Titular/es:
**SOUTH DAKOTA STATE UNIVERSITY (100.0%)
ADM 130 BOX 2201
BROOKINGS, SD 57007-1396, US**

72 Inventor/es:
**FANG, YING y
HENNINGS, JANE**

74 Agente/Representante:
CARPINTERO LÓPEZ, Mario

ES 2 389 748 T3

Aviso: En el plazo de nueve meses a contar desde la fecha de publicación en el Boletín europeo de patentes, de la mención de concesión de la patente europea, cualquier persona podrá oponerse ante la Oficina Europea de Patentes a la patente concedida. La oposición deberá formularse por escrito y estar motivada; sólo se considerará como formulada una vez que se haya realizado el pago de la tasa de oposición (art. 99.1 del Convenio sobre concesión de Patentes Europeas).

DESCRIPCIÓN

Virus del síndrome reproductivo y respiratorio porcino de tipo 1 norteamericano recombinante y métodos de uso

Campo técnico

5 Esta solicitud se refiere al campo de la virología molecular, y más particularmente a la construcción de ácidos nucleicos recombinantes que codifican el virus del síndrome reproductivo y respiratorio porcino (PRRSV).

Antecedentes

10 El síndrome reproductivo y respiratorio porcino (PRRS) es la enfermedad económicamente más importante de los cerdos a nivel mundial. Se caracteriza por insuficiencia reproductiva a largo plazo en cerdas, y neumonía grave en cerdos neonatales. El virus del PRRS (PRRSV) consiste en dos genotipos principales, el genotipo europeo (Tipo 1) y el genotipo norteamericano (Tipo 2), cada uno localizado en otro tiempo en continentes diferentes. Más recientemente, se han identificado aislados del PRRSV del Tipo 1 (Tipo 1 norteamericano) en porquerizos de los Estados Unidos de América. Este grupo de virus posee características antigénicas y genéticas únicas que son distintas del PRRSV de tipo norteamericano y europeo típico. Se ha identificado una supresión única de 51 pb en la región inmunodominante del Nsp2. El agente etiológico de PRRS es un virus pequeño con cubierta, que contiene un genoma de ARN monocatenario positivo. PRRSV pertenece a la familia *Arteriviridae*, que incluye el virus de la artritis equina (EAV), el virus que aumenta la lactato deshidrogenasa (LDV), y el virus de la fiebre hemorrágica de los simios (SHFV) (Snijder y Meulenberg, 1998). Las comparaciones de las secuencias nucleotídicas mostraron que PRRSV se puede dividir en genotipos europeo (Tipo 1) y norteamericano (Tipo 2) distintos (Allende et al., 1999; Nelson et al., 1999).

20 El genoma del PRRSV tiene una longitud de alrededor de 15 kb, y contiene nueve marcos de lectura abiertos. El extremo 3' del genoma codifica cuatro glucoproteínas asociadas a la membrana (GP2a, GP3, GP4 y GP5; codificadas por ARNm subgenómicos 2-5), dos proteínas de membrana no glucosiladas (E y M; codificadas por ARNm subgenómicos 2 y 6) y una proteína de la nucleocápside (N; codificada por ARNm subgenómico 7) (Bautista et al., 1996; Mardassi et al., 1996; Mcng et al., 1996; Meulenberg &dcn Besten, 1996; Meulenberg et al., 1995; Mounir et al., 1995; Wu et al., 2001, 2005). Los genes asociados a replicasas, ORF1a y ORF1b, situados en el extremo 5' del genoma, representan casi el 75% del genoma vírico. Se predice que la proteína p1ab codificada por ORF1ab es escindida en 12 sitios para formar 13 productos: nsp1 α , nsp1 β , y nsp2 a nsp12 (Allende et al., 1999; den Boon et al., 1995; Nelson et al., 1999; Snijder y Meulenberg, 1998).

30 Actualmente existen vacunas atenuadas vivas modificadas frente a PRRSV para la reducción de la enfermedad clínica asociada con PRRSV (Boehringer-Ingelheim Animal Health, Inc.). Sin embargo, no se pueden distinguir serológicamente entre cerdos que se han recuperado de una infección natural y aquellos que se han vacunado. Una vacuna genéticamente marcada permitiría la diferenciación entre cerdos vacunados e infectados naturalmente, lo que se necesita para programas de control y erradicación de PRRSV.

Sumario

35 A título de descripción general, se describe un virus del síndrome reproductivo y respiratorio porcino recombinante (PRRSV) que incluye una o más mutaciones en el marco de lectura abierto (ORF) la, siendo las mutaciones tales que el PRRSV recombinante no produce al menos un polipéptido funcional que corresponde a ORF1a. La mutación puede ser una supresión. Una supresión puede estar en la región nsp2, y puede incluir el epítipo ES4. En una realización, la supresión incluye los aminoácidos 736-790 de ORF1a. La mutación puede incluir una inserción de una secuencia de ADN heteróloga. Una inserción puede estar entre los aminoácidos 733 y 734 de ORF1a. La inserción puede incluir la proteína fluorescente verde (GFP).

45 Se describe una vacuna que incluye un mutante de PRRSV que tiene una mutación en ORF1a, siendo la mutación tal que dicho mutante de PRRSV no produce un polipéptido de ORF1a funcional, y la vacuna incluye un vehículo farmacéuticamente aceptable. La mutación puede incluir una supresión en la región nsp2, tal como una supresión de aminoácidos 736-790 en la región nsp2. La mutación puede incluir una inserción de una secuencia de ADN heteróloga. La inserción puede estar entre los aminoácidos 733 y 734 en la región nsp2.

50 Se describe un kit que incluye una vacuna que incluye un mutante de PRRSV que tiene una mutación en ORF1a, siendo la mutación tal que dicho mutante de PRRSV no produce un polipéptido de ORF1a funcional, incluyendo la mutación una inserción de una secuencia de ADN heteróloga, y un vehículo farmacéuticamente aceptable. El kit incluye además uno o más primeros polipéptidos codificados por la secuencia de ADN heteróloga, y uno o más segundos polipéptidos codificados por ORF1a funcional. La mutación en la vacuna de PRRSV puede ser una supresión en la región nsp2, tal como en un epítipo ES4, y el uno o más primeros polipéptidos incluyen GFP y el uno o más segundos polipéptidos incluyen el epítipo ES4.

55 Se proporciona un método para diferenciar un animal vacunado con una vacuna marcadora de PRRSV de un animal infectado naturalmente con PRRSV, en el que la vacuna marcadora de PRRSV comprende un PRRSV recombinante que incluye una mutación de inserción y una mutación de supresión. El método incluye las etapas de proporcionar

una primera proteína de PRRSV recombinante que incluye la mutación de inserción, proporcionar una segunda proteína de PRRSV recombinante que incluye la mutación de supresión, incubar una muestra sérica procedente del animal con las proteínas de PRRSV recombinantes primera y segunda, y detectar la unión de anticuerpos en la muestra con las proteínas de PRRSV recombinantes primera y segunda. La unión de anticuerpos en la muestra con la primera proteína de PRRSV recombinante es indicativa de un animal vacunado, y la unión de anticuerpos en la muestra con la segunda proteína de PRRSV recombinante es indicativa de un animal infectado naturalmente. La primera proteína de PRRSV recombinante puede incluir una inserción de GFP, y la segunda proteína de PRRSV recombinante puede incluir una supresión de ES4.

Frente a este antecedente, la invención se refiere a los siguientes aspectos:

1. Una vacuna frente al virus del síndrome reproductivo y respiratorio porcino de Tipo 1 norteamericano (USIPRRSV), que comprende una secuencia de ácido nucleico recombinante de SEC ID NO: 43.

2. Un método para diferenciar un animal infectado naturalmente con un virus del síndrome reproductivo y respiratorio porcino de Tipo 1 norteamericano (US1 PRRSV) de un animal vacunado con una vacuna marcadora de US1 PRRSV, en el que dicha vacuna marcadora comprende un US1 PRRSV recombinante en el que se ha insertado un antígeno extraño (marcador positivo) y en el que se ha suprimido un epítipo inmunógeno (marcador negativo), comprendiendo el método de diferenciación:

incubar una muestra sérica procedente del animal con una primera proteína de PRRSV recombinante que contiene el marcador positivo, y con una segunda proteína de PRRSV recombinante que carece del epítipo inmunógeno (marcador negativo), y

detectar la unión de anticuerpos en la muestra con las proteínas de PRRSV primera y segunda, en el que la unión de anticuerpos a la proteína que contiene el marcador positivo es indicativa de un animal vacunado, mientras que la unión de anticuerpos a la proteína que contiene el marcador negativo es indicativa de un animal infectado naturalmente.

En una realización preferida, la vacuna marcadora es la vacuna de (1).

Breve descripción de los dibujos

La FIG. 1 es una representación esquemática del genoma de PRRSV y la estrategia de clonación.

Las FIGS. 2A-2F representan el resultado de ensayos de inmunofluorescencia llevados a cabo para investigar la infecciosidad del clon infeccioso pSD01-08.

La FIG. 3 es una gráfica que muestra la cinética de crecimiento de virus clonado, virus progenitor, y virus que expresa GFP.

La FIG. 4 representa patrones de fragmentos de endonucleasas de restricción de los productos de RT-PCR del virus clonado y progenitor SD01-08.

Las FIGS. 5A y 5B son gráficas que muestran la caracterización *in vivo* de virus clonados.

Las FIGS. 6A-6C representan los resultados de ensayos de inmunofluorescencia llevados a cabo para investigar PRRSV que expresa GFP.

La FIG. 7 es una representación esquemática del constructo pSD01-08-GFP.

La FIG. 8 es una representación esquemática del constructo pSD01-08-GFP/ Δ ES4.

La FIG. 9 es una gráfica que muestra la cinética de crecimiento de los virus marcadores de GFP/ Δ ES4.

La FIG. 10 representa la morfología de placas de virus marcadores de GFP/ Δ ES4 y virus progenitores.

La FIG. 11 representa la estabilidad de la expresión de GFP.

La FIG. 12 representa una comparación del gen de GFP de tipo salvaje con un gen de GFP mutado en Arg-97.

La FIG. 13 es una gráfica que representa características *in vivo* del gen marcador de GFP/ Δ ES4.

Las FIGS. 14A-14C son gráficas que representan propiedades virológicas e inmunológicas del virus marcador de GFP/ Δ ES4.

Las FIGS. 15A-15C representan resultados de ELISA a base de GFP y del epítipo ES4.

Descripción detallada

Se desarrolló un clon de ADNc de longitud completa, SD01-08, de un aislado de PRRSV de Tipo 1 norteamericano. Cuando se compara con el virus de Lelystad, SD01-08 comparte una identidad del 94,1% a nivel nucleotídico (número de acceso de GenBank DQ489311). Una distinción importante entre SD01-08 y LV es las propiedades de crecimiento en PAMs y células de riñón de mono. Los resultados dados a conocer por Meulenbergh et al (15) mostraron que los virus de LV de tipo salvaje y clonados crecieron bien en PAMs, pero hasta niveles bajos en la estirpe celular derivada de MA-104, CL2621. SD01-08 progenitor y clonado crecieron igualmente bien en PAMs y células MARC-145, otra estirpe celular derivada de MA-104. El título de los virus clonados de SD01-08 alcanzó un pico a 48 hpi, mientras que los virus clonados de LV crecieron hasta títulos bajos y no alcanzaron ningún pico incluso a 96 hpi. Por lo tanto, el clon infeccioso de SD01-08 se replica bien en la estirpe celular continua. Otra diferencia entre LV y SD01-08 es en el nivel de virulencia. En PAMs, el virus clonado de LV alcanzó títulos elevados a $10^{7,1}$ a $10^{7,9}$ TCID₅₀/ml, y alcanzó un pico a alrededor de 32 hpi. El virus clonado de SD01-08 alcanzó el mismo título que su virus progenitor en PAMs, pero sus títulos fueron ambos menores que los de LV, alcanzando sólo alrededor de 10^4 TCID₅₀/ml, y alcanzaron más tarde el pico, a alrededor de 72 hpi. Este resultado sugiere que el virus clonado de SD01-08 es menos virulento que el virus clonado de LV. Esta conclusión está apoyada por observaciones de campo y un estudio experimental de exposición de los animales. SD01-08 no provocó signos clínicos significativos, y sólo se observaron lesiones patológicas leves en los cerdos infectados experimentales. Por el contrario, se informó que LV provoca problemas respiratorios importantes en cerdos y abortos en cerdas (34).

Una de las aplicaciones principales del clon infeccioso es su uso como columna vertebral vírica para construir vacunas manipuladas genéticamente mediante ingeniería. Las actuales vacunas de PRRSV en los Estados Unidos de América se dirigen principalmente a los aislados de Tipo 2 norteamericano. La aparición del PRRSV Tipo 1 norteamericano requiere que las vacunas sean eficaces para ambos genotipos de PRRSV. Un requisito esencial para cualquier vacuna de virus vivo es que sea de baja virulencia, y que no induzca manifestaciones en la enfermedad, o las induzca como mucho de forma muy débil. El virus progenitor, SD01-08, se aisló de un grupo de cerdos que no muestran signos clínicos. Los estudios de patogénesis confirmaron que SD01-08 posee propiedades de baja virulencia en la fase aguda de la enfermedad, lo que sugiere que el clon infeccioso pSD01-08 es una cepa potencial poco virulenta y adecuada para la construcción de vacunas.

Una de las etapas claves en el desarrollo de vacunas es la inclusión de marcadores para la diferenciación diagnóstica de animales vacunados de aquellos que están infectados naturalmente con el virus de tipo salvaje. Las vacunas marcadoras son importantes en programas dirigidos a controlar o erradicar infecciones víricas en animales para alimentación, así como en animales de compañía (Babiuk, 1999; Babiuk et al., 1999, 2002; van Oirschot, 2001). Las vacunas marcadoras del virus del herpes estuvieron entre las primeras que demostraron ser eficaces en el campo (Bosch et al., 1996; van Oirschot et al., 1996), seguido de diversos virus de ARN genéticamente modificados, tales como el virus clásico de la fiebre porcina (Widjoatmodjo et al., 2000; van Gennip et al., 2002) y el virus de Rinderpest o peste bovina (Walsh et al., 2000). En programas de erradicación de EAV, algunas autoridades legislativas requieren una vacuna marcadora, puesto que los caballos están implicados de forma activa en el comercio y tráfico internacional. La discriminación entre vacunación e infección se está convirtiendo en una cuestión importante (Castillo-Olivares et al., 2003). De forma similar, con un programa de eliminación de PRRSV, en el futuro, el comercio internacional de cerdos y puercos probablemente requerirá una vacuna marcadora. Además, puesto que el mundo se dirige progresivamente a la eliminación de PRRSV, la serovigilancia es una herramienta esencial para verificar el estado de la enfermedad. Las vacunas convencionales actualmente disponibles son incapaces de permitir la diferenciación entre la infección de tipo salvaje y la vacunación. De este modo, la serovigilancia es imposible frente a la vacunación continuada o durante varios meses después de que ha cesado la vacunación. Claramente, una vacuna marcadora sería de gran beneficio.

Para crear un PRRSV recombinante, se usó un clon infeccioso de PRRSV de Tipo 1 norteamericano, pSD01-08. Comparado con un clon infeccioso del virus de Lelystad (LV) europeo, pSD01-08 posee varias propiedades biológicas distintas: (1) el clon infeccioso pSD01-08 derivó de una cepa progenitora aislada en los Estados Unidos de América en el año 2001, que representa un PRRSV Tipo 1 norteamericano; (2) la cepa progenitora SD01-08 se aisló de un grupo de cerdos de 8 semanas que no mostraban signos clínicos, Y (3) SD01-08 posee una supresión de 51 pb única en la región inmunodominante de Nsp2 (Fang et al., 2004).

La nsp2 desempeña un papel en la replicación vírica. La nsp2 contiene un dominio de cisteína proteasa que reside en el N-terminal. Este dominio induce escisión de nsp2/3, y también funciona como un cofactor con una serina proteasa de nsp4 para procesar los otros productos de escisión (Snijder et al., 1994, 1995; Wassenaar et al., 1997). Además de su función en la replicación vírica, se ha demostrado que las cisteína proteasas de nsp2 de EAV y de PRRSV pertenecen a la superfamilia de proteasas de tumor ovárico (OTU). La proteasa de OTU es capaz de desconjugar tanto ubiquitina como ISG 15 de proteínas celulares, que inhiben respuesta inmunitaria innata dependiente de ubiquitina y de ISG 15 (Frias-Staheli et al., 2007).

El desarrollo de la vacuna marcadora se basa en la manipulación de clones infecciosos de ADNc, en los que se puede insertar un antígeno extraño (marcador positivo) o en los que se puede suprimir un epítipo inmunógeno (marcador negativo). La respuesta de anticuerpos al antígeno extraño o al epítipo vírico se puede usar para diferenciar animales vacunados de los animales infectados naturalmente. La nsp2 de PRRSV es un sitio candidato

excelente para la modificación marcador. La propiedad más importante de nsp2 relacionada con la manipulación del marcador mediante ingeniería es la capacidad de nsp2 de tolerar grandes supresiones e inserciones. Se han dado a conocer inserciones/supresiones de secuencias nucleotídicas en la región central de la proteína (Gao et al., 2004; Shen et al., 2000; Tian et al., 2007; Han et al., 2007). Otra propiedad relacionada con la manipulación del marcador mediante ingeniería es la presencia de varios epítomos inmunodominantes en esta región. Se han identificado seis sitios epitópicos (ES) de células B lineales en la región nsp2 de un virus danés de Tipo 1 (ES2 a ES7) (Oleksiewicz et al., 2001). En el virus de Tipo 2, se ha encontrado que la nsp2 contiene la frecuencia más elevada de epítomos inmunodominantes, cuando se compara con proteínas estructurales (de Lima et al., 2006).

Se prepararon modificaciones marcadoras en la región nsp2 de un clon infeccioso de PRRSV de Tipo 1 norteamericano. Se insertó un marcador positivo, GFP, en la región nsp2, pero el gen de GFP no fue estable. Seguidamente, se suprimió un epítomo tremendamente inmunógeno, ES4, situado en la región nsp2 (aminoácido 736 a 790 de ORF1a), y se sustituyó por el gen de GFP (en el aminoácido 733/734 de ORF1a) usando genética inversa, para crear un marcador negativo. Se caracterizaron las características de replicación *in vitro* y las propiedades biológicas *in vivo* del virus recombinante resultante para determinar su uso potencial como vacuna marcadora frente a la infección por PRRSV. Se llevaron a cabo ELISAs a base del antígeno de GFP y del antígeno peptídico de ES4 para determinar su sensibilidad y especificidad como ensayos de diagnóstico de compañía para la detección y diferenciación de marcadores.

I. Marcador positivo GFP

Células y virus. Se aisló originalmente en 2001 un aislado de PRRSV de Tipo 1 norteamericano, SD01-08, a partir de un grupo de cerdos de 8 semanas de los Estados Unidos de América, que no mostraron signos clínicos de PRRS. Para la transfección inicial para la recuperación de virus a partir de ARN transcrito *in vitro*, se usaron células de riñón de hámster bebé (BHK-21 C 13: American Type Culture Collection). Para el rescate vírico y los experimentos subsiguientes se usaron células MARC-145 (Fang et al., 2006). Las células de macrófagos alveolares porcinos (PAM) se obtuvieron mediante lavado pulmonar de crías de cerdo libres de patógenos específicos libres de PRRSV.

Extracción del ARN, RT-PCR y secuenciación: se infectaron células MARC-145 con virus purificados en placas a una multiplicidad de infección (MOI) de aproximadamente 0,1. Después de tres días, el sobrenadante del cultivo se colocó en capas sobre una almohada de sacarosa 0,5 M y se centrifugó a 100.000 x g durante 14 h en un rotor SW41 (Beckman). Se extrajo ARN del pelete usando un kit de ARN vírico QIAamp (Qiagen). Para obtener la secuencia genómica de longitud completa del virus progenitor, SD01-08, se llevó a cabo la RT-PCR usando una serie de cebadores (Ropp et al., 2004). Cada producto de la RT-PCR se secuenció directamente al menos dos veces desde ambas direcciones para obtener las secuencias de consenso. Para construir el clon infeccioso, se amplificaron mediante RT-PCR nueve fragmentos solapantes (Fig. 1) que cubren el genoma vírico de longitud completa flanqueados por sitios de enzimas de restricción únicos. Los oligonucleótidos directos e inversos para la amplificación mediante RT-PCR se diseñaron inicialmente basándose en la secuencia de LV (número de acceso de GenBank M96262; 18) y más tarde se modificaron para que coincidieran con la secuencia de SD01-08 (Tabla 1). Se llevó a cabo la RT-PCR (Fang et al., 2004). Estos fragmentos amplificados mediante RT-PCR se purificaron en gel y se clonaron en el vector PCR-Blunt II-Topo (Invitrogen). Se secuenciaron tres clones de cada fragmento, y el clon que contiene la secuencia de consenso se usó para el ensamblaje del clon infeccioso.

Tabla 1. Cebadores usados para la amplificación mediante RT-PCR

Cebadores	Secuencias	Posición del genoma en SD01-08
Fragmento a		
E4849F	5' gca tgg ctc tta agg cag ac SEC ID nº 1	4849 - 4868
E7227R	5' cag ctt caa ggc agt tgt ca SEC ID nº 2	7208 - 7227
Fragmento b		
E7139F	5' tgt tgt gat cgg cgg tat ta SEC ID nº 3	7139 - 7158
E8297R	5' cgg cgc ggg cac aca ttt cgt caa ttt SEC ID nº 4	8271 - 8297
Fragmento c		
E8090F	5' tac gac cta tcc acc caa gg SEC ID nº 5	8090 - 8109
E10275R	5' gaa tct atg gtt atc gca gag c SEC ID nº 6	10254 - 10275

ES 2 389 748 T3

Cebadores	Secuencias	Posición del genoma
Fragmento d		
E9946F	5' cct cga tga ggc tgg ata tt SEC ID nº 7	9946 - 9965
E12929R	5' gca cca acc agg agg aaa aaa gc SEC ID nº 8	12907 - 12929
Fragmento e		
E3173F	5' cat tct tgc gtc cct caa at SEC ID nº 9	3173 - 3192
E5352R	5' cga cag tct ttc tgc cat caa tg SEC ID nº 10	5330 - 5352
Fragmento f		
E2229F	5' gct gct gtt gtc ctg tgt t SEC ID nº 11	2229 - 2247
E3397R	5' ccg tgc aag ggg gtg gca tcc SEC ID nº 12	3377-3397
Fragmento g		
E12482F	5' tca ttc gag ctg acc atc aa SEC ID nº 13	12482 - 12501
E14651R	5' ctt tat cat tgc acc cag caa SEC ID nº 14	14631 - 14651
Fragmento h		
E1GF	5' ggc gcg cct aat acg act cac tat aga tga tgt gta ggg tat SEC ID nº 15	1 - 16
E2968R	5' cgc ggg cgc ctg agt tgc aca aat t SEC ID nº 16	2944 - 2968
Fragmento i		
E14059F	5' caa cga tcc tac cgc cgc aca a SEC ID nº 17	14059 - 14080
018 Poly AR	5' ggc gat cgg cgc tct agg aat tct aga (T) ₄₁ aat ttc ggt cac SEC ID nº 18	15036 - 15047
018 3' R	5' ggc gat cgg cgc tct agg aat tc SEC ID nº 19	Después de polyA
Construcción de sitio de enzima de restricción único en ORF7		
E14059F	5' caa cga tcc tac cgc cgc aca a SEC ID nº 20	14059 - 14080
YFp503R	5' ggc ccc agt gct gca atg ata c SEC ID nº 21	Después de polyA
ScalF *	5' aga aga aaa aga aaa gta ctg ctc caa tgg g SEC ID nº 22	14569 - 14599
ScalR *	5' ccc cat tgg agc agt act ttt ctt ttt ctt SEC ID nº 23	14571 - 14600
Inserción de GFP en la region Nsp2		
gfpF	5' gct cag atg gtg agc aag ggc gag gag c SEC ID nº 24	
gfpR	5' gag tct gaa gag gac ttg tac agc tgc tcc a SEC ID nº 25	
Nsp2F1	5' tgc tga ctt tct tgc tga tcc acc tcc t SEC ID nº 26	1895 - 1922
Nsp2R1	5' cct tgc tca cca tct gag cac tcc cg SEC ID nº 27	2408 - 2420
Nsp2F2	5' gct gta caa gtc ctc ttc aga ctc caa ga SEC ID nº 28	2419 - 2439
Nsp2R2	5' gcg gac cca gcc agg atc aga c SEC ID nº 29	2732 - 2753
* El nucleótido mutado para crear el sitio de la enzima de restricción <i>Scal</i> está en negrita y en cursiva.		

Los extremos 5' y 3' de las secuencias genómicas se determinaron usando un kit GeneRACER (Invitrogen), siguiendo las instrucciones del fabricante. El fragmento que representa el término 5' del genoma vírico se preparó usando RT-PCR con los cebadores E1GF y E2968R (Tabla 1), que integra un sitio de T7 ARN polimerasa

inmediatamente antes de los nucleótidos 5' terminales auténticos y un sitio de la enzima de restricción *AscI*. El fragmento que contiene la secuencia del extremo 3' se construyó mediante transcripción inversa de ARN con el cebador 018 polyA, que flanquea los 41 restos de polyA y el sitio *XbaI*. La reacción de transcripción inversa fue seguida mediante PCR con los cebadores E14059F y 018 3'R (Tabla 1).

5 Construcción de un clon de ADNc de longitud completa de un PRRSV de Tipo 1 norteamericano, y determinación de su infecciosidad. Se construyó un clon de ADNc genómico de longitud completa de un PRRSV de Tipo 1 norteamericano, pSD01-08, usando la estrategia mostrada en la Fig. 1. Un plásmido de bajo número de copias pACYC177 (número de acceso de GenBank X06402) se modificó sustituyendo el fragmento entre los sitios *BamHI* y *BglII* por un fragmento relleno, que se preparó como un gen sintético que contiene los sitios de enzimas de restricción como se muestra en la Fig. 1. Cada uno de los fragmentos víricos se cortó de PCR-Blunt II-Topo usando enzimas de restricción y se ligó en el plásmido pACYC177, que se digirió con las mismas enzimas de restricción. Después de cada etapa de ligación, el constructo de pACYC177 se transformó en células DH5 α de *E. coli* y se hizo crecer toda la noche a 37°C en presencia de kanamicina. El clon de ADNc de longitud completa totalmente ensamblado se secuenció, y la secuencia genómica de longitud completa se depositó en GenBank con el número de acceso DQ489311.

10 Para crear el sitio de la enzima de restricción *ScaI*, se generó la mutación silenciosa (mutación de G a T) en el nucleótido 42 de ORF7 (nucleótido 14588 del genoma de SD01-08) usando mutagénesis dirigida al sitio. La mutagénesis dirigida al sitio se logró mediante una técnica de PCR de extensión solapante (Ho et al., 1989; Jespersen et al., 1997), usando los pares de cebadores E14059F/*ScaI*R y *ScaI*F/YFp503R. El producto mutado se confirmó mediante análisis de secuenciación de ADN.

20 Este constructo contiene un promotor de T7 ARN polimerasa de bacteriófago en el término 5' del genoma vírico, un resto de guanosina adicional introducido entre el promotor T7 y el primer nucleótido del genoma vírico, el genoma de longitud completa de 15047 nucleótidos de SD01-08 y una cola de poly (A) de 41 restos incorporada en el extremo 3' del genoma. Comparada con la secuencia genómica del virus progenitor, la secuencia de ADN de pSD01-08 contenía seis diferencias nucleotídicas (Tabla 2).

Tabla 2. Diferencias nucleotídicas entre el aislado de SD01-08 progenitor y el clon de ADNc de longitud completa

Posición nucleotídica en el genoma de SD01-08	Nucleótido en virus progenitor	Nucleótido en el clon de ADNc	Cambio de aminoácido	Posición génica
1331	T	C	Silencioso	Nsp1 β
6158	T	C	Silencioso	Nsp5
8191	A	G	Silencioso	Nsp9
9492	c	T	PtoL	Nsp10
11261	T	C	YtoH	Nsp11
14588	G	T	Silent	ORF7

30 Cuatro de estas diferencias fueron mutaciones silenciosas. La mutación en el nucleótido 14588 se introdujo para crear un sitio de enzima de restricción *ScaI* único en ORF7, para diferenciar el virus clonado del virus progenitor. Dos de las mutaciones nucleotídicas dieron como resultado cambios en los aminoácidos, que incluyeron la sustitución de una C por T en el nucleótido 9492 (aminoácido P a L) situado en Nsp10, y una T por C en el nucleótido 11261 (aminoácido Y a H) situado en Nsp11.

35 El plásmido pSD01-08 se linealizó mediante la enzima de restricción *XbaI*, y se usó para la transcripción *in vitro* mediante una T7 ARN polimerasa para sintetizar los ARNs de extremos bloqueados. El ARN de extremos bloqueados transcrito *in vitro* se transfectó en células BHK-21. A las 48 horas después de la transfección, las células se examinaron para determinar la expresión de la proteína N mediante tinción con anticuerpo fluorescente con mAb SDOW17 (Fig. 2A). Los resultados en la Fig. 2A mostraron que alrededor de 5% de las células transfectadas expresaron la proteína N. Los sobrenadantes procedentes de las células transfectadas se hicieron pasar sobre células MARC-145. Después de 72 horas, las células MARC-145 se tiñeron usando el mAb anti-Nsp2 específico para SD01-08, ES3-4 58-46 (Fig. 2B), y el mAb anti-proteína N SDOW17 (Fig. 2C). Como control negativo, se incorporó un mAb anti-proteína N específica para PRRSV Tipo 2 norteamericano, MR39 (Fig. 2D). Los resultados mostraron que ambas proteínas Nsp2 y N fueron detectadas en células MARC-145 inoculadas con sobrenadante procedente de las células BHK-21 transfectadas con pSD01-08. Con la pasada adicional del sobrenadante sobre células MARC-145 recientes (pasada 2 sobre células MARC-145), se observaron efectos citopáticos (CPE) en 48 a 45 72 horas después de la infección (hpi). La titulación del virus de la pasada 2 sobre células MARC-145 mostró un

título medio de $3,6 \times 10^7$ FFU/ml. Estos resultados indican que se rescató PRRSV Tipo 1 norteamericano viable e infeccioso a partir de las células transfectadas con ARN transcrito *in vitro*.

Inserción de GFP: El clon de pSD01-08-GFP se construyó insertando la secuencia génica de GFP (Clontech) en la región de Nsp2 (nucleótido 2420/2421) del genoma vírico en el plásmido pSD01-08. El gen de GFP se amplificó a partir del plásmido pEGFP-N1 (Clontech) con el cebador directo gfpF y el cebador inverso gfpR. GFP se insertó mediante técnica de PCR de extensión solapante (Ho et al.; 1989, Jespersen et al., 1997) usando los pares de cebadores de Nsp2F1/Nsp2R1 y Nsp2F2/Nsp2R2. El producto de PCR se digirió con las enzimas de restricción *RsrI1* y *Acl1* y se ligó en el plásmido pSD01-08, que se digirió con las mismas enzimas de restricción.

Transcripción *in vitro* y rescate de PRRSV: El plásmido pSD01-08 o pSD01-08-GFP se linealizó con la enzima de restricción *XbaI*. El ARN bloqueado en los extremos se transcribió con T7 ARN polimerasa usando el kit mMessage Machine (Ambion), y se transfectó a células BHK-21 usando el reactivo DMRIE-C (Invitrogen), siguiendo las instrucciones del fabricante. Para rescatar el virus, el sobrenadante del cultivo celular obtenido 48 horas después de la transfección se hizo pasar en serie sobre células MARC-145. El rescate del virus infeccioso se confirmó mediante ensayo inmunofluorescente indirecto (IFA) (Ropp et al., 2004). Se desarrollaron anticuerpos monoclonales (mAbs) para uso en el ensayo de IFA, incluyendo Mab ES3-4 58-46, que reconoce específicamente Nps2 de SD01-08 (Fang et al., Conf. Res. Work. Anim. Dis., abstr. 78, 2004). El Mab MR39 reconoce específicamente la proteína N del PRRSV de Tipo 2 norteamericano, y el Mab SDOW17 reconoce la proteína N de ambos genotipos de PRRSV (Nelson et al., 1993; Ropp et al., 2004). Para el rescate del virus de GFP, también se visualizó directamente la expresión de GFP bajo un microscopio fluorescente.

Se examinaron las cinéticas de crecimiento infectando células MARC-145 con virus clonado y virus progenitor, a una MOI de 0,1. Las células infectadas se recogieron a 0, 6, 12, 24, 36, 48, 60 y 72 horas después de la infección, y los títulos del virus se determinaron mediante IFA en células MARC-145 y se cuantificaron como unidad de foco fluorescente por ml (FFU/ml). Se comparó la morfología de placas entre el virus clonado y el virus progenitor mediante un ensayo de placas sobre células MARC-145. Las monocapas de células confluentes se infectaron con 0,1 MOI de los virus. Después de 2 horas, el sobrenadante del cultivo celular se retiró y se aplicó un recubrimiento de agar. Las placas se detectaron después de cinco días a 37°C, y se tiñeron usando violeta de cristal al 0,1%.

Caracterización *in vitro* de virus clonado. El virus progenitor y el virus clonado (pasada 2 sobre células MARC-145) se titularon sobre macrófagos alveolares porcinos (PAMs). La tinción inmunofluorescente usando mAb anti-proteína N mostró que ambos virus se replicaron en PAMs (Fig. 2E y 2F) y produjeron el rendimiento vírico similar ($2,1-2,8 \times 10^4$ FFU/ml) a 72 hpi.

Para comparar adicionalmente las propiedades de crecimiento de los virus clonados y progenitores, se infectaron células MARC-145 con cada uno de los virus a una MOI de 0,1 y se cosecharon a 6, 12, 24, 36, 48, 60 y 72 hpi. Los resultados de la curva de crecimiento mostraron que el virus clonado poseyó una cinética de crecimiento similar a la del virus progenitor (Fig. 3). Los títulos alcanzaron un pico a 48 hpi para ambos virus. El título pico del virus clonado fue $1,39 \times 10^7$ FFU/ml, frente a $2,34 \times 10^7$ FFU/ml para el virus progenitor. También se determinó la morfología de placas de estos virus: el tamaño de las placas producidas por el virus clonado fue similar al del virus progenitor (datos no mostrados). Estos resultados indican que el virus clonado posee propiedades *in vitro* similares al virus de tipo salvaje progenitor.

Para diferenciar el virus clonado del virus progenitor, se manipuló mediante ingeniería un sitio de enzima de restricción *ScaI* en el nucleótido 42 de ORF7. Como se muestra en la Fig. 4, en el virus clonado se escindió mediante *ScaI* un fragmento de RT-PCR de 1054 pb derivado de amplificar los nucleótidos 13875 a 14928. Por el contrario, el fragmento de RT-PCR derivado del virus progenitor no se escindió mediante *ScaI*.

Propiedades patógenas e inmunológicas de virus clonado derivado de pSD01-08 en un modelo de cerdo. Se llevó a cabo un estudio *in vivo* de las propiedades de replicación de virus derivado del clon infeccioso usando un modelo de cerdo de criadero. Se obtuvieron veintidós cerdos de 4 semanas, no sometidos a tratamiento previo de PRRSV, procedentes de una piara certificada negativa a PRRSV, y se dividieron aleatoriamente en 4 grupos enjaulados separadamente en instalaciones de aislamiento. Después de un período de aclimatación de 4 días, los cerdos de cada grupo (n = 6) para el grupo infectado con el virus clonado; n = 5 para los grupos restantes) se inocularon intranasalmente con 1 ml de 10^5 TCID₅₀ de virus clonado (grupo 1) o virus progenitor (grupo 2). El tercer grupo de animales se inoculó con la actual vacuna del virus vivo modificado (MLV) Ingelvac® PRRSV. Los animales del grupo de control negativo (grupo 4) se expusieron de forma simulada al sobrenadante del cultivo de células MARC-145.

Los cerdos se observaron diariamente en busca de signos clínicos, y se tomaron las temperaturas corporales durante los primeros 7 días tras la infección. Se obtuvieron muestras de sangre de todos los cerdos en los días 0, 7, 14, 21, 28, 35, y 42. Las muestras de suero se almacenaron a -80°C para ensayos posteriores. Dos cerdos de cada grupo se eutanasiaron a los 21 días después de la inoculación (dpi) para el análisis post-mortem de infección aguda. Los tres cerdos restantes de cada grupo se eutanasiaron a 42 dpi. Las lesiones pulmonares de los animales del estudio se evaluaron usando un sistema desarrollado previamente basado en el volumen aproximado que cada lóbulo contribuye a todo el pulmón: los lóbulos apicales izquierdo y derecho, los lóbulos cardíacos izquierdo y

derecho, y el lóbulo intermedio contribuyen cada uno con 10% del volumen pulmonar total, y los lóbulos caudales izquierdo y derecho contribuyen cada uno 25%. Estas puntuaciones se usaron entonces para calcular la puntuación de lesión pulmonar total basándose en la contribución relativa de cada lóbulo (Halbur et al., 1995).

5 Para la detección de ARN vírico y la determinación de la carga viral, se examinaron muestras séricas de 0, 7, 14, 21, 28, 35 y 42 dpi usando PCR cuantitativa en tiempo real (Tetracore VetAlert PRRS; Wasilk et al., 2004), que se lleva a cabo de manera rutinaria en el South Dakota Animal Disease Research and Diagnostic Laboratory (SDSU-ADRD). Todas las muestras séricas se evaluaron para determinar los anticuerpos anti-PRRSV usando el ELISA IDEXX HerdChek® PRRS 2XR y el ensayo de neutralización vírica (VN). Estos ensayos también se llevan a cabo de forma rutinaria en SDSU-ADRD bajo guías estrictas de garantía de calidad.

10 Todos los cerdos que recibieron los virus se infectaron, lo que fue evidente por los resultados positivos de RT-PCR para la presencia de ARN vírico en suero y mediante serología. El virus en suero alcanzó un pico a 14 días después de la infección (dpi) (Fig. 5A; Tabla 3). A 14 dpi, 5 de 6 cerdos en el grupo del virus clonado, 4 de 5 cerdos en el grupo del virus progenitor, y los 5 cerdos en los grupos de la vacuna se habían seroconvertido (Fig. 5B; Tabla 3).
 15 Cuatro de los 6 cerdos en el grupo expuesto al virus clonado tuvieron títulos de anticuerpos neutralizantes detectables a 21 dpi, mientras que 1 de los 5 cerdos en el grupo expuesto al virus progenitor desarrolló anticuerpos neutralizantes en 21 dpi. Dos de los cerdos procedentes del grupo expuesto a la vacuna de MLV desarrollaron títulos de anticuerpos neutralizantes detectables a 42 dpi (Tabla 3).

Tabla 3. Sumario de resultados serológicos y de PCR en suero de cerdos inoculados a diferentes días después de la infección (dpi).

dpi	Virus progenitor			Virus clonado			Vacuna de MLV		
	PCR ^a	ELISA ^b	VN ^c	PCR ^a	ELISA ^b	VN ^c	PCR ^a	ELISA ^b	VN ^c
0	0/5	0/5	0/5	0/6	0/6	0/6	0/5	0/5	0/5
7	4/5	1/5	0/5	5/6	0/6	0/6	5/5	0/5	0/5
14	4/5	4/5	0/5	6/6	5/6	0/6	5/5	5/5	0/5
21*	5/5	5/5	1/5	6/6	5/6	4/6	5/5	5/5	0/5
28	2/3	3/3	2/3	4/4	4/4	2/4	3/3	3/3	0/3
35	1/3	3/3	2/3	2/4	4/4	2/4	3/3	3/3	0/3
42	0/3	3/3	3/3	1/4	4/4	2/4	2/3	3/3	2/3

^aPCR: número de cerdos con una PCR positiva/número total de cerdos en cada grupo determinado mediante la PCR en tiempo real; ^bELISA: número de cerdos seropositivos/número total de cerdos en cada grupo determinado mediante ELISA IDEXX HerdChek® PRRS 2XR; ^cVN: número de cerdos que desarrollan respuesta de anticuerpos neutralizantes/número total de cerdos, determinado mediante ensayo de neutralización de foco fluorescente. Resultados interpretados como reducción del 90% de la infección vírica.
 *Dos cerdos eutanasiados en el día 21 para el análisis de infección aguda.

20 Todos los cerdos infectados de forma simulada permanecieron negativos a la RT-PCR y a anticuerpos anti-PRRSV durante todo el período de estudio. No se observaron signos clínicos significativos en ninguno de los cerdos infectados. Sólo se observaron lesiones pulmonares patológicas leves características de PRRSV, tal como neumonía intersticial menor, en 3 de 6 cerdos del grupo del virus clonado, 5 de 5 cerdos del grupo del virus progenitor y 2 de 5 cerdos del grupo de la vacuna. El resto de los cerdos no mostró lesiones pulmonares gruesas (Tabla 4). De forma interesante, al comparar las lesiones patológicas entre los cerdos de diferentes grupos, las puntuaciones de las lesiones parecen ligeramente mayores en cerdos infectados con virus progenitor.
 25

Tabla 4. Porcentaje de pulmón con lesiones de neumonía gruesas en cerdos infectados

Número del cerdo	Puntuación de lesión pulmonar gruesa (%)*			
	Virus clonado	Virus progenitor	Vacuna de MLV	Control simulado
1	0	0,6	0,7	0
2	1,0	0,5	0	0

Número del cerdo	Puntuación de lesión pulmonar gruesa (%)*			
	Virus clonado	Virus progenitor	Vacuna de MLV	Control simulado
3	0,9	10,5	0	0
4	0	2,1	0,3	0
5	0	3,25	0	0
6	1.5	N/A	N/A	N/A

*La patología pulmonar gruesa se evaluó usando un sistema de puntuación de lesión pulmonar de cerdo gruesa en el que cada lóbulo del pulmón se evaluó para determinar el % de neumonía, y el % de neumonía de cada lóbulo se añadió para todo el pulmón (10).

Introducción de la proteína fluorescente verde en la región Nsp2 del clon infeccioso. Se exploró la posibilidad de usar este clon infeccioso para la expresión de genes extraños. Los estudios previos demostraron que Nsp2 es un sitio candidato excelente para la inserción de genes extraños. La región C-terminal de Nsp2 tanto para el Tipo 1 como para el Tipo 2 contiene dominios hipervariables, incluyendo inserciones y supresiones de aminoácidos (7, 8, 27). Una de las diferencias importantes entre el SD01-08 y LV, el miembro prototípico de los virus de Tipo 1 europeos, es la presencia de una supresión de 17 aminoácidos en la Nsp2, que está situada entre los aminoácidos 734 a 750 en ORF de LV. Se insertó una proteína fluorescente verde (GFP) en este sitio de supresión único de Nsp2 (en los aminoácidos 733/734 del ORF1a de SD01-08, Fig. 7). El constructo, pSD01-08-GFP, se transcribió *in vitro* y se transfirió en células BHK-21. Las células vivas se examinaron directamente bajo un microscopio de fluorescencia después de 48 horas tras la transfección. El sobrenadante del cultivo celular procedente de las células BHK transfectadas se hizo pasar sobre células MARC-145, dando como resultado la aparición de células que expresan GFP, que se pudieron visualizar claramente tan pronto como 6 horas después de la infección (FIG. 6A). Para confirmar la expresión de la proteína de fusión GFP-Nsp2, a 48 horas después de la infección, las células se fijaron y se tiñeron con un mAb específico para Nsp2, ES3-4 58-46. ES3-4 58-46 se generó inmunizando ratones con un péptido sintético obtenido de la secuencia epitópica de ES3, que está situada inmediatamente en dirección del sitio de inserción de GFP (Fig. 7). Como anticuerpo secundario, se usó IgG antiratón de cabra conjugada a Cy3 fluorescente rojo. La microscopía confocal mostró la localización perinuclear tanto de GFP como Nsp2, similar a la localización de Nsp2 del virus progenitor (Figs. 6B y 6C). Para determinar si la expresión de GFP afectó a la replicación vírica, se compararon las características de crecimiento del virus de GFP con los virus de tipo salvaje progenitor y clonado. El ciclo de replicación del virus de pSD01-08-GFP fue similar al de los otros virus, incluyendo títulos víricos pico a 48 hpi; sin embargo, el título máximo para la infección del virus de GFP se redujo aproximadamente 10 veces. (Fig. 3).

Para investigar la estabilidad de la expresión de GFP a lo largo de múltiples rondas de replicación vírica, se hizo pasar en serie ocho veces el virus de GFP sobre células MARC-145. Hacia la séptima pasada, apareció una subpoblación de virus que no expresa GFP, que se computó como el 15% de la población vírica total. También se analizó la pérdida de GFP mediante RT-PCR. Se aisló ARN celular total de células infectadas con la séptima pasada del virus de GFP, y se usó ARN como molde en una reacción de RT-PCR con cebadores que amplificaron la región de inserción de GFP. El producto de RT-PCR se clonó y se secuenció. Los resultados revelaron que los aminoácidos N-terminales 1-159 de GFP se suprimieron (Fig. 7). De forma más interesante, mientras que se suprimieron los aminoácidos 1-159, se insertaron dos aminoácidos, metionina (M) y ácido glutámico (E), por el virus antes del aminoácido 160 de GFP (Fig. 7). Por lo tanto, la selección del genoma vírico que codifica la supresión en el gen de GFP dio cuenta de la disminución en el porcentaje de células infectadas que expresan GFP. Tomados juntos, estos resultados indican que la región Nsp2 puede tolerar la introducción de un gen extraño. Sin embargo, la inserción de un gen extraño reduce el nivel de replicación vírica. De este modo, el marcador positivo, el gen de GFP no fue estable.

II. Virus marcador negativo de GFP/ΔES4

Construcción del virus vacunal marcador negativo GFP/ΔES4. A fin de obtener un virus vacunal marcador negativo potencial, se suprimió el epítipo de células B, ES4, que está situado en dirección de la GFP (en el nucleótido 2427 a 2591 del genoma vírico de SD01-08) mediante técnicas de PCR de extensión solapante (Hayashi et al., 1994) usando pares de cebadores ΔES4F/E3448R y E1895F/ΔES4R (Tabla 5). El producto de la PCR se digirió con las enzimas de restricción *RsI1* y *EcoRV*, y se ligó en el plásmido pSD01-08-GFP, que se digirió con los mismos enzimas de restricción. El constructo plasmídico resultante se designó como pSD01-08-GFP/ΔES4 (Fig. 8).

Tabla 5. Cebadores usados para la supresión del epítipo ES4 y la expresión antigénica de ELISA

Nombre del cebador	Secuencia*	Posición del genoma en SD01-08@
ΔES4F	5' caa gtc ctc tac agg gcc cat act c SEC ID nº 32	2421 -2426 2592 -2606
ΔES4R	5' ggc cct gta gag gac ttg tac agc tc SEC ID nº 33	2421 -2426 2592 - 2599
E1895F	5' ctt gct gat cc acct cct cag g SEC ID nº 34	1905 - 1926
E3448R	5' ccg tcg gag ggg gtg gca tcc SEC ID nº 35	3377 - 3397
Nsp2-2144F	5' gtc tgt gtc ctt gga cga gtg SEC ID nº 36	2144 - 2164
Nsp2-2694R	5' cca agc ggc caa gga tag atc SEC ID nº 37	2694 - 2714
pET-EGFP-F	5' cgq gat cca tgg tga gca agg gcg agg agc SEC ID nº 38	-
pET-EGFP-R	5' cct aag ctt cct tgt aca gct cgt cca tgc cg SEC ID nº 39	-
pET-ES4F1	5' gc aga tct tca gac tcc aag aga gaa SEC ID nº 40	2427 - 2444
pET-ES4F2	5' gc aga tct ggt ggt ggt ggt tcc tca gac tcc aag aga gaa SEC ID nº 41	2427 - 2444
pET-ES4R	5' at ccc aag ctt gcg ggg atc ccg gga caa atc ctc g SEC ID nº 42	2577 - 2591

*Los nucleótidos de GFP están en negrita, y los sitios de enzimas de restricción están en cursiva y subrayados; @ Los números corresponden a posiciones nucleotídicas en el genoma de SD01-08.

La Fig. 8 es un diagrama esquemático del constructo pSD01-08-GFP/ΔES4. La GFP se insertó entre los aminoácidos 733 y 734 de ORF1a, y el epítipo de células B inmunógeno, ES4, situado en dirección de GFP (en el aminoácido 736 a 790) se suprimió del virus SD01-08. La transfección directa de este ADN plasmídico en células BHK-21 inicia un ciclo completo de replicación vírica. Los sobrenadantes de los cultivos celulares de células BHK-21 obtenidos 48 horas después de la transfección se hicieron pasar sobre células MARC-145, se recuperó el virus de la progenie infecciosa, y el virus resultante se denominó como virus marcador GFP/ΔES4. El virus progenitor, SD01-08, se generó paralelamente a partir del clon de ADNc pSD01-08. Para la caracterización *in vitro* e *in vivo* se usó la pasada dos de los virus de células MARC-154.

El estudio de la genética de crecimiento mostró que los virus marcadores GFP/ΔES4 se replicaron con una cinética ligeramente más lenta, alcanzando un título máximo varias horas más tarde que el virus progenitor, SD01-08. El título vírico pico del virus marcador ($3,34 \times 10^4$ FFU/ml) fue aproximadamente dos logaritmos menor que el del virus progenitor ($2,56 \times 10^6$ FFU/ml) (Fig. 9). La Fig. 9 representa la cinética de crecimiento de los virus marcadores GFP/ΔES4. Las células MARC-145 se infectaron paralelamente a MOI de 0,1 con la pasada tres del virus marcador GFP/ΔES4 y del virus progenitor. A 0, 6, 12, 24, 36, 48, 60 y 72 horas después de la infección, las células se cosecharon, y los títulos víricos se determinaron mediante IFA en células MARC-145. Los resultados fueron valores medios a partir de tres réplicas del experimento, y los títulos víricos se expresaron como unidades de foco de fluorescencia por mililitro (FFU/ml). La morfología de placas entre el virus marcador y el virus progenitor se comparó mediante ensayo en placas en células MARC-145. Las placas víricas formadas por el virus marcador GFP/ΔES4 se redujeron drásticamente de tamaño, y la mayoría de las placas tuvieron un tamaño preciso (Fig. 10), sugiriendo un efecto negativo de la inserción de GFP/supresión de ES4 sobre la velocidad de extensión célula a célula durante la infección. La Fig. 10 muestra la morfología de placas de los virus marcadores GFP/ΔES4 (10-1) y virus progenitores (10-2). Se infectaron monocapas de cultivos celulares confluentes con virus a una MOI de 0,1. Después de una infección de 2 horas, el sobrenadante del cultivo celular se retiró y se aplicó un recubrimiento de agar. Las placas se detectaron después de 5 días a 37°C, y se tiñeron usando violeta de cristal al 0,1%.

La estabilidad *in vitro* de la inserción de GFP o la supresión de ES4 en los virus recombinantes fue seguida durante 10 pasadas en serie (incubación de 72 horas para cada pasada) en células MARC-145. La región GFP/ΔES4 del virus en la pasada 10 se secuenció. Sorprendentemente, a diferencia del virus SD01-08-GFP previo, que experimentó una supresión de los 159 aminoácidos N-terminales, la GFP en el virus marcador GFP/ΔES4

permaneció intacta como un gen de longitud completa, y todavía estaba presente la supresión de ES4. Este resultado indica que la supresión de la región del epítipo ES4 mejoró la estabilidad del gen extraño insertado, GFP. Se identificó una pequeña población de las células infectadas que perdió la fluorescencia asociada a GFP (Fig. 11). En 11-1 se muestra la expresión de GFP en células MARC-145 infectadas con la pasada 10 de los virus marcadores GFP/ Δ ES4. El mismo foco vírico teñido con anticuerpo monoclonal anti-nucleocápsida marcado con AlexiFluor, SDOW 17 (Nelson et al., 1993), se muestra en 11-2. En el círculo se muestra la población de virus que perdieron la fluorescencia de GFP.

Para la región de GFP/ Δ ES4, se llevaron a cabo tres repeticiones independientes de PCR y secuenciación (en las direcciones tanto directa como inversa). Por lo tanto, se obtuvo un total de seis secuencias. En una de las secuencias, se identificó una mutación del nucleótido C-289 a T-289, que provocó la mutación de aminoácidos de arginina a cisteína en la posición 97 de la GFP, que puede corresponder a la pequeña población de células infectadas que perdieron la fluorescencia asociada a GFP (Fig. 12). No se detectó ninguna mutación en las otras cinco secuencias. La Fig. 12 representa un electroferograma del gen de GFP de tipo salvaje en comparación con el gen de GFP mutado en Arg-97. La región de inserción de GFP se secuenció a partir de la pasada 10 del cultivo celular de los virus marcadores de GFP/ Δ ES4. Los aminoácidos se presentan en un código de una sola letra, y la letra en negrita indica el aminoácido mutado de CGC (Arg) a TGC (Cys).

Expresión de los antígenos ES4 y GFP. El antígeno ES4 se expresó como epítopos ES4 de repetición en tándem usando un método modificado descrito anteriormente (Sun et al., 2004). De forma breve, se construyeron tres copias del epítipo ES4 (aminoácido 736-790 de ORF1a de SD01-08) en el vector de expresión proteico, pET-28a (+) (Novagen). Se añadió un ligador peptídico flexible, GGTGGTGGTGGTTCC, entre dos epítopos para ayudar a presentar los epítopos. Hubo dos cebadores directos. El cebador directo 1, pET-ES4F1 contenía un sitio de restricción de *Bgl*II, pero sin una secuencia ligadora, mientras que el cebador directo 2, pET-ES4F2, contenía no sólo un sitio de restricción de *Bgl*II, sino también una secuencia ligadora. El fragmento génico de ES4 se amplificó en primer lugar con el cebador directo 1 y el cebador inverso, pET-ES4R. El producto de la PCR se digirió con *Bgl*II e *Hind*III, y después se clonó en pET-28a, que se digirió con *Bam*HI e *Hind*III. Este clon se denominó pET-28a-ES4 (+1). La segunda copia de ES4 se amplificó mediante PCR mediante el cebador directo 2 y el cebador inverso, pET-ES4R. El producto de la PCR se digirió con *Bgl*II e *Hind*III, y después se clonó en pET-28a-ES4 (+1), que se digirió con *Bam*HI e *Hind*III. La tercera copia del ES4 se insertó usando la misma estrategia que la segunda copia. El constructo final se denominó pET-28a-ES4 (+3). El gen de GFP se amplificó a partir del plásmido pEGFP-N1 (Clontech) con el par de cebadores pET-EGFP-F/pET-EGFP-R. El producto de la PCR se digirió con las enzimas de restricción *Bam*HI e *Hind*III, y se ligó al vector pET-28a, que se digirió con las mismas enzimas. Las proteínas recombinantes se expresaron en *E. coli* BL21 (DE3) para producir una proteína de fusión con seis restos de histidina en el N-terminal. Las proteínas se purificaron mediante cromatografía de afinidad de níquel, y se analizaron mediante SDS-PAGE como se describe en nuestra publicación previa (Ferrin et al., 2004).

Caracterización *in vivo* del virus marcador de GFP/ Δ ES4. Las características *in vivo* del virus marcador de GFP/ Δ ES4 se estudiaron en un modelo de enfermedad de cerdo de criadero. Se adquirieron dieciocho cerdos de cuatro semanas de una piara libre de PRRSV. Los animales se separaron aleatoriamente en tres grupos (n = 6/grupo) y se enjaularon en condiciones de aislamiento BL2 con un período de aclimatación de 7 días antes de comenzar las inoculaciones experimentales. Los cerdos del grupo 1 se infectaron con el virus marcador de GFP/ Δ ES4, y los cerdos del grupo 2 se infectaron con el virus progenitor SD01-08 como control positivo, y los cerdos del grupo 3 se infectaron de forma simulada con el medio de cultivo celular. Los cerdos del grupo 1 y grupo 2 se inocularon a través de sitios tanto intranasales como intramusculares, con 1×10^6 dosis infecciosas de cultivo tisular del 50% (TCID₅₀) del virus (1 ml en cada sitio). En los 42 días después de la infección (dpi), los cerdos del grupo 1 y el grupo 2 se expusieron a la cepa de Tipo 1 heteróloga del virus SD03-15.

El SD03-15 es otra cepa de Tipo 1 norteamericana, que se aisló de muestras clínicas sometidas a nuestro laboratorio de diagnóstico en el año 2003. En informes de campo, los cerdos infectados con SD03-15 experimentaron una mortalidad previa al destete de 80-90% durante un período de 3 semanas. El comportamiento disminuido continuó a través de la fase de acabado. En la población de cerdas adultas, hubo una tormenta de abortos leve, en comparación con la epidemia de US PRRSV previa. Nuestro estudio con animales experimentales previo también demostró la naturaleza patógena de este virus (Lawson et al., Proc. Conf. Res. Work. Anim. Dis., abstr. 99, 2005).

Tres cerdos del grupo 3 se expusieron al virus SD03-15, y los otros tres cerdos permanecieron como controles infectados de forma simulada. Los cerdos se observaron diariamente en busca de signos clínicos y para determinar las temperaturas corporales durante los primeros 7 días después de la infección y los primeros 7 días después de la exposición. Se compararon las respuestas de temperaturas medias entre diferentes grupos de exposición. Las temperaturas rectales se tomaron un día antes de la exposición, y 7 días después de la exposición. No se detectó incremento de temperatura en ninguno de los cerdos tras la infección inicial, y no se observaron signos clínicos. Después de la exposición, las temperaturas rectales fueron elevadas en aquellos tres cerdos expuestos del Grupo 3 (infectados inicialmente de forma simulada) a uno y dos días después de la exposición (Fig. 13). También se observaron signos clínicos (tos y descarga nasa) en estos tres cerdos. El resto de los cerdos siguió asintomático. Se obtuvieron muestras de sangre de todos los cerdos una vez por semana. Los cerdos se eutanasiaron a los 21 días

después de la exposición. Se evaluaron lesiones pulmonares gruesas del animal del estudio usando un sistema desarrollado previamente basado en el volumen aproximado con el que cada lóbulo contribuye a todo el pulmón: los lóbulos apicales izquierdo y derecho, los lóbulos cardíacos izquierdo y derecho, y el lóbulo intermedio contribuyen cada uno con 10% del volumen pulmonar total, y los lóbulos caudales izquierdo y derecho contribuyen cada uno con 25%. Estas puntuaciones se usaron entonces para calcular la proporción de la lesión pulmonar total basándose en las contribuciones relativas de cada lóbulo (Halbur et al., 1995). En la necropsia, no se observaron lesiones patológicas gruesas en el Grupo 1, Grupo 2, y en los tres cerdos del control negativo estricto. Por el contrario, se observaron lesiones pulmonares patológicas gruesas leves, características de PRRSV en aquellos tres cerdos del Grupo 3 que se infectaron inicialmente de forma simulada y después se expusieron a SD03-15.

Propiedades virológicas e inmunológicas. Se determinaron las propiedades virológicas e inmunológicas *in vivo* del virus marcador. Los cerdos se expusieron a 42 dpi, mostrado como una línea punteada vertical en las Figs. 14A-14C. La duración y altura de la viremia se determinó mediante PCR en tiempo real, y el resultado se interpretó como número de copias de ARN por ml. A cada día después de la infección, la carga viral media con diferentes letras en mayúsculas (A, B o C) difiere significativamente ($P < 0,05$). En comparación con los cerdos del Grupo 2 infectados con virus progenitores (título vírico medio pico = $5,9 \times 10^7$ copias/ml), los cerdos que se infectaron con el virus marcador de GFP/ Δ ES4 tuvieron una menor carga viral pico (título vírico medio pico = $2,08 \times 10^5$ copias/ml, Fig. 14A). En el día 7 después de la exposición, la carga viral fue dos a tres logaritmos menor para los cerdos vacunados que para aquellos cerdos infectados inicialmente de forma simulada y expuestos después al virus SD03-15. Hacia el día 21 después de la exposición, los cerdos del grupo infectado con el virus marcador de GFP/ Δ ES4 tuvieron una carga viral 10 veces menor en comparación con el grupo progenitor, y 3/5 cerdos habían eliminado el virus en el suero (Fig. 14A; Tabla 6).

Tabla 6. Carga viral en suero medida mediante PCR cuantitativa a los 21 días después de la exposición con una cepa genéticamente diferente, SD03-15

Números de los cerdos	Carga viral en suero (copias/ml)			
	GFP/ Δ ES4	Progenitor	Negativo / expuesto*	Negativo
1	0	2,7E + 02	N/A	0
2	7,4E + 02	0	N/A	0
3	0	1,2E + 04	N/A	0
4	N/A	0	3,6E + 04	N/A
5	0	2,6E + 03	3,3E + 04	N/A
6	1,7E + 02	1,1E + 04	3,6E + 04	N/A
Media	1,8E + 02	4,3E + 03	3,5E + 04	0

* Tres de los cerdos en grupo negativo expuestos con la cepa heteróloga, SD03-15, a 42 dpi.

Hacia 14 dpi, todos los cerdos de grupos infectados se habían seroconvertido. Los anticuerpos del suero específicos de PRRSV se midieron mediante un kit IDEXX HerdChek® PRRSV ELISA 2XR. Las relaciones S/P mayores que 0,4 son consideradas positivas. La respuesta de anticuerpos alcanzó niveles similares después de 21 dpi (Fig. 14B).

La respuesta de anticuerpos neutralizantes víricos se determinó mediante ensayo de neutralización de foco fluorescente (Fig. 14C). Los resultados se interpretaron como una reducción del 90% de la infección vírica, y los títulos de los anticuerpos neutralizantes se presentaron como valor medio ($n = 6$) y se expresaron en una escala logarítmica de base 2. El virus progenitor SD01-08 se usó para el ensayo neutralizante vírico. En cada día después de la infección, las medias con letras en mayúsculas diferentes (A, B o C) difieren significativamente ($P < 0,05$). La medida adicional de los niveles de anticuerpos neutralizantes del suero (SN) mostró que, en cerdos infectados con el virus progenitor, se detectaron anticuerpos SN en uno de los seis cerdos a los 21 días después de la infección, y 3/6 cerdos desarrollaron un título SN detectable que alcanzó un título medio geométrico (GMT) promedio de 2 a los 35 días después de la infección. Por el contrario, las respuestas de anticuerpos neutralizantes se desarrollaron más rápido y en mayor cantidad en cerdos infectados con el virus marcador de GFP/ Δ ES4. Los anticuerpos SN se detectaron en uno de los seis cerdos a los 14 días después de la infección, y los títulos SN se detectaron en todos los cerdos en este grupo, que alcanzaron un GMT promedio de 9,2 a los 35 días después de la infección. Después de la exposición a SD03-15, se observó un mayor efecto, con el GMT de 18,4 del grupo infectado con el virus marcador de GFP/ Δ ES4, en comparación con el GMT de 5,7 del grupo infectado con el virus progenitor a 49 dpi (una semana después de la exposición). Ambos grupos alcanzaron títulos SN similares a 62 dpi (tres semanas después de la exposición) (Fig. 14C). Estos datos sugieren que, en la infección inicial, los cerdos infectados con el virus

marcador de GFP/ Δ ES4 generaron títulos de anticuerpos neutralizantes mayores que los cerdos infectados con el virus progenitor.

Aislamiento de virus y secuenciación. Se usaron muestras séricas de 7, 14, 21 y 28 dpi para el aislamiento del virus como se describe previamente (Wasilk et al., 2004). La presencia del virus se confirmó mediante IFA con anticuerpo específico para PRRSV, SDOW17 (Nelson et al., 1993). Para determinar la estabilidad de la inserción de GFP y de la supresión del epítipo ES4, se extrajo ARN vírico del virus aislado del suero, usando el minikit QIAamp Viral RNA (Qiagen) siguiendo las instrucciones del fabricante. Se llevó a cabo la RT-PCR usando métodos descritos previamente (Fang et al., 2004). El fragmento amplificado mediante RT-PCR se purificó en gel, y la secuencia se determinó en las instalaciones de secuenciación de la Universidad del Estado de Iowa (Ames, IA). Para la RT-PCR y secuenciación se usó el par de cebadores nsp2-2144F/nsp2-2694R (Tabla 5), y se amplificó la región nucleotídica (2144 a 2694 del genoma de SD01-08) que contiene la inserción de GFP y la supresión de ES4. En SEC ID NO. 43 (Tabla 7) se proporciona la secuencia de longitud completa del virus marcador de GFP/ Δ ES4.

Estabilidad *in vivo* del marcador de GFP/ Δ ES4. Para determinar la estabilidad de los marcadores de GFP/ Δ ES4, se usaron muestras séricas de 7 a 28 dpi para el aislamiento del virus en células MARC-145. Los virus se recuperaron de las muestras séricas recogidas a 7, 14 y 21 dpi, y no se aisló virus de las muestras séricas recogidas desde el 28 dpi. En cultivo celular, sólo se observó una pequeña población de células infectadas que muestra una fluorescencia de GFP débil con los virus aislados desde 7 a 14 dpi y no se observó ninguna fluorescencia de GFP en células infectadas con los virus aislados a partir de 21 dpi. Sin embargo, la tinción inmunofluorescente usando el anticuerpo monoclonal específico contra la proteína de la nucleocápside, SDOW 17, confirmó la presencia de una gran población de virus, similar a lo observado en el estudio *in vitro* (Fig. 11). La estabilidad de la inserción de GFP/supresión de Δ ES4 se determinó secuenciando las regiones correspondientes. Los resultados confirmaron la presencia de la supresión de ES4, y la GFP permaneció intacta como un gen de longitud completa. Sin embargo, los resultados de la secuenciación revelaron dos mutaciones de punto que se localizaron en el nucleótido 144 (C a T) y en el nucleótido 289 (C a T) de la GFP. La mutación del nucleótido 144 fue silenciosa, pero la mutación del nucleótido 289 provocó la mutación de aminoácidos de arginina (R) a cisteína (C) en la posición 97 de la GFP, lo que es consistente con nuestro análisis de secuenciación *in vitro* (Fig. 12). De forma interesante, todavía hubo una pequeña población del gen de GFP no mutado detectada en los virus aislados desde 7 y 14 dpi. Para cada dpi, se secuenciaron virus aislados de tres cerdos, y la secuenciación se llevó a cabo usando cebadores tanto directos como inversos, dando como resultado un total de seis secuencias para cada dpi. Para los virus aislados a partir de 7 dpi, se encontró que 1/6 secuencias no tienen mutación en la posición 97, y se determinó que las otras cinco secuencias contienen la mutación R a C. Para los virus aislados a partir de 14 dpi, no se identificaron mutaciones en 2/6 secuencias, y estas dos secuencias procedieron de dos cerdos diferentes. También se identificó que las otras cuatro secuencias contienen la mutación R a C. Todas las secuencias generadas a partir de los virus de 21 dpi contenían la mutación R a C. Este dato fue consistente con un informe previo (Kim et al., 2007) de que la pérdida de fluorescencia de GFP es debida a la mutación R a C. La presencia de una pequeña población de la GFP no mutada daría cuenta de las células débilmente fluorescentes observadas en el cultivo celular. Estos resultados sugieren que la selección puede haber ocurrido gradualmente para generar la mutación a favor de la replicación vírica mejorada.

ELISA a base de GFP y del epítipo de ES4. Se llevaron a cabo ELISAs usando placas de microtitulación de 96 pocillos Immulon II HB (Thermo Labsystems, Franklin, MA). La proteína recombinante se diluyó en tampón de revestimiento (carbonato de sodio 15 mM-bicarbonato de sodio 35 mM, pH 9,6), y las placas se revistieron con 100 μ l del antígeno diluido en las columnas 1, 3, 5, 7, 9 y 11. Las columnas 2, 4, 6, 8, 10 y 12 se trataron con 100 μ l de tampón de revestimiento como control de fondo. Las placas se incubaron a 37°C durante 1 hora, y después los sitios que se unen a proteína en exceso se bloquearon con leche al 10% en tampón de PBST (1x PBS con 0,05% de Tween 20) a 4°C toda la noche. Los sueros de los ensayos se aplicaron a diluciones 1:5 en tampón de PBST con leche al 5%. Después de una incubación de 1 hora a 37°C, las placas se lavaron con PBST y se añadió anti-IgG porcina de cabra conjugado con peroxidasa de rábano picante (Kirkegaard & Perry Laboratories, Gaithersburg, MD), para unirse a cualesquiera anticuerpos séricos de PRRSV que se unen al antígeno en las placas. Las placas se incubaron a 37°C durante otra hora, se lavaron, y se añadió el sustrato de peroxidasa ABTS (Kirkegaard & Perry Laboratories, Gaithersburg, MD) para el desarrollo del color. El desarrollo del color se cuantificó leyendo a 405 nm con un lector de microplacas EL800 (BioTek Instruments Inc., Winooski, VT.) controlado por el software XChek (IDEXX Laboratories).

Se desarrolló un ensayo de diagnóstico diferencial de compañía para diferenciar animales que se vacunaron con la vacuna marcadora de aquellos que se infectaron de forma natural con los virus de campo. Debido a que se usaron dos marcadores, la inserción de GFP (marcador positivo) y supresión de ES4 (marcador negativo), se desarrollaron ensayos ELISA a base tanto de GFP como del epítipo de ES4 para la detección de los marcadores. Tanto GFP como los epítipos de ES4 se expresaron como proteínas recombinantes solubles. Se evaluaron estos dos ensayos de ELISA para detectar los anticuerpos específicos. La Fig. 15A muestra los resultados del ELISA a base del epítipo de ES4, y la Fig. 15B muestra los resultados del ELISA a base del antígeno de GFP. Los cerdos se expusieron a los 42 días después de la infección y se muestran como una línea vertical punteada en la Fig. 15A. Como se esperaba, la infección de los cerdos del Grupo 1 con el virus marcador de GFP/ Δ ES4 no indujo una respuesta de anticuerpos detectable contra el epítipo de ES4 suprimido (Fig. 15A), pero indujo una respuesta de anticuerpo potente contra el antígeno de GFP, partiendo desde 14 dpi y continuando durante el estudio hasta 62 dpi (Fig. 15B). Por el contrario,

los cerdos del Grupo 2 que se infectaron con el virus progenitor, se pudo detectar anticuerpo específico de la proteína recombinante de ES4 a 21 dpi, y también duró hasta 62 dpi (Fig. 15A), mientras que no se detectó ninguna respuesta de anticuerpo específica contra el antígeno de GFP (Fig. 15B). Después de exponerlos a 03-15, los cerdos del Grupo 1 mostraron una respuesta de anticuerpo detectable al epítipo de ES4 una semana después de la exposición, puesto que el virus 03-15 contiene el epítipo de ES4 (Fig. 15A). No se detectó ninguna respuesta de anticuerpo específica en ELISAs basados tanto en GFP como en el epítipo de ES4 para las muestras séricas procedentes de los tres cerdos de control negativo estricto (Figs. 15A y 15B).

Muestras séricas de otros animales infectados con PRRSV de Tipo 1 y Tipo 2. Un requisito básico para el marcador negativo es que la región antigénica debería ser capaz de reaccionar con un amplio abanico de virus de campo. Para asegurarse de que el epítipo de ES4 puede ser reactivo en diversas cepas víricas, se usaron muestras de suero procedentes de cerdos infectados con cada una de cuatro cepas representativas del virus de Tipo 1 norteamericano, SD01-07, SD01-08, SD02-11, y SD03-15 (Lawson et al., Proc. Conf. Res. Work. Anim. Dis., abstr. 99, 2005). Los aislados de SD01-07 y SD01-08 se obtuvieron de piaras que no muestran enfermedad clínica, y SD02-11 y SD03-15 procedieron de piaras con una morbimortalidad sustancial en cerdos jóvenes. Estos cuatro aislados también se agrupan en diferentes ramas del árbol filogenético desarrollado para aislados de PRRSV de Tipo 1 de origen norteamericano (Fang et al., 2007). Las muestras de suero procedentes de cerdos experimentales infectados con el virus de Tipo 2, VR2332, se obtuvieron de la fuente de reactivos compartida del PRRSV Cooperative Agriculture Project (CAP). Como se muestra en Fig. 15C, el epítipo de ES4 reaccionó con antisueros procedentes de todos los cerdos infectados con estas cuatro cepas víricas. Los resultados se presentan como valores medios (n = 6). La respuesta de anticuerpo se detectó a 14 dpi, y duró más de 62 dpi. Sin embargo, el ensayo posterior de muestras de suero procedentes de un grupo de cerdos experimentales infectados con la cepa prototípica de Tipo 2, VR2332, no mostró reactividad con el epítipo de ES4 en el ELISA (datos no mostrados). Por lo tanto, se necesitaría otro ensayo serológico para diferenciar a los animales infectados con los virus de Tipo 1 de aquellos animales infectados con los virus de Tipo 2.

III. Discusión

Se construyeron dos marcadores genéticos en la región nsp2 del virus de PRRS. El marcador positivo (inserción de GFP) permitirá la detección de los animales que han sido vacunados, mientras que el marcador negativo (supresión del epítipo de ES4) permitirá detectar la presencia de virus de tipo salvaje en los animales. En comparación con el MLV preparado mediante técnicas tradicionales de múltiples pasadas de cultivos celulares, las vacunas construidas usando este tipo de supresiones/inserciones atenuantes definidas de forma precisa, y el uso de tecnología genética inversa, reducen el riesgo potencial de inversión a virus de tipo salvaje virulentos.

Las vacunas marcadoras son útiles solamente si existen ensayos adecuados (ensayos de diagnóstico de compañía) para monitorizar los niveles de vacunación y seguir el transcurso espacial de la infección. El ELISA a base del antígeno de GFP detectó un nivel elevado de la respuesta anti-GFP en el grupo de cerdos infectados con el virus marcador. El ELISA basado en el epítipo de ES4 también detectó un nivel elevado de respuesta de anticuerpo en el grupo de cerdos infectados con el virus progenitor, pero pareció desarrollarse de forma más lenta que la de la respuesta anti-GFP. Se puede detectar una respuesta anti-GFP robusta de nivel elevado a 14 dpi en cerdos infectados con el virus marcador, mientras que la respuesta de anticuerpo anti-ES4 se detectó a 21 dpi y alcanzó mayores niveles a 28 dpi en cerdos infectados con el virus de tipo salvaje. El epítipo de ES4 posee los valores hidrófilos más elevados (Hopp y Woods, 1981) entre los seis epítipos de células B identificados en la nsp2 del virus de Tipo 1 (Oleksiewicz et al., 2001). El análisis de las secuencias de aminoácidos de nsp2 actualmente disponibles de PRRSV de Tipo 1 (Meulenberg et al., 1993; Fang et al., 2007) mostró que esta región posee 63,6% a 100% de identidad de secuencias de aminoácidos en el genotipo de Tipo 1. El análisis de las secuencias proteicas mostró que la región del epítipo de ES4, AA736-AA790, contiene realmente siete epítipos pequeños de células B (PepTool, BioTools, Inc., Edmonton, Alberta, Canadá). El epítipo AA745 - AA754 y AA768 - AA780 están bien conservados en el genotipo de Tipo 1. El dato de ELISA de ES4 fue consistente con el análisis de secuencia proteica, demostrando que el epítipo de ES4 puede reaccionar con muestras de sueros procedentes de animales infectados con cuatro cepas de campo representativas de PRRSV de Tipo 1. Sin embargo, el epítipo de ES4 no reacciona con las muestras séricas procedentes de animales infectados con aislados de Tipo 2. En comparación con los epítipos de células B identificados en la región nsp2 (Oleksiewicz et al., 2001; de Lima et al., 2006), ninguno de los epítipos identificados en la región nsp2 se conservó entre los aislados de Tipo 1 y de Tipo 2. Por lo tanto, es necesario otro ensayo de diagnóstico para diferenciar cerdos vacunados con el mutante de la supresión del epítipo de ES4 de aquellos cerdos infectados con cepas de campo de Tipo 2.

El epítipo de ES4 en la región nsp2 parece ser no esencial para la replicación del PRRSV, pero puede desempeñar un papel importante en la atenuación y patogénesis vírica *in vivo*. La inserción de la GFP sola no redujo sustancialmente las propiedades de crecimiento *in vitro* del virus; sin embargo, cuando se suprimió el epítipo de ES4 en dirección de la GFP, el título vírico se redujo al menos dos logaritmos en comparación con el de los virus progenitores. La morfología de placas también demostró efectos negativos de los marcadores en el crecimiento vírico. La caracterización *in vivo* demostró además que el virus marcador de GFP/ Δ ES4 se atenuó con un menor nivel de viremia y un mayor nivel de respuesta de anticuerpos neutralizantes que el del virus de tipo salvaje. El análisis de las secuencias proteicas ha demostrado que la región del epítipo de ES4 contiene el valor hidrófilo más elevado en la nsp2 (Hopp y Woods, 1981).

5 Sorprendentemente, la supresión del epítipo de ES4 mejoró la estabilidad de la inserción de GFP en la nsp2. Otra observación interesante es la pérdida de fluorescencia de GFP *in vitro* e *in vivo*, aunque el gen de GFP permaneció intacto. El análisis de secuencias identificó la mutación Arg-97 a Cys en la GFP. La mutación Arg-97 a Cys es exactamente la misma mutación de aminoácidos identificada en GFP que se insertó en la región nsp2 de un virus de Tipo 2 (Kim et al., 2007). Como se indica por Kim et al (2007), Arg-97 desempeña un papel clave en la formación cromofórica de GFP, lo que sugiere que la formación cromofórica puede afectar a la función de nsp2. Además, puesto que Cys es el aminoácido implicado normalmente en la formación del enlace de disulfuro en la proteína, puede ser necesario el enlace de disulfuro adicional para mantener la conformación correcta de nsp2 a fin de que funcione. No obstante, la GFP retiene su inmunogenicidad *in vivo*, y funciona como un marcador positivo excelente para la diferenciación entre animales vacunados y los infectados con el virus de tipo salvaje.

10

Todas las publicaciones y solicitudes de patentes en esta memoria descriptiva son indicativas del nivel de pericia normal en la técnica a la que pertenece esta invención.

La invención se ha descrito con referencia a diversas realizaciones y técnicas.

ES 2 389 748 T3

Tabla 7. Secuencia de longitud completa del virus marcador de GFP/ΔES4 (SEC ID NO: 43)

atgatgtgta	gggtatcccc	cctacataca	caaacactttt	tgtgtttg	tactttggag	60
gcgtgggtac	agccccgccc	cacccttgg	ccctgttct	agcccaacag	gtatccttct	120
ccctcggggc	gagtgcgcgc	cctgctgctc	ccttgcagtg	ggaaggacct	cccagattt	180
tccggagagc	acctgcttta	cgggatctcc	accctttaac	catgtctggg	acgttctccc	240
ggtgcatgtg	caccccggt	gcccgggtat	tttggaaacgc	cggccaagtc	ttttgcacac	300
ggtgtctcag	tgcgcggcct	cttctctctc	cggaaactca	ggacactgac	ctcgggtgag	360
ttggattggt	ttacaagcct	aaggacaaga	ttcactggaa	agttcctatc	ggcattcctc	420
aggtggagtg	tactccatcc	gggtgctgct	ggctctcagc	cgtattccct	ttggcgcgca	480
tgacttccgg	taatcacaac	ttcctccaac	gacttgtaaa	ggttgctgat	gttttgatc	540
gcatggttg	cttggcgcct	cgacacctcc	gtgaactcca	agtttacgag	cgcggttga	600
gctggtaccc	aattacgggg	ccgtaccgg	gaatgggtt	gttgcgaaac	tccatgcacg	660
tgtctgacca	gctgttccct	ggtgccacc	atgtgtgac	taactcgcct	ctgctcagc	720
ggcgtgccc	gcagccgttc	tgtccatttg	aggaactca	ttctgacgtt	tacaggtgga	780
agaaatttgt	gatttttaag	gactcctctc	ccaacggtcg	atttcgcatg	atgtggacgc	840
cggaaatccga	tgactcagcc	gccctggagg	tgctgcgcgc	caggttagaa	cgtcaggctc	900
agatcctcac	tccggagttt	ccgctcctc	accctatcaa	cctagctgac	tgggagctca	960
ctgagtcccc	tgagaacggt	tttctttctg	gcagctccca	ttcttgccgc	cacatcgtcc	1020
agaaccccaa	cgtgtttgac	ggcaagtgt	ggctcactg	ctttttgggc	caatcggctg	1080
aagtgtgcta	ccacgaggaa	catctagcta	acgcctcgg	ttaccaaac	aagtggggcg	1140
tgcatggtaa	gtacctcaa	cgcaggttc	aagtccggg	catgcgtgct	gtggtcgatc	1200
ctgacggccc	tattcacgtt	gaagcgtgt	cttgctccca	gtcttgggtc	aggcacctga	1260
ctctgaataa	tgatgtcacc	ccaggattcg	ttcgctgac	atccatccgc	atttgttcca	1320
acacagaacc	caccgctttc	cggatctttc	ggtttggagc	acataagtgg	tatggcgtctg	1380
ccggcaaacg	ggctcgtgcc	aaacgtgcca	ccaaaagtgg	gaaggattcg	gccctcgtct	1440
ccaagattgc	cccaccggtc	cccactgtg	gaatcaccac	ctactctcca	ccgacagacg	1500
ggtcttggg	ttggcacgtt	cttgccgcca	tagtgaatcg	gatgataaac	ggtgacttta	1560
cgtccccct	gctcagtac	aacagaccag	aggatgattg	ggcttctgat	tatgatcttg	1620
ctcagggcat	tcaatgttta	caactgcctg	ccaccgtggt	tccgaaatcg	cctgtccta	1680
acgccaaagta	cctcataaag	ctaaacgggg	ttcactggga	agtagagggtg	agatctggaa	1740
tggtcctcgc	ttccctttct	cgtgaatgtg	tagttggcgt	ttgctctgaa	ggctgtgtcg	1800
caccgctta	tccagcggac	gggttctcta	aacgtgcact	cagggccttg	gcgtctgect	1860
acagactacc	ctcagattgt	gttagctctg	gtattgctga	cttcttctgct	gatccacctc	1920
ctcaggaatt	ctggactctc	gacaaaatgt	tgacctcccc	gtcaccggag	cggctccggt	1980
tctccagctt	gtataaatta	ctcttagagg	ttgttccgca	aaaatgtggt	gctacggaag	2040
gggctttcgt	ctatgctgtt	gagaggatgt	taaaggactg	tccgagcccc	gaacaggcca	2100
tggcccttct	ggcaaaaatt	aaagttccat	cctcaaaggc	cccgtctgtg	tccttggacg	2160
agtgttttcc	tgcgggtggt	ccagccgact	tccagccagc	atttcaggaa	aggcccaaaa	2220
gtcccgggtg	tgtgtcgcgc	ctgtgttcc	cggacgcaaa	agggttcgag	ggaacagcct	2280
cggagaagc	tcaagagagt	ggccataagg	ccgtccacgc	tgtaccctt	gccgaaggtc	2340
ccaataatga	acaggtacag	gtggttctg	gtgagcagct	agagctcggc	ggttgtggtt	2400
tggcaatcgg	gagtgtcag	atggtgagca	agggcgagga	gctgttcacc	ggggtggtgc	2460
ccatcctggt	cgagctggac	ggcgacgtaa	acggccacaa	gttcagcgtg	tccggcgagg	2520
gcgagggcga	tgccacctac	ggcaagctga	ccctgaagtt	catctgcacc	accggcaagc	2580
tgcccgtgcc	ctggcccacc	ctcgtgacca	ccctgacctc	cggcgtgcag	tgcttcagcc	2640
gctacccccg	ccacatgaag	cagcacgact	tcttcaagtc	cgccatgcc	gaaggctacg	2700
tccaggagcg	caccatcttc	ttcaaggacg	acggcaactc	caagaccgc	gccgaggtga	2760
agttcgaggg	cgacaccctg	gtgaaccgca	tccagctgaa	gggcatcgac	ttcaaggagg	2820
acggcaacat	cctggggcac	aagctggagt	acaactacaa	cagccacaa	gtctatatca	2880
tggccgacaa	gcagaagaac	ggcatcaagg	tgaactcaa	gatccgccac	aacatcgagg	2940
acggcagcgt	gcagctcgcc	gaccactacc	agcagaacac	ccccatcggc	gacggccccg	3000
tgctgctgcc	cgacaaccac	tacctgagca	cccagtcgc	cctgagcaaa	gaccccaacg	3060
agaagcgcga	tccatgggtc	ctgctggagt	tccgtgaccgc	cgcgggatc	actctcggca	3120
tggacgagct	gtacaagtcc	tctacagggc	ccatactccg	tcatgttgag	cactgcggca	3180
cagagtcagg	cgacagcagt	tgcctttgg	atctgtcttt	tgcgcaaacg	ttggaccagc	3240

ctttagatct	atccttggcc	gcttggccgg	tgaaggecac	cgcgtctgat	cctggctggg	3300
tccgcggtag	gtgcgagcct	gtctttttaa	agcctcggaa	agctttctct	gatggcgatt	3360
cggcccttca	gttcggggag	ctttctgagt	ccagctctgt	catcgagttt	gaccagacaa	3420
aagatactct	ggtggctgac	gccctctgtg	acttgacgac	ttcgaacgag	gccctctctg	3480
cagtcgaccc	ttccgaattt	gtcgaactca	ggcgcccgcg	tcattccgca	caagccttaa	3540
ttgaccgagg	cggtccactt	gctgatgtcc	atgcgaaaaa	aaagaaccgg	gtgtatgaac	3600
agtgcctcca	agcttgtgag	cctggtagtc	gtgcaacccc	agccaccagg	gagtggctcg	3660
acaaaatgtg	ggataggggtg	gacatgaaaa	cttggcgctg	cacttcacag	ttccaggccg	3720
gtcgcattct	tgcgtccctc	aaatttcttc	ctgacatgat	tcaagacacg	ccgcctcctg	3780
tccccaaaga	gaaccgagct	agtgacagtg	ccggtcagac	cgteccctcg	cctacggata	3840
tccagcaaga	ggatgccacc	ccctccgaag	ggttatccca	tgcacgggat	ttttctagtc	3900
gagtgagcac	gagctggagt	tggaaaggec	ttatgctttc	cggcaccctg	ctcgcggggg	3960
ctgctgggtca	gcgcctcatg	acatgggttt	ttgaagtta	ctcccatctc	ccagctttta	4020
tactcacact	ttctctgcag	cggggctcta	tggctccagg	cgattgggtg	tttgagggtg	4080
ttggtttact	tgctctcttg	ctctgtctgt	cttacccaat	actcggatgc	cttcccttac	4140
tgggtgtctt	ctctggttct	tgcggcgtg	ttcgtctggg	tgtttttggt	tcttggatgg	4200
cttttgcctg	atttttatct	tcgactccat	ccaaccagtc	cggttcttct	tgtgaccacg	4260
attcgcggga	atgtcatgct	gagcttttgg	ctcttgagca	gcgccaactt	tgggaacctg	4320
tgcgcggcct	tgtggttggc	ccctcaggtc	tcttatgtgt	catccttggc	aagtactctg	4380
gtgggtcacg	tcatctctgg	catggtatcc	tacgtttatg	catgcttaca	gatttggccc	4440
tttctcttgt	ttatgtggtg	tcccaagggc	gttgtcacia	gtgttgggga	aagtgtataa	4500
ggacagctcc	tgctgaggtg	gctctcaatg	tatttccttt	ctcgcgcgcc	actcgcact	4560
ctctcacatc	cttgtgtgat	cggttccaaa	ctcctaaagg	agttgatccc	gtgcacttgg	4620
caacgggttg	gcgcgggtgt	tggcgtggtg	agagtcccat	ccatcaacca	caccaaagc	4680
ccatagctta	tgccaatttg	gatgaaaaga	aaatatctgc	tcaaacggtg	gttgetgtcc	4740
catacgaccc	cagtcaggct	atcaaatgtc	tgaaggttct	gcaggcggga	ggggctatcg	4800
tggaccagcc	tacgcctgaa	gttgttctgt	tgtctgaaat	ccccttttca	gccccatttt	4860
tcccaaaagt	tccagtcaac	ccagattgca	ggattgtggt	ggattcagat	acttttgtgg	4920
ctgcagtccg	ctgcggttac	tcgacagcac	aactggtcct	aggccggggc	aactttgcca	4980
agttgaatca	gacccccctt	agggactctg	cctccaccaa	aacgactggt	ggggcctctt	5040
atactcttgc	tgtggctcaa	gtgtctgtgt	ggactcttgt	tcatttcatc	ctcggctctt	5100
ggttcacatc	acctcaagtg	tgtggccgag	gaaccgctga	cccatggtgt	tcaaatecct	5160
tttctgatcc	tgcctacggc	cctggagttg	tgtgetctc	tcgactttgt	gtgtctgccc	5220
atggggtcac	cctgccattg	ttctcagctg	tggcacaact	ctccggtaga	gaggtagggg	5280
tttttatttt	agtgettggt	tccttgactg	ccttggccca	tcgctggct	cttaaggcag	5340
acatgtagt	ggtcttttca	gctttttgtg	cttacgcctg	gcccatgagc	tcctggttaa	5400
tctgetcttt	tcctatactc	ttaaagtggg	ttacccttca	cccctcact	atgctttggg	5460
tgcactcatt	cttgggtgtt	tgtatgccag	cagcgggcat	cctctcacta	gggataactg	5520
gccttctctg	ggcagttggc	cgttttacc	aggttgcggg	aattattaca	ccttatgaca	5580
tccaccagta	tacctctggg	ccacgcgggtg	cagcgcctgt	agccacagcc	ccagaaggca	5640
cttatatggc	cgccgtccgg	agagctgctt	taactggacg	aactttgatc	ttcaccccg	5700
ctgcggtcgg	atcccttctt	gaaggtgctt	tcaggactca	taaaccctgc	cttaacaccg	5760
tgaatgttgt	gggttcttcc	cttggttctg	gaggggtttt	taccattgat	ggcagaaaga	5820
cgtctgtcac	tgctgtctcat	gtgttgaacg	gcgacacagc	tagagttacc	ggcgactctt	5880
acaaccgcat	gcacaacttt	aagaccagtg	gcgattatgc	ctgggtcccat	gctgatgact	5940
ggcagggcgt	tgcocctgtg	gtcaagggtg	cgaaggggta	tcgcggtcgt	gcctactggc	6000
aaacatcaac	cgggtgtcgaa	cccggcgtca	ttggggaagg	gttcgccttc	tgtttcacca	6060
actgtggcga	ttcgggggtca	cccgctcatc	cagaatctgg	tgatctcatc	ggaatccata	6120
ccggttcaaa	caaactcggg	tctgggtctg	tgacgacccc	tgaaggggaa	acctgcgcca	6180
tcaaagaaac	caagctctct	gacctttcca	gacattttgc	gggcccagac	gtccctcttg	6240
gggacattaa	attgagtcocg	gccatcgtec	ctgatgtaac	atctattccg	agtgacttgg	6300
catcgtcct	agcttccgctc	cctgtaatgg	aaggcggcct	ctcgaccggt	caacttctgt	6360
gtgtcttttt	ccttctctgg	cgcatgatgg	gccatgcctg	gacaccatt	gttgccgtgg	6420
gcttcttttt	gctgaatgaa	attcttccag	cagttttggt	ccgagccgtg	ttttcctttg	6480
cactctttat	tcttgcattg	gccacccctt	ggtccgcaca	ggtgttaatg	attagactcc	6540

tcacggcatc	cctcaaccgc	aacaagttgt	ctctggcggt	ctacgcactt	gggggtgtcg	6600
tcggtttggc	cgctgaaatc	ggggcttttg	ccggcaggct	gcctgaattg	tctcaagctc	6660
tttcgacata	ctgtttctta	cctagggctcc	ttgccatggc	cagttatggt	cccatcatca	6720
tcattggtgg	actccatgcc	ctcgggtgtga	ttctgtgggt	gttcaaatac	cgggtgcctcc	6780
acaacatgct	ggttggatgat	gggagtttct	caagcgcttt	cttcctacgg	tatthttgcag	6840
agggtaatct	tagaaaaggt	gtttcacagt	cttgtggcat	gagtaacgag	tccctgacgg	6900
ctgctctagc	ttgcaagttg	tcgcaggctg	accttgactt	tttgtccagc	ttaacgaact	6960
tcaagtgett	tgtatctgct	tcaaacatga	aaaatgctgc	cggccagtat	attgaagcag	7020
cgtatgccaa	ggcctgcgcc	caagagttgg	cctccctagt	tcaggttgac	aaaatgaaag	7080
gaattttgtc	taagcttgag	gcctttgctg	aaacagccac	tccgtccctt	gacgcagggtg	7140
acgtggttgt	tctgcttggg	caacatcctc	acggatccat	cctcgatatt	aatgtgggga	7200
ctgaaaggaa	aactgtgtcc	gtgcaagaga	cccggagctt	aggtggttcc	aaattcagtg	7260
tttgcaactg	cggtgtccaac	acaccctggt	acgccttaac	tggcatcca	ctccagacac	7320
caaccctct	ttttgagaat	ggtcgcgctc	accgtggtga	ggaagacgat	cttagagtcg	7380
agaggatgaa	gaaacactgt	gtgtccctcg	gcttccacaa	cattaatggc	aaagtthact	7440
gcaaaatttg	ggacaagtcc	accggtgata	ccttttatac	cgatgattcc	cggtagaccc	7500
aagaccttgc	attccaggac	aggtcagccg	actacagaga	cagggattat	gaggggtgtgc	7560
aaaccgcccc	ccaacagggc	tttgatccaa	agtctgaaac	ccctattggc	actgtggtga	7620
tcggcgggat	cacgtataac	aggtaacctga	tcaaaggtaa	ggaggtcttg	gttccccagc	7680
ctgacaactg	ccttgaagct	gccaaagctgt	cccttgagca	agctctcgct	gggatgggccc	7740
aaacttgoga	ccttacagct	gocgaggtgg	aaaagttgag	gcgcattcatt	agccagctcc	7800
aaggtttgac	cactgaacag	gctttaaact	gttagccgcc	agcggcttga	cccgtctgtgg	7860
ccgcggggcc	ttagttgtaa	ctgaaacagc	ggtaaaaatc	gtaaagtacc	acagcagaac	7920
tttcacccta	ggcctctctg	acctgaaagt	cacctccgag	gctgaggtaa	agaaatcaac	7980
tgagcagggc	caagctgttg	tggcaaacctt	atgttctggt	gtcatcttga	tgagacctca	8040
cccaccgtcc	cttgttgatg	ttcttctgaa	accggactt	gacacaaaac	ccggcattca	8100
accagggcat	ggggccggga	atatgggctg	agacggctct	acttgggatt	ttgaaaccgc	8160
accacaaaag	gcagaacttg	agttgtccaa	acaataaatt	caagcatgtg	aagttaggcg	8220
cggggacgcc	ccgaacctcc	aactccctta	caagctctat	cctgttagag	gggatcctga	8280
gcggcgatgg	ggccgcctta	tcaataccag	gtttggagat	ctatcttaca	aaaccctca	8340
agacaccaag	tccgcaatcc	atgocggctg	ttgcctgcac	cccaacgggg	ccctgtgtc	8400
tgatggtaag	tcaacactag	gtaccacctt	tcaacatggt	ttcgaacttt	atgtccccac	8460
tgtgcccata	agtgtcatgg	agtacctcga	ttcacgcctt	gacacccctt	tcatgtgcac	8520
taaacatggt	acttccaagg	ctgctgcaga	agacctccaa	aaatacgacc	tatctactca	8580
aggatttgct	ctgcccgggg	tcttaagcct	tgtacgcaga	ttcatctttg	gccatattgg	8640
taaggccag	ccattgttcc	tcccgtcaac	ctatcccgtc	aaaaattcta	tggcagggat	8700
caatggccc	aggttcccaa	caaaggacgt	ccagagcata	cctgaaattg	acgaaatgtg	8760
tgcccgcgcc	gtcaaggaga	attggcaaac	tgtgacacct	tgtaccctca	agaaacagta	8820
ctgttccaag	ccccaaaacca	ggaccatcct	gggcaccaac	aactttattg	ccctggctca	8880
ccgatcggcg	ctcagtggtg	tcacccaggc	attcatgaag	aaggcttggg	agtccccgat	8940
tgccttggga	aaaaacaaat	tcaaggagct	gcattgcact	gtcgcgggca	ggtgtcttga	9000
agccgaactg	gectcctgtg	accgcagcac	ccccgccatt	gtgaggtggt	tcgtcgccea	9060
cctcctgtat	gaacttgacg	gatgtgaaga	gtacttgctt	agctatgtgc	ttactgtctg	9120
ccatgacctt	gtggcaacac	aggatggtgc	cttcacaaaa	cgcgggtggc	tgtcgtccgg	9180
ggacccccgtc	accagtgtgt	ctaacaccgt	atattcactg	ataatctatg	cccagcacat	9240
ggtgttgctg	gccttaaaaa	tgggtcatga	aatcggtctc	aagttcctcg	aggaacagct	9300
caaattcgag	gacctcctcg	aaatccagcc	tatgttggtc	tattctgatg	accttgtctt	9360
gtacgctgaa	aggcccactt	ttcctaatta	tcactggtgg	gtcagacacc	ttgacctaat	9420
gctgggttcc	agaacggacc	caaagaagac	agtcataact	gataaacca	gcttccctcg	9480
ctgcagaatt	gaggcggggc	gacagctggt	ccctaatcgc	gaccgcaccc	tggctgctct	9540
cgcatacac	atgaaggcgc	agaacgcctc	agagtattat	gcgtctgctg	ccgcaatcct	9600
gatggattca	tgtgcttgca	ttgatcatga	ccctgagtg	tatgaggacc	tcactctggg	9660
tatgccega	tgcgcccgcc	aggatggtta	tagtttccca	ggcccggcat	tttctatgct	9720
catgtgggaa	aagctgagaa	gtcacaatga	agggaaagaa	tttcgacact	gcggcatctg	9780
cgacgcaaaa	gccgaccatg	catccgcctg	tgggcttgat	ttgtgthtgt	tccactcaca	9840

cttccatcaa	cactgccccg	tcactctgag	ctgtggtcat	catgccgggt	caagggaatg	9900
ttcgcagtg	cagtcacctg	ttggggctgg	cagatctcct	cttgatgccg	tgctaaaaca	9960
aatcctgtac	aaacctcctc	gtacagtcac	catgaagggt	ggtaacaaaa	caacggccct	10020
cgatccgggg	aggtaccagt	cccgtcgagg	tcttgttgca	gtcaagaggg	gtattgcagg	10080
caatgaagtt	gatcttcctg	atggggacta	ccaagtagtg	cctcttttac	caacttgtaa	10140
agacataaac	atggtaaagg	tggttgcaa	tgtactactc	agtaagttca	tagtggggcc	10200
accaggttcc	ggaaagacca	cctggttact	gagtcaagtc	caggacgatg	atgtcattta	10260
cacacccacc	catcagacca	tgtttgatat	agtcagtget	ctcaaagttt	gcaggtattc	10320
tattccagga	gcctcaggac	ttcctttccc	accacctgcc	aggtcggggc	cgtaggttag	10380
gctcgtggcc	agcgggcacg	tccccggccg	aacatcatac	ctcgatgagg	ctggatattg	10440
taatcactctg	gacattctca	gactgcttcc	caaaacaccc	ctcgtgtgtt	tgggtgacct	10500
tcaacaactt	cacctgtctg	gctttgactc	ctactgttat	gtgtttgatc	agatgcctca	10560
aaagcaactg	accactattt	atagatttgg	ccctaacatc	tgcgcagcca	tccagccttg	10620
ttacagggag	aagcttgaat	ctaaggctag	gaacaccagg	gtgggtctta	ccacctggcc	10680
tgtggccttt	ggtcaggtgc	tgacaccata	ccataaagat	cgcatcggct	ctgcgataac	10740
catagactca	tcccaggggg	ccactttcga	cattgtgaca	ttgcatctac	catcacaaa	10800
gtccctaaat	aaatcccag	cacttgtagc	catcactcgg	gcaagacacg	ggttgttcat	10860
ttatgacct	cacaaccagc	tccaggagtt	tttcaacctg	atccctgagc	gcactgattg	10920
caaccttgtg	ttcagccgtg	gggatgatct	ggtagttctt	agtgcggaca	atgcagtcac	10980
aactgtagcg	aaggccctag	ggacaggtcc	atctcgattt	cgagtatcag	acccgaggtg	11040
caagtctctc	ttagctgctt	gttcggccag	tctggagggg	agctgtatgc	cactaccaca	11100
agtggcacat	aacctggggg	tttacttctc	cccagacagt	ccagcatttg	cacctctgcc	11160
aaaggagtta	gcgccacatt	ggccagtggt	tactcaccag	aacaatcggg	cgtggcccga	11220
tgcacttgtc	getagtatgc	gcccatttga	tgcccgcctac	agcaagccaa	tggtcgggtc	11280
agggtatgtg	gtcggggcgt	ccacctttct	tggtagctct	ggtgtagtgt	catactacct	11340
cacgctatac	atcaggggtg	agccccagge	cttgccagag	acactcgttt	caacaggacg	11400
catagccact	gactgccggg	agtatctcga	cgccgctgag	gaagaggcag	caaaagaact	11460
ccccacgca	ttcattggcg	atgtcaaagg	taccacggtc	gggggggtgc	accacatcac	11520
atcaaaatac	ctaccagga	ccctgectaa	ggactctggt	gctgtagttg	gagtaagctc	11580
gcccggcagg	gctgctaaag	ccatgtgcac	tctcactgat	gtgtatctcc	ccgaactccg	11640
gccatacctg	caacctgaga	cggcgtcgaa	atgctggaaa	ctcaaattag	acttcagggg	11700
cgtecgacta	atggctctgga	aaggagccac	cgcctatctc	cagttggaag	gacttacatg	11760
gtcagcgctg	cctgactatg	ccaggtttat	tcagcttccc	aaggacgccg	ttgtgtacat	11820
tgatccgtgt	ataggaccgg	caacagccaa	ccgcaaggtc	gtgcgaacca	cagactggcg	11880
ggccgacctg	gcagtgacac	gctatgatta	cggtgcccag	aacattttga	caacagcctg	11940
gttcgaggac	ctcggggccg	agtggaagat	tttgggggtg	cagcccttca	ggcgggcatt	12000
tggctttgaa	aatactgagg	attgggcaat	ccttgcacgc	cgtatgagtg	acggcaaga	12060
ctacactgac	tacaactggg	attgtgttcg	agaacgcccc	cacgccatct	acgggcgtgc	12120
tegtgaccat	acatatcatt	ttgccccggg	cacggaattg	caggtagagc	tgggtaaac	12180
ccggctgccc	cctggacgag	agccgtaaac	ttggagtgat	gcaatggggg	cactgtggag	12240
taaaatcagc	cagctgttcg	tggatgcctt	cactgagttt	cttgtcagtg	tggttgatat	12300
tgatcatttt	cttgccatac	tgtttggggt	caccgtcgca	ggatggttat	tggctttctt	12360
tctcagagtg	gtttgctccg	cgtttctccg	tctcgcctct	gccattcact	ctcccgaact	12420
atcgaaggtc	ctatgaaagc	ttgttgcccc	actgcagccc	ggatgtccca	caatttgcac	12480
ttaagcacc	attgggtata	ctttggcaca	tgcgagtttc	ccacctgatt	gatgagatgg	12540
tctctcgcgg	catttaccag	accatggaac	attcagggtca	agcggcctgg	aaatatgtgg	12600
tccgtgaggg	cactctcacg	aagctatcaa	agcttgatat	agttactcat	ttccaacatc	12660
tggccgcagt	agaggcggat	tcttgccgct	ttctcagctc	acgactcgtg	atgctaaaaa	12720
atcttgccgt	tggcaatgtg	agcctacagt	acaacaccac	gttggatcgc	gttgaactca	12780
tttccccac	gccaggtagc	aggeccaagt	tgaccgactt	cagacaatgg	ctcatcagtg	12840
tgcattgttc	cattttttcc	tctgtggctt	catctgttac	cttgttcata	gtgctttggc	12900
tgcgaattcc	agctctacgc	tatgtttttg	gtttccattg	gcccacggca	acacatcatt	12960
cgagctgacc	atcaattata	ccatatgcat	gccctgtctt	accagtcaag	cagctcgcca	13020
aaggctcgag	cccggtcgta	acatgtgggt	cagaataggg	catgataggt	gtgaggagcg	13080
tgaccatgat	gagttgttaa	tgtccatccc	gtcccgggtac	gacaacctca	aacttgaggg	13140

atattatgct	tggctggctt	ttttgtcctt	ttcctacgcg	gcccattcc	atccggagct	13200
gttcgggata	gggaatgtgt	cgcgcgctct	cgtggacaag	cgacaccagt	ttatttgtgc	13260
cgagcatggt	ggactcaatt	caaccttatc	taccgagcac	aatatctccg	cattatatgc	13320
ggtatattat	caccaccaa	tagacggggg	taattgggtc	catttggaat	ggctgcggcc	13380
gcttttttcc	tctggttg	tgctcaacat	atcatggttt	ctgaggcgtt	cgctgttaag	13440
ccctgtttct	cgacgcatct	atcagatatt	aagaccaaca	cgaccgcgcc	tgccggtttc	13500
atggtccttc	agaacatcaa	ttgttcccgg	cctcacgagg	cctcagcaac	gcaaggtaa	13560
gttccctcca	gaaagtcgtc	ccaatgccgt	gaagccgctc	gtgttcccca	atacatcacg	13620
ataacggcca	acgtgaccga	cgaaatcatat	ttgtacaacg	cggacttgct	gatgctttct	13680
gcgtgccttt	tctacgcctc	ggaaatgagc	gagaaaggct	ttaaagtatt	ctttgggaat	13740
gtctctggcg	ttgtttctgc	ttgtgtcaat	ttcacagatt	atgtggccca	tgtgacccaa	13800
catacccagc	agcatcatct	ggtgattaat	cacatccggt	tactgcactt	cctgacacca	13860
tctgcaatga	ggtgggtac	aaccattgct	tgtctgttcg	ccattctctt	ggcgatatga	13920
aatgttctca	caaattgggg	cattccttga	ctccgcactc	ttgcttctgg	tggtttttt	13980
tgtctgttac	cggtttgtcc	tggtccttgy	ccgatggcaa	cggcaacaac	tccgacatac	14040
aatacatata	taatttgagc	atatgcgagt	tgaatgggac	caattggctg	atggccatt	14100
ttgaatgggc	agttgagacc	tttgtgcttt	accggttgt	cactcatatc	ctctcactgg	14160
gttttctcac	gacaagtcat	ttttttgacg	cgctcggctc	cggcgctgta	tccactgcag	14220
gatttgtcgg	agggcgggat	gtacttagca	gcgtctacgg	cgcttgtgct	ttcgcagcgt	14280
tcgatgctt	cgctcatcgt	gctgctaaaa	attgcatggc	ctgccgctat	gcccgtacc	14340
ggttcaccaa	cttcattgtg	gacgaccggg	ggggagttca	tagatggaag	tctccaatag	14400
tggtagaaaa	actgggcaaa	gccgaaattg	gcccgaacct	tgtcaccatc	aaacatgtcg	14460
tcctcgaagg	ggttaaagct	caacccttga	cgagaacttc	ggccgagcaa	tgggaggcct	14520
agataatttt	tgcaacgatc	ctaccgccgc	acaaaagatc	gtgctagcct	tcagcatcac	14580
atacacacct	ataatgatat	acgcccttaa	ggtgtcacgc	ggccgactcc	tggggctggt	14640
gcacatccta	atatttctga	actgttcctt	tacattcgga	tacatgacat	atgtgcattt	14700
tcattctacc	caccgtgtcg	cacttaccct	gggggctggt	gtcgcccttt	tgtgggggtg	14760
ctacagcctc	acagagtcat	ggaagtttat	cacttccaga	tgcagattgt	gttgcctcgg	14820
ccggcgatac	attctggccc	ctgcccatac	cgtagaaagt	gctgcaggtc	tccattcaat	14880
ctcagcgtct	ggtaaccgag	catacgtgtg	gagaaagccc	ggactaacat	cagtgaacgg	14940
cactctagta	ccaggacttc	ggagcctcgt	gctggggcgc	aaacgagctg	ttaaacgagg	15000
agtggttaac	ctcgtcaagt	atggccggta	aaaatcagag	ccagaagaaa	aagaaaagta	15060
cggctccaat	ggggaatggc	cagccagtca	atcaactgtg	ccagttgctg	ggtgcaatga	15120
taaagtccca	gcgccagcaa	cctaggggag	gacaggctaa	aaagaaaaag	cctgagaagc	15180
cacattttcc	cctggctgca	gaagatgaca	tccggcacca	cctcacccaa	actgaacgct	15240
ccctctgctt	gcaatcgatc	cagacggctt	tcaatcaagg	cgcaggaact	gcgtcgcttt	15300
catccagcgg	gaaggtcagt	ttccaggttg	agtttatgct	gccggttgct	catacagtgc	15360
gcttgattcg	cgtgacttct	acatccgcca	gtcagggtgc	aaattaattt	gacagtcagg	15420
tgaatggccg	cgattggcgt	gtggcctctg	agtcacctat	tcaattaggg	cgatcacatg	15480
ggggtcatac	ttaatcaggc	aggaacctatg	tgaccgaaat	t		15521

Referencias

1. Allende, R., Lewis, T. L., Lu, Z., Rock, D. L., Kutish, G. F., Ali, A., Doster, A. R. y Osorio, F. A. (1999). North American and European porcine reproductive and respiratory syndrome viruses differ in non-structural protein coding regions. *J Gen Virol* 80, 307-315.
2. Babiuk, L., Lewis, J., Suradhat, S., Baca-Estrada, M., Foldvari, M. y Babiuk, S. (1999). Polynucleotide vaccines: potential for inducing immunity in animals. *J Biotechnol* 73, 131-140.
3. Babiuk, L. A. (1999). Broadening the approaches to developing more effective vaccines. *Vaccine* 17, 1587-1595.
4. Babiuk, L. A., Babiuk, S. L. y Baca-Estrada, M. E. (2002). Novel vaccine strategies. *Adv Virus Res* 58, 29-80.
5. Barrett, T., Parida, S., Mohapatra, M., Walsh, P., Das, S. y Baron, M. D. (2003). Development of new generation rinderpest vaccines. *Dev Biol* 114, 89-97.
6. Bautista, E. M., S. M. Goyal, I. J. Soon, H. S. Joo, y J. E. Collins. 1996. Structural polypeptides of the American (VR-2332) strain of porcine reproductive and respiratory syndrome virus. *Arch. Virol.* 141:1357-1365.

7. Benfield, D. A., E. Nelson, J. E. Collins, L. Harris, S. M. Goyal, D. Robison, W. T. Christianson, R. B. Morrison, D. Gorcyca, y D. Chladek. 1992. Characterization of swine infertility and respiratory syndrome (SIRS) virus (isolate ATCC VR-2332). *J. Vet. Diagn. Invest.* 4:127-133.
- 5 8. Bosch, J. C., Kaashoek, M. J., Kroese, A. H. y Van Oirschot, J. T. (1996). An attenuated bovine herpesvirus 1 marker vaccine induces a better protection than two inactivated marker vaccines. *Vet Microbiol* 52, 223-234.
9. Calvert, J. G., M. G. Sheppard, and S. K. W. Welch. 2003. Infectious cDNA clone of North American porcine reproductive and respiratory syndrome (PRRS) virus and use thereof. US Patent Application 20030157689.
10. Calvert, J. G., M. G. Sheppard, and S. K. W. Welch. 2002. Infectious cDNA clone of North American porcine reproductive and respiratory syndrome (PRRS) virus and use thereof. US Patent 6,500,662.
11. Castillo-Olivares, J., Wieringa, R. T., Bakonyi, A. A. F., de Vries, N. J., Poyner, D. y Rottier, P. J. M. (2003). Generation of a candidate live marker vaccine for equine arteritis virus by deletion of the major virus neutralization domain. *J Virol* 77, 8470-8480.
12. Collins, J. E., D. A. Benfield, W. T. Christianson, L. Harris, J. C. Hennings, D. P. Shaw, S. M. Goyal, D. Gorcyca, D. Chladek, S. McCullough, R. B. Morrison, y H. S. Joo. 1992. Isolation of swine infertility and respiratory syndrome virus (Isolate ATCC VR-2332) in North America and experimental reproduction of the disease in gnotobiotic pigs. *J. Vet. Diagn. Invest.* 4:117-126.
- 15 13. den Boon, J. A., K. S. Faaberg, J. J. M. Meulenber, A. L. M. Wassenaar, P. G. W. Plagemann, A. E. Gorbelenya, y E. J. Snijder. 1995. Processing and evolution of the N-Terminal region of the arterivirus replicase ORF1a protein: identification of two papainlike cysteine proteases. *J. Virol.* 69:4500-4505.
- 20 14. de Lima, M., Pattnaik, A. K., Flores, E. F. y Osorio, F. A. (2006). Mapping of B-cell linear epitopes on Nsp2 and structural proteins of a North American strain of porcine reproductive and respiratory syndrome virus. *Virology* 353, 410-421.
- 25 15. Fang, Y., D.-Y. Kim, S. Ropp, P. Steen, J. Christopher-Hennings, E.A. Nelson, y R. R. R. Rowland. 2004. Heterogeneity in Nsp2 of European-like porcine reproductive and respiratory syndrome viruses isolated in the United States. *Virus Res.* 100:229-235.
16. Fang, Y., Rowland, R. R. R., Roof, M., Lunney, J. K., Christopher-Hennings, J. y Nelson, E. A. (2006). A full-length cDNA infectious clone of North American type 1 porcine reproductive and respiratory syndrome virus: expression of green fluorescent protein in the nsp2 region. *J Virol* 80, 11447-11455.
- 30 17. Fang, Y., Schneider, P., Zhang, W. P., Faaberg, K., Nelson, E. A. y Rowland, R. R. R. (2007). Diversity and evolution of a newly emerged North American Type 1 porcine arterivirus. *Arch Virol* 152, 1009-1017.
18. Ferrin, N. H., Fang, Y., Johnson, C. R., Murtaugh, M. P., Polson, D. D., Torremorell, M., *et al.* (2004). Validation of a Blocking ELISA for the detection of antibodies against porcine reproductive and respiratory syndrome virus. *Clin Diagn Lab Imm* 11, 503-514.
- 35 19. Fitzgerald, D. J., Bronson, E. D. y Anderson, J. N. (1996). Compositional similarities between the human immunodeficiency virus and surface antigens of pathogens. *AIDS Res Hum Retroviruses* 12, 99.
20. Floegel-Niesmann, G. (2003). Marker vaccines and companion diagnostic tests for classical swine fever. *Dev Biol* 114, 185-191.
- 40 21. Frias-Staheli, N., Glannakopoulos, N. V., Kikkert, M., Taylor, S. L., Bridgen, A., Paragas, J., Richt, J. A., Rowland, R. R. R., Schmaljohn, C. S., Lenschow, D. J., Snijder, E. J., Garcia-Sastre, A. y Virgin, H. W. (2007). Ovarian tumor domain-containing viral proteases evade ubiquitin- and ISG15-dependent innate immune responses. *Cell Host Microbe* 2, 404-416.
22. Gao, Z. Q., X. Guo, and H. C. Yang. 2004. Genomic characterization of two Chinese isolates of porcine respiratory and reproductive syndrome virus. *Arch. Virol.* 149:1341-1351.
- 45 23. Garrity, R. R., Rimmelzwaan, G., Minassian, A., Tsai, W. P., Lin, G., de Jong, J., Goudsmit, J. y Nara, P. (1997). Refocusing neutralizing antibody response by targeted dampening of an immunodominant epitope. *J Immunology* 159, 279-289.
24. Hall, B. F. y Joiner, K. A. (1991). Strategies of obligate intracellular parasites for evading host defenses. *Immunol Today* 12, A22.
- 50 25. Hayashi, N., Welschof, M., Zewe, M., Braunagel, M., Dubel, S., Breitling, F. y Little, M. (1994). Simultaneous mutagenesis of antibody CDR regions by overlap extension and PCR. *Biotechniques* 17, 310, 312, 314-315.

26. Halbur, P. G., P. S. Paul, M. L. Frey, J. Landgraf, K. Eemisse, X.-J. Meng, M. A. Lum, J. J. Andrews, y J. A. Rathje. 1995. Comparison of the pathogenicity of two U.S. porcine reproductive and respiratory syndrome virus isolates with that of the Lelystad virus. *Vet. Pathol.* 32:648-660.
- 5 27. Han, J., Liu, G., Wang, Y. y Faaberg, K. S. (2007). Identification of nonessential regions of the nsp2 replicase protein of porcine reproductive and respiratory syndrome virus strain VR-2332 for replication in cell culture. *J Virol* 81, 9878-9890.
28. Ho, S. N., H. D. Hunt, R. M. Horton, J. K. Pullen, y L. R. Pease. 1989. Site-directed mutagenesis by overlap extension using the polymerase chain reaction. *Gene.* 77:51-59.
- 10 29. Hopp, T. P. y Woods, K. R. (1981). Prediction of protein antigenic determinants from amino acid sequences. *Proc Natl Acad Sci* 78, 3824-3828.
30. Jespersen, T., D. Mogens, y F. S. Pedersen. 1997. Efficient non-PCR-mediated overlap extension of PCR fragmentos by exonuclease "end polishing." *Biotechniques* 23:48-52.
31. Johnson, C. R., Yu, W. y Murtaugh, M. (2007). Cross-reactive antibody responses to nsp1 and nsp2 of Porcine reproductive and respiratory syndrome virus. *J Gen Virol* 88,1184-1195.
- 15 32. Keffaber, K. K. 1989. Reproductive failure of unknown etiology. *Am. Assoc. Swine Pract. Newsl.* 1:1-9.
33. Kim, D. Y., Calvert, J. G., Chang, K. O., Horlen, K., Kerrigan, M., Rowland, R. R. R. (2007). Expression and stability of foreign tags inserted into nsp2 of porcine reproductive and respiratory syndrome virus (PRRSV). *Virus Research* 128, 106-114.
- 20 34. King, N. J. y Kesson, A. M. (2003). Interaction of flaviviruses with cells of the vertebrate host and decoy of the immune response. *Immunol Cell Biol* 81, 207-216.
35. Konig, P., Beer, M., Makoschey, B., Teifke, J. P., Polster, U., Giesow, K. y Keil, G. M. (2003). Recombinant virus-expressed bovine cytokines do not improve efficacy of a bovine herpesvirus 1 marker vaccine strain. *Vaccine* 22, 202-212.
- 25 36. Mardassi, H., B. Massive, y S. Dea. 1996. Intracellular synthesis, processing, and transport of proteins encoded by ORFs 5 to 7 of porcine reproductive and respiratory syndrome virus. *Virology* 221:98-112.
37. Marrack, P. y Kappler, J. (1994). Subversion of the immune system by pathogens. *Cell* 76, 323.
38. Mebatsion, T., Koolen, M. J. M., de Vaan, L. T. C., de Haas, N., Braber, M., Romer-Oberdorfer, A., van den Elzen, P. y van der Marel, P. (2002). Newcastle disease virus marker vaccine: an immunodominant epitope on the nucleoprotein gene of NDV can be deleted or replaced by a foreign epitope. *J Virol* 76, 10138-10146.
- 30 39. Meng, X. J., P. S. Paul, I. Morozov, y P. G. Halbur. 1996. A nested set of six or seven subgenomic mRNAs is formed in cells infected with different isolates of porcine reproductive and respiratory syndrome virus. *J. Gen. Virol.* 77:1265-1270.
- 35 40. Meulenbergh, J. J., J. N. Bos-de Ruijter, R. Van de Graaf, G. Wensvoort, and M. Moormann. 1998. Infectious transcripts from cloned genomic-length cDNA of porcine reproductive and respiratory syndrome virus. *J. Virol.* 72: 380-387.
41. Meulenbergh, J. J., y A. Petersen-den Besten. 1996. Identification and characterization of a sixth structural protein of Lelystad virus: the glycoprotein GP2 encoded by ORF2 is incorporated in virus particles. *Virology* 225:44-51.
42. Meulenbergh, J. J. M., A. Petersen-den Besten, E. P. de Kluyver, R. J. M. Moormann, W. M. M. Schaaper, y G. Wensvoort. 1995. Characterization of proteins encoded by ORFs 2 to 7 of Lelystad virus. *Virology* 206:155-163.
- 40 43. Meulenbergh, J. J., M. M. Hulst, E. J. de Meijer, P. L. Moonen, A. den Besten, E. P. de Kluyver, G. Wensvoort, y R. J. Moormann. 1993. Lelystad virus, the causative agent of porcine epidemic abortion and respiratory syndrome (PEARS), is related to LDV and EAV. *Virology* 192:62-72.
44. Moradpour, D., M. J. Evans, R. Gosert, Z. Yuan, H. E. Blum, S. P. Goff, B. D. Lindenbach, y C. M. Rice. 2004. Insertion of green fluorescent protein into nonstructural protein 5A allows direct visualization of functional hepatitis C virus replication complexes. *J. Virol.* 78:7400-7409.
- 45 45. Mounir, S., H. Mardassi, y S. Dea. 1995. Identification and characterization of the porcine reproductive respiratory virus ORFs 7, 5 and 4 products. *Adv. Exp. Med. Biol.* 80:317-320.
46. Nara, P. L., Smit, L., Dunlop, N., Natch, W., Merges, M., Waters, D., Kelliher, J., Gallo, R. C., Fischinger, P. J. y Goudsmit, J. (1990). Emergence of viruses resistant to neutralization by V3-specific antibodies in experimental human immunodeficiency virus type 1 IIB infection of chimpanzees. *J Virol* 64, 3779-3791.
- 50

47. Nelson, E. A., J. Christopher-Hennings, T. Drew, G. Wensvoort, J. Collins, y D. A. Benfield. 1993. Differentiation of U.S. and European isolates of porcine reproductive and respiratory syndrome virus by monoclonal antibodies. *J. Clin. Microbiol.* 31:3184-3189.
- 5 48. Nelson, E. A., J. Christopher-Hennings, y D. A. Benfield. 1995. Structural proteins of porcine reproductive and respiratory syndrome virus (PRRSV). *Adv. Exp. Med. Biol.* 380:321-323.
49. Nelsen, C. J., Murtaugh, M. P. y Faaberg, K. S. (1999). Porcine reproductive and respiratory syndrome virus comparison: divergent evolution on two continents. *J Virol* 73, 270-280.
50. Neumann, E. 2005. Assessment of the economic impact of porcine reproductive and respiratory syndrome on swine production in the United States. *JAVMA*, 227:385-392.
- 10 51. Nielsen, H. S., G.-P. Liu, J. Nielsen, M. B. Oleksiewicz, A. Botner, T. Storgaard, y K.S. Faaberg. 2003. Generation of an infectious clone of VR-2332, a highly virulent North American-type isolate of porcine reproductive and respiratory syndrome virus. *J. Virol.* 77:3702-3711.
52. Oleksiewicz, M.B., A. Botner, P. Toft, P. Normann, y T. Storgaard. 2001. Epitope mapping porcine reproductive and respiratory syndrome virus by phage display: the nsp2 fragmento of the replicase polyprotein contains a cluster of B-cell epitopes. *J. Virol.* 75:3277-3290.
- 15 53. Ropp, S. L., C. E. Mahlum Wees, Y. Fang, E. A. Nelson, K. D. Rossow, M. Bien, B. Arndt, S. Preszler, P. Steen, J. Christopher-Hennings, J. E. Collins, D. A. Benfield, y K. S. Faaberg. 2004. Characterization of emerging European-like PRRSV isolates in the United States. *J. Virol.* 78:3684-3703.
54. Shen, S., J. Kwang, W. Liu, y D. X. Lui. 2000. Determination of the complete nucleotide sequence of a vaccine strain of porcine reproductive and respiratory syndrome virus and identification of the nsp2 gene with a unique insertion. *Arch. Virol.* 145:871-883.
- 20 55. Snijder, E. J., y J. J. Meulenberg. 1998. The molecular biology of arteriviruses. *J. Gen. Virol.* 79:961-979.
56. Snijder, E. J., A. L. M. Wassenaar, y W. J. M. Spaan. 1994. Proteolytic processing of the replicase ORF1a protein of equine arteritis virus. *J. Virol.* 68:5755-5764.
- 25 57. Snijder, E. J., Wassenaar, A. L. M., Spaan, W. J. y Gorbalenya, A. E. (1995). The arterivirus Nsp2 protease. An unusual cysteine protease with primary structure similarities to both papain-like and chymotrypsin-like proteases. *J Biol Chem* 270, 16671-16676.
58. Sun, T., Lu, P. y Wang, X. (2004). Localization of infection-related epitopes on the non-structural protein 3ABC of foot-and-mouth disease virus and the application of tandem epitopes. *J Virol Methods* 119, 79-86.
- 30 59. Tian, K., Yu, X., Zhao, T., Feng, Y., Cao, Z., Wang, C., *et al.* (2007). Emergence of fatal PRRSV variants: unparalleled outbreaks of atypical PRRS in China and molecular dissection of the unique hallmark. *PLoS ONE* 2, 526.
60. Truong H. M., Z. Lu, G. Kutish, J. Galeota, F. A. Osorio, y A. K. Pattnaik. 2004. A highly pathogenic porcine reproductive and respiratory syndrome virus generated from an infectious cDNA clone retains the in vivo markers of virulence and transmissibility characteristics of the parental strain. *Virology.* 325:308-319.
- 35 61. van Dinten, L. C., A. L. Wassenaar, A. E. Gorbalenya, W. J. Spaan, y E. J. Snijder. 1996. Processing of the equine arteritis virus replicase ORF1b protein: identification of cleavage products containing the putative viral polymerase and helicase domains. *J. Virol.* 70:6625-6633.
62. van Gennip, H. G., Bouma, A., van Rijn, P. A., Widjoatmodjo M. N. y Moormann, R. J. (2002). Experimental non-transmissible marker vaccines for classical swine fever (CSF) by trans-complementation of E(rns) or E2 of CSFV. *Vaccine* 20, 1544-1556.
- 40 63. van Oirschot, J. T. (2001). Present a future of veterinary viral vaccinology: a review. *Vet. Quart* 23, 100-108.
64. van Oirschot, J. T., Kaashoek, M. J., Rijsewijk, F. A. y Stegeman, J. A. (1996). The use of marker vaccines in eradication of herpesviruses. *J Biotechnol* 44, 75-81.
- 45 65. Vijayakrishanan, L., Kumar, V., Agrewala, J. N., Mishra, G. C. y Rao, K. V. (1994). Antigen-specific early primary humoral responses modulate immunodominance of B cell epitopes. *J Immunol.* 153, 1613-1625.
66. Walsh, E. P., Baron, M. D., Rennie, L., Anderson, J. y Barrett, T. (2000). Development of a genetically marked recombinant rinderpest vaccine expressing green fluorescent protein. *J Gen Virol* 81, 709-718.
- 50 67. Wasilk, A., J. Callahan, J. Christopher-Hennings, B.T. Gay, Y. Fang, M. Dammen, M. Torremorell, D. Polson, M. Mellencamp, E.A. Nelson y W. Nelson. 2004. Detection of U.S. and Lelystad/European-like porcine reproductive and

respiratory syndrome virus and relative quantitation in boar semen and serum by real-time PCR. *J. Clin. Micro.* 42:4453-4461.

- 5 68. Wassenaar, A. L., W. J. Spaan, A. E. Gorbalenya, y E. J. Snijder. 1997. Alternative proteolytic processing of the arterivirus replicase ORF1a polyprotein: evidence that Nsp2 acts as a cofactor for the Nsp4 serine protease. *J. Virol.* 71:9313-9322.
69. Wensvoort, G., C. Terpstra, J. M. Pol., E. A. ter Laak, M. Bloemrad, E. P. deKluyer, C. Kragten, L. van Buiten, A. den Besten, F. Wagenaar, J. M. Broekhuijsen, P. L. J. M. Moonen, T. Zetstra, E. A. de Boer, H. J. Tibben, M. F. de Jong, P. van't Veld, G. J. R. Groenland, J. A. van Gennep, M. T. H. Voets, J. H. M. Verheijden, y J. Braamskamp. 1991. Mystery swine disease in the Netherlands: the isolation of Lelystad virus. *Vet. Quarterly* 13:121-130.
- 10 70. Widjojoatmodjo, M. N., van Gennip, H. G., Bouma, A., van Rijn, P. A., Moormann, R. J. (2000). Classical swine fever virus E(ms) deletion mutants: trans-complementation and potential use as non transmissible, modified, live-attenuated marker vaccines. *J Virol* 74, 2973-2980.
71. Wu, W. H., Fang, Y., Rowland, R. R. R., Lawson, S. R., Christopher-Hennings, J., Yoon, K. J. y Nelson, E. A. (2005). The 2b protein as a minor structural component of PRRSV. *Virus Res* 114, 177-181.
- 15 72. Wu, W. H., Y. Fang, R. Farwell, M. Steffen-Bien, R. R. Rowland, J. Christopher-Hennings, y E. A. Nelson. 2001. A 10-kDa structural protein of porcine reproductive and respiratory syndrome virus encoded by ORF 2b. *Virology* 287:183-191.
73. Zeman, D., R. Neiger, M. Yaeger, E. Nelson, D. Benfield, P. Leslie-Steen, J. Thomson, D. Miskimins, R. Daly, y M. Minehart. 1993. Laboratory investigation of PRRS virus infection in three swine herds. *J. Vet. Diagn. Invest.* 5:522-528.
- 20 74. Y. Fang, B. Neiger, T. Hawkins, J. Christopher-Hennings, R. Rowland, E. Nelson, *Proc. Conf. Res. Work. Anim. Dis.*, abstr. 78, 2004

LISTADO DE SECUENCIAS

<110> South Dakota State University

- 25 Fang, Ying
Nelson, Eric A.
Hennings, Jane

<120> Virus del síndrome reproductivo y respiratorio porcino de tipo 1 norteamericano recombinante y métodos de uso

- 30 <130> 1210. 1112111
<150> 60/496, 080
<151> 2007-06-25
<160> 43
<170> PatentIn version 3.5
- 35 <210> 1
<211> 20
<212> ADN
<213> artificial; cebador
<400> 1
- 40 gcatggctct taaggcagac 20
<210>2
<211> 20
<212> ADN

ES 2 389 748 T3

<213> artificial; cebador
 <400> 2
 cagctcaag gcagttgtca 20
 <210>3
 5 <211> 20
 <212> ADN
 <213> artificial; cebador
 <400> 3
 tgttgtgatc ggcggtatta 20
 10 <210>4
 <211> 27
 <212> ADN
 <213> artificial; cebador
 <400> 4
 15 cggcgcgggc acacatttcg tcaatt 27
 <210>5
 <211> 20
 <212> ADN
 <213> artificial; cebador
 20 <400> 5
 tacgacctat ccaccaagg 20
 <210>6
 <211> 22
 <212> ADN
 25 <213> artificial; cebador
 <400> 6
 gaatctatgg ttatcgaga gc 22
 <210>7
 <211> 20
 30 <212> ADN
 <213> artificial; cebador
 <400> 7
 cctcgatgag gctggatatt 20
 <210>8
 35 <211> 23
 <212> ADN
 <213> artificial; cebador

<400> 8
 gcaccaacca ggaggaaaaa agc 23
 <210>9
 <211> 20
 5 <212> ADN
 <213> artificial; cebador
 <400> 9
 cattcttgcg tccctcaaat 20
 <210> 10
 10 <211> 23
 <212> ADN
 <213> artificial; cebador
 <400> 10
 cgacagtctt tctgcatca atg 23
 15 <210> 11
 <211> 19
 <212> ADN
 <213> artificial; cebador
 <400> 11
 20 gctgctgttg tcctgtgtt 19
 <210> 12
 <211> 21
 <212> ADN
 <213> artificial; cebador
 25 <400> 12
 ccgtcgaagg gggtgcatc c 21
 <210> 13
 <211> 20
 <212> ADN
 30 <213> artificial; cebador
 <400> 13
 tcattcgagc tgaccatcaa 20
 <210> 14
 <211> 21
 35 <212> ADN
 <213> artificial; cebador
 <400> 14

ctttatcatt gcaccagca a 21
 <210> 15
 <211> 42
 <212> ADN
 5 <213> artificial; cebador
 <400> 15
 ggcggccta atacgactca ctatagatga tgttagggt at 42
 <210> 16
 <211> 25
 10 <212> ADN
 <213> artificial; cebador
 <400> 16
 cgcggcgcc tgagtcgac aaatt 25
 <210> 17
 15 <211> 22
 <212> ADN
 <213> artificial; cebador
 <400> 17
 caacgatcct accgccgcac aa 22
 20 <210> 18
 <211> 79
 <212> ADN
 <213> artificial; cebador
 <400> 18
ggcgatcggg cgtctaggaa ttctagattt tttttttttt tttttttttt tttttttttt 60
ttttttttaa tttggtcac 79
 25 <210> 19
 <211> 23
 <212> ADN
 <213> artificial; cebador
 30 <400> 19
 ggcgatcggg cgtctaggaa ttc 23
 <210> 20
 <211> 22
 <212> ADN
 35 <213> artificial; cebador

<400> 20
 caacgatcct accgccgcac aa 22
 <210> 21
 <211> 22
 5 <212> ADN
 <213> artificial; cebador
 <400> 21
 ggccccagtg ctgcaatgat ac 22
 <210> 22
 10 <211> 31
 <212> ADN
 <213> artificial; cebador
 <400> 22
 agaagaaaa gaaaagtact gctccaatgg g 31
 15 <210> 23
 <211> 30
 <212> ADN
 <213> artificial; cebador
 <400> 23
 20 cccattgga gcagtacttt tcttttctt 30
 <210> 24
 <211> 28
 <212> ADN
 <213> artificial; cebador
 25 <400> 24
 gctcagatgg tgagcaaggg cgaggagc 28
 <210> 25
 <211> 31
 <212> ADN
 30 <213> artificial; cebador
 <400> 25
 gagtctgaag aggacttgta cagctcgtcc a 31
 <210> 26
 <211> 28
 35 <212> ADN
 <213> artificial; cebador
 <400> 26

ES 2 389 748 T3

tgctgacttt cttgctgatc cacctcct 28
<210> 27
<211> 26
<212> ADN
5 <213> artificial; cebador
<400> 27
ccttgctcac catctgagca ctcccg 26
<210> 28
<211> 29
10 <212> ADN
<213> artificial; cebador
<400> 28
gctgtacaag tcctcttcag actccaaga 29
<210> 29
15 <211> 22
<212> ADN
<213> artificial; cebador
<400> 29
gcggaaccag ccaggatcag ac 22
20 <210> 30
<211> 100
<212> PRT
<213> Virus del síndrome reproductivo y respiratorio porcino; 691 a 790 de ORF1a
<400> 30

ES 2 389 748 T3

Gln Glu Ser Gly His Lys Ala Val His Ala Val Pro Leu Ala Glu Gly
1 5 10 15

Pro Asn Asn Glu Gln Val Gln Val Val Ala Gly Glu Gln Leu Glu Leu
20 25 30

Gly Gly Cys Gly Leu Ala Ile Gly Ser Ala Gln Ser Ser Ser Asp Ser
35 40 45

Lys Arg Glu Asn Met His Asn Ser Arg Glu Asp Glu Pro Leu Asp Leu
50 55 60

Ser His Pro Ala Pro Ala Ala Thr Thr Thr Leu Val Gly Glu Gln Thr
65 70 75 80

Pro Asp Asn Pro Gly Ser Asp Ala Ser Ala Leu Pro Ile Ala Val Arg
85 90 95

Gly Phe Val Pro

100

<210> 31

<211> 241

5 <212> PRT

<213> Artificial; inserción de GFP

<400> 31

ES 2 389 748 T3

Met Val Ser Lys Gly Glu Glu Leu Phe Thr Gly Val Val Pro Ile Leu
 1 5 10 15
 Val Glu Leu Asp Gly Asp Val Asn Gly His Lys Phe Ser Val Ser Gly
 20 25 30
 Glu Gly Glu Gly Asp Ala Thr Tyr Gly Lys Leu Thr Leu Lys Phe Ile
 35 40 45
 Cys Thr Thr Gly Lys Leu Pro Val Pro Trp Pro Thr Leu Val Thr Thr
 50 55 60
 Leu Thr Tyr Gly Val Gln Cys Phe Ser Arg Tyr Pro Asp His Met Lys
 65 70 75 80
 Gln His Asp Phe Phe Lys Ser Ala Met Pro Glu Gly Tyr Val Gln Glu
 85 90 95
 Arg Thr Ile Phe Phe Lys Asp Asp Gly Asn Tyr Lys Thr Arg Ala Glu
 100 105 110
 Val Lys Phe Glu Gly Asp Thr Leu Val Asn Arg Ile Glu Leu Lys Gly
 115 120 125
 Ile Asp Phe Lys Glu Asp Gly Asn Ile Leu Gly His Lys Leu Glu Tyr
 130 135 140
 Asn Tyr Asn Ser His Asn Val Tyr Ile Met Ala Asp Lys Gln Lys Met
 145 150 155 160
 Glu Asn Gly Ile Lys Val Asn Phe Lys Ile Arg His Asn Ile Glu Asp
 165 170 175
 Gly Ser Val Gln Leu Ala Asp His Tyr Gln Gln Asn Thr Pro Ile Gly
 180 185 190
 Asp Gly Pro Val Leu Leu Pro Asp Asn His Tyr Leu Ser Thr Gln Ser
 195 200 205
 Ala Leu Ser Lys Asp Pro Asn Glu Lys Arg Asp His Met Val Leu Leu
 210 215 220
 Glu Phe Val Thr Ala Ala Gly Ile Thr Leu Gly Met Asp Glu Leu Tyr
 225 230 235 240
 Lys

<210> 32

<211> 25

<212> ADN
 <213> Artificial; Cebador
 <400> 32
 caagtctct acagggccca tactc 25
 5 <210> 33
 <211> 26
 <212> ADN
 <213> Artificial; Cebador
 <400> 33
 10 ggccctgtag aggacttgta cagctc 26
 <210> 34
 <211> 22
 <212> ADN
 <213> Artificial; Cebador
 15 <400> 34
 cttgctgac cacctctca gg 22
 <210> 35
 <211> 21
 <212> ADN
 20 <213> Artificial; Cebador
 <400> 35
 ccgtcggagg ggtggcatc c 21
 <210> 36
 <211> 21
 25 <212> ADN
 <213> Artificial; Cebador
 <400> 36
 gtctgtgcc ttgacgagt g 21
 <210> 37
 30 <211> 21
 <212> ADN
 <213> Artificial; Cebador
 <400> 37
 ccaagcggcc aaggatagat c 21
 35 <210> 38
 <211> 30
 <212> ADN

ES 2 389 748 T3

<213> Artificial; Cebador
<400> 38
cgggatccat ggtgagcaag ggcgaggagc 30
<210> 39
5 <211> 32
<212> ADN
<213> Artificial; Cebador
<400> 39
cctaagcttc cttgtacagc tcgtccatgc cg 32
10 <210> 40
<211> 26
<212> ADN
<213> Artificial; Cebador
<400> 40
15 gcagatcttc agactccaag agagaa 26
<210> 41
<211> 41
<212> ADN
<213> Artificial; Cebador
20 <400> 41
gcagatctgg tgggtggtgt tcctcagact ccaagagaga a 41
<210> 42
<211> 34
<212> ADN
25 <213> Artificial; Cebador
<400> 42
ccaagcttg cggggatccc gggacaaatc ctcg 34
<210> 43
<211> 15521
30 <212> ADN
<213> Artificial; virus marcador de SD01-08 GFP/ES4
<400> 43

ES 2 389 748 T3

atgatgtgta	gggtatcccc	cctacataca	caacactttt	tgtgtttgtg	tactttggag	60
gcgtgggtac	agccccgccc	caccccttgg	cccctgttct	agcccaacag	gtatccttct	120
ccctcggggc	gagtgcgccg	cctgctgetc	ccttgcagtg	ggaaggacct	cccgagtatt	180
tccggagagc	acctgcttta	cgggatctcc	accctttaac	catgtctggg	acgttctccc	240
ggtgcatgtg	caccccggct	gcccgggtat	tttgaacgc	cggccaagtc	ttttgcacac	300

ggtgtctcag tgcgcggcct cttctctctc cggaacttca ggacactgac ctcggtgtag 360
 ttggattggt ttacaagcct aaggacaaga ttcactggaa agttcctatc ggcattectc 420
 aggtggagtg tactccatcc gggtgctgct ggctctcagc cgtattccct ttggcgcgca 480
 tgacttccgg taatcacaac ttctccaac gacttgtaa ggttgctgat gttttgtatc 540
 gcgatggttg cttggcgcct cgacacctcc gtgaactcca agtttacgag cgcggttgta 600
 gctggtaccc aattacgggg cccgtacccg gaatggggtt gtttgcgaaac tccatgcacg 660
 tgtctgacca gccgttccct ggtgccacc atgtgttgac taactcgctc ctgctcagc 720
 gggcgtgccg gcagccggtc tgtccattg aggaagctca ttctgacggt tacaggtgga 780
 agaaatttgt gatttttacg gactcctctc ccaacggtcg atttcgcatg atgtggacgc 840
 cggaatccga tgactcagcc gccctggagg tgctgccgcc cgagttagaa cgtcaggctc 900
 agatcctcac tcggagtttt cccgctcatc accctatcaa cctagctgac tgggagctca 960
 ctgagtcccc tgagaacggt ttttctttcg gcacgtccca ttcttgccgc cacatcgtcc 1020
 agaaccccaa cgtgtttgac ggcaagtgtt ggctcacctg ctttttgggc caatcggtc 1080
 aagtgtgcta ccacgaggaa catctageta acgccctcgg ttaccaaac aagtggggcg 1140
 tgcattgtaa gtacctcaa cgcaggcttc aagtccgccc catgctgct gtggtcgate 1200
 ctgacggccc tattcacggt gaagcgtgtt ctgctccca gtcttgggtc aggcacctga 1260
 ctctgaataa tgatgtcacc ccaggattcg ttcgctgac atccatccgc attgtgtcca 1320
 acacagaacc caccgctttc cggatctttc ggtttggagc acataagtgg tatggcgtc 1380
 ccggcaaacg ggctcgtgcc aaacgtgcc ccaaaagtgg gaaggattcg gccctcgtc 1440
 ccaagattgc cccaccggtc cccacctgtg gaatcaccac ctactctcca ccgacagacg 1500
 ggtcttgtgg ttggcaggtt cttgccgcca tagtgaatcg gatgataaac ggtgacttta 1560
 cgtccccctt gcctcagtac aacagaccag aggatgattg ggcttctgat tatgatcttg 1620
 ctcaggcgat tcaatgttta caactgctg ccaccgtggt tcggaatcgc gcctgtccta 1680
 acgccaagta cctcataaag ctaaacgggg ttcactggga agtagagggt agatctggaa 1740
 tggctcctcg ttccctttct cgtgaatgtg tagttggcgt ttgctctgaa ggctgtgctg 1800
 caccgcctta tccagcggac gggcttcta aacgtgcact cgaggccttg gcgtctgcct 1860
 acagactacc ctcagattgt gttagctctg gtattgctga ctttcttgct gatccacctc 1920
 ctcaggaatt ctggactctc gacaaaatgt tgacctccc gtcaccggag cggctccggt 1980
 tctccagctt gtataaatta ctcttagagg ttgttccgca aaaatgtggt gctacggaag 2040
 gggctttcgt ctatgctgtt gagaggatgt taaaggactg tccgagcccc gaacaggcca 2100
 tggcccttct ggcaaaaatt aaagtccat cctcaaaggc cccgtctgtg tccttggacg 2160
 agtgttttcc tgcgggtggt ccagccgact tcgagccagc atttcaggaa aggccccaaa 2220

gtcccgggtgc	tgctgtcgcc	ctgtgttcac	cggacgcaaa	agggttcgag	ggaacagcct	2280
cggaagaagc	tcaagagagt	ggccataagg	ccgtccacgc	tgtacccctt	gccgaaggtc	2340
ccaataatga	acaggtacag	gtggttgctg	gtgagcagct	agagctcggc	ggttgtggtt	2400
tggcaatcgg	gagtgtctag	atggtgagca	agggcgagga	gctgttcacc	ggggtgggtc	2460
ccatcctggt	cgagctggac	ggcgacgtaa	acggccacaa	gttcagcgtg	tccggcgagg	2520
gcgagggcga	tgccacctac	ggcaagctga	ccctgaagtt	catctgcacc	accggcaagc	2580
tgcccgtgcc	ctggcccacc	ctcgtgacca	ccctgaccta	cggcgtgcag	tgcttcagcc	2640
gctaccccgga	ccacatgaag	cagcacgact	tcttcaagtc	cgccatgccc	gaaggctacg	2700
tccaggagcg	caccatcttc	ttcaaggacg	acggcaacta	caagacccgc	gccgaggtga	2760
agttcgaggg	cgacaccctg	gtgaaccgca	tcgagctgaa	gggcatcgac	ttcaaggagg	2820
acggcaacat	cctggggcac	aagctggagt	acaactacaa	cagccacaac	gtctatatca	2880
tggccgacaa	gcagaagaac	ggcatcaagg	tgaacttcaa	gatccgccac	aacatcgagg	2940
acggcagcgt	gcagctcgcc	gaccactacc	agcagaacac	ccccatcggc	gacggccccg	3000
tgctgctgcc	cgacaaccac	tacctgagca	cccagtcgc	cctgagcaaa	gacccccaacg	3060
agaagcgcga	tcacatggtc	ctgctggagt	tcgtgaccgc	cgccgggatc	actctcggca	3120
tggacgagct	gtacaagtcc	tctacagggc	ccatactccg	tcatgttgag	cactgcggca	3180
cagagtcagg	cgacagcagt	tcgcctttgg	atctgtcttt	tgcgcaaacg	ttggaccagc	3240
ctttagatct	atccttggcc	gcttggcccg	tgaaggccac	cgcgctctgat	cctggctggg	3300
tccgcggtag	gtgcgagcct	gtctttttaa	agcctcggaa	agctttctct	gatggcgatt	3360
cggcccttca	gttcggggag	ctttctgagt	ccagctctgt	catcgagttt	gaccagacaa	3420
aagatactct	ggtggctgac	gcccctgttg	acttgacgac	ttcgaacgag	gccctctctg	3480
cagtcgacct	ttccgaattt	gtcgaactca	ggcggccgcg	tcattccgca	caagccttaa	3540
ttgaccgagg	cggtccactt	gctgatgtcc	atgcgaaaat	aaagaaccgg	gtgtatgaac	3600
agtgcctcca	agcttgtgag	cctggtagtc	gtgcaacccc	agccaccagg	gagtggctcg	3660
acaaaatgtg	ggataggggtg	gacatgaaaa	cttggcgctg	cacttcacag	ttccaggccg	3720
gtcgcattct	tcgctccctc	aaatttcttc	ctgacatgat	tcaagacacg	ccgcctcctg	3780
tccccaagaa	gaaccgagct	agtgacagtg	ccggtcagac	cgccctccg	cctacggata	3840
tccagcaaga	ggatgccacc	ccctccgacg	ggttatccca	tgcatcggat	ttttctagtc	3900
gagtgagcac	gagctggagt	tggaaaggcc	ttatgctttc	cggcaccctg	ctcgcggggg	3960
ctgctgggtca	gcgccctcatg	acatggggtt	ttgaagttta	ctcccatctc	ccagctttta	4020
tactcacact	tttctcggcg	cggggctcta	tggctccagg	cgattgggtg	tttgcagggtg	4080

ttgttttact	tgctctcttg	ctctgtcgtt	cttacc̄caat	actcgḡatgc	cttccettac	4140
tgggtgtctt	ctctggttct	ttgcggcgtg	ttcgtctggg	tgtttttggg	tcttggatgg	4200
cttttgctgt	atttttattc	tcgactccat	ccaacc̄cagt	cggttcttct	tgtgaccacg	4260
attcgccgga	atgtcatgct	gagcttttgg	ctcttgagca	gcgccaactt	tgggaacctg	4320
tgcgcggcct	tgtggttggc	ccctcaggtc	tcttatgtgt	catccttggc	aagtactcgc	4380
gtgggtcacg	tcactctctg	catgttatcc	tacgtttatg	catgcttaca	gatttgcccc	4440
tttctcttgt	ttatgtggtg	tcccaagggc	gttgtcacia	gtgttgggga	aagtgtataa	4500
ggacagctcc	tgctgaggtg	gctctcaatg	tatttcc̄ttt	ctcgcgcgcc	actcgc̄aact	4560
ctctcacatc	cttgtgtgat	cggttccaaa	ctcctaaagg	agttgatccc	gtgcacttgg	4620
caacgggttg	gcgcgggtgt	tggcgtggtg	agagtcccat	ccatcaacca	caccaaagc	4680
ccatagctta	tgccaatttg	gatgaaaaga	aaatatctgc	tcaaacggtg	gttgctgtcc	4740
catacgacc	cagtcaggct	atcaaagtgc	tgaagḡttct	gcaggcggga	ggggctatcg	4800
tggaccagcc	tacgcctgaa	gttḡttcgtg	tgtctgaaat	ccccttttca	gccccatttt	4860
tcccaaaagt	tccagtc̄aac	ccagattgca	ggattgtgḡt	ggattcagat	acttttgtgg	4920
ctgcagtc̄cg	ctgcgḡttac	tcgacagcac	aactgḡtctt	aggccggggc	aactttgcca	4980
agttgaatca	gacccccctt	agggactctg	cctccaccaa	aacgactgḡt	ggggcctett	5040
atactcttgc	tgtgḡctcaa	gtgtctgtgt	ggactcttgt	tcatttcatc	ctcgḡtcttt	5100
ggttcacatc	acctcaagtg	tgtgḡccgag	gaaccḡctga	cccatgḡtgt	tcaaatccct	5160
tttcgtatcc	tgcc̄tacggc	cctgḡagttg	tgtḡctctc	tcgactttgt	gtgtctḡccg	5220
atgggḡtcac	cctḡccattg	ttctcagctg	tgḡcacaact	ctccgḡtaga	gagḡtaggga	5280
ttttat̄ttt	agt̄gctt̄gtt	tc̄cttḡactg	c̄ctt̄gḡccca	tc̄gc̄ct̄gḡct	ct̄taaḡgcag	5340
acat̄gt̄tagt	gḡtct̄tttca	gct̄tt̄tt̄tḡt	ct̄tac̄gc̄ct̄g	ḡcc̄cat̄gagc	tc̄ct̄gḡt̄taa	5400
tct̄gct̄tctt	tc̄ct̄atactc	tt̄aaaḡtgḡg	tt̄acc̄ct̄tca	cccc̄ct̄cact	at̄gct̄tt̄gḡg	5460
tgc̄act̄catt	ct̄t̄gḡt̄gtt̄t	tgt̄at̄ḡcc̄ag	caḡcc̄gḡcat	cct̄ct̄cacta	gḡḡataact̄g	5520
gc̄ct̄tct̄ctg	gḡcaḡtt̄gḡc	cḡct̄tt̄acc̄c	agḡtt̄ḡcc̄gḡ	aatt̄att̄aca	cct̄tat̄gaca	5580
tcc̄acc̄aḡta	tac̄ct̄ct̄gḡg	cc̄ac̄gc̄gḡtg	caḡcc̄ḡct̄gt	aḡcc̄ac̄aḡcc	cc̄agaaḡgca	5640
ct̄tat̄at̄gḡc	cḡcc̄ḡt̄cc̄gḡ	aḡaḡct̄ḡctt	taact̄gḡac̄g	aact̄tt̄gatc	tt̄cacc̄cc̄ḡt	5700
ct̄gc̄gḡt̄c̄gḡ	atcc̄ct̄tct̄t	gaaḡgt̄ḡctt	tc̄agḡact̄ca	taaacc̄ct̄gc	ct̄taac̄acc̄g	5760
tgaat̄gt̄t̄gt	gḡgt̄tct̄tcc	ct̄t̄gḡt̄t̄ct̄g	gaḡgḡgt̄tt̄t	tacc̄att̄gat	gḡcaḡaaaga	5820
cc̄gt̄c̄gt̄cac	tḡct̄ḡct̄cat	gt̄gt̄t̄gaac̄g	gc̄gac̄ac̄agc	taḡaḡtt̄acc	gḡcḡact̄ctt	5880
acaacc̄gc̄at	gc̄ac̄act̄tt̄t	aaḡacc̄aḡtg	gc̄gatt̄at̄gc	ct̄gḡt̄cc̄cat	gct̄gat̄gact	5940
gḡcaḡgḡc̄gt	tḡcc̄c̄ct̄ḡtg	gt̄caaḡgt̄tg	cgaaḡgḡḡta	tc̄gc̄gḡt̄c̄gt	gc̄ct̄act̄gḡc	6000

aaacatcaac	cggtgtcgaa	cccggcgta	ttggggaagg	gttcgccttc	tgtttcacca	6060
actgtggcga	ttcgggggtca	cccgtcatct	cagaatctgg	tgatctcatc	ggaatccata	6120
ccggttcaaa	caaaactcgg	tctgggtctt	tgacgacccc	tgaaggggaa	acctgcgcca	6180
tcaaagaaac	caagctctct	gacctttcca	gacattttgc	gggcccgagc	gtccctcttg	6240
gggacattaa	attgagtcgg	gccatcgtcc	ctgatgtaac	atctattccg	agtgacttgg	6300
catcgctcct	agcttccgtc	cctgtaatgg	aaggcggcct	ctcgaccggt	caacttctgt	6360
gtgtcttttt	ccttctctgg	cgcatgatgg	gccatgcctg	gacaccatt	gttgccgtgg	6420
gcttcttttt	gctgaaatga	attcttccag	cagttttggg	ccgagccgtg	tttctcttg	6480
cactctttat	tcttgcattg	gccacccctt	ggtccgcaca	ggtgttaatg	attagactcc	6540
tcacggcatc	cctcaaccgc	aacaagttgt	ctctggcggt	ctacgcactt	gggggtgtcg	6600
tcggtttggc	cgctgaaatc	ggggcttttg	ccggcaggct	gcctgaattg	tctcaagctc	6660
tttcgacata	ctgtttctta	cctaggggtc	ttgccatggc	cagttatggt	cccatcatca	6720
tcattggtgg	actccatgcc	ctcgggtgta	ttctgtgggt	gttcaaatac	cggtgcctcc	6780
acaacatgct	ggttggtgat	gggagtttct	caagcgtttt	cttctacgg	tattttgcag	6840
agggtaatct	tagaaaaggt	gtttcacagt	cttgtggcat	gagtaacgag	tccctgacgg	6900
ctgctctagc	ttgcaagttg	tcgcaggctg	accttgactt	tttgtccagc	ttaacgaact	6960
tcaagtgctt	tgtatctgct	tcaaacatga	aaaatgctgc	cggccagtat	attgaagcag	7020
cgtatgccaa	ggccctgcgc	caagagttgg	cctccctagt	tcaggttgac	aaaatgaaag	7080
gaattttgtc	taagcttgag	gcctttgctg	aaacagccac	tccgtccctt	gacgcaggtg	7140
acgtggttgt	tctgcttggg	caacatcttc	acggatccat	cctcgatatt	aatgtgggga	7200
ctgaaaggaa	aactgtgtcc	gtgcaagaga	cccggagctt	agggtggtcc	aaattcagtg	7260
tttgcactgt	cgtgtccaac	acaccctggg	acgccttaac	tggcatccca	ctccagacac	7320
caacccctct	ttttgagaat	ggtccgcgtc	accgtggtga	ggaagacgat	cttagagtcg	7380
agaggatgaa	gaaacactgt	gtgtccctcg	gcttccacaa	cattaatggc	aaagtttact	7440
gcaaaaatttg	ggacaagtcc	accggtgata	ccttttatac	cgatgattcc	cggtacaccc	7500
aagaccttgc	attccaggac	aggctagccg	actacagaga	cagggattat	gaggggtgtc	7560
aaaccgcccc	ccaacagggc	tttgatccaa	agtctgaaac	ccctattggc	actgtggtga	7620
tcggcggtat	cacgtataac	aggtacctga	tcaaaggtaa	ggaggtcttg	gttcccaagc	7680
ctgacaactg	ccttgaagct	gccaagctgt	cccttgagca	agctctcgtc	gggatgggccc	7740
aaacttgcga	ccttacagct	gccgaggtgg	aaaagttgag	gcgcatcatt	agccagctcc	7800
aaggtttgac	cactgaacag	gctttaaact	gtagccgcc	agcggcttga	cccgtgtgg	7860

ES 2 389 748 T3

ccgcggcggc ttagttgtaa ctgaaacagc ggtaaaaatc gtaaagtacc acagcagaac 7920
 tttcaccccta ggccctctgg acctgaaagt cacctccgag gctgaggtaa agaaatcaac 7980
 tgagcagggc cacgctgttg tggcaaactt atgttctggt gtcattctga tgagacctca 8040
 cccaccgtcc cttgttgatg ttcttctgaa acccggactt gacacaaaac ccggcattca 8100
 accagggcat ggggcccggga atatgggcgt agacggctct acttgggatt ttgaaaccgc 8160
 acccaciaaag gcagaacttg agttgtccaa acaataat caagcatgtg aagttaggcg 8220
 cggggacgcc ccgaacctcc aactccctta caagctctat cctgttagag gggatcctga 8280
 gcggcatggg ggccgcctta tcaataccag gtttgagat ctatcttaca aaaccctca 8340
 agacaccaag tccgcaatcc atgcggcttg ttgcctgcac cccaacgggg cccctgtgtc 8400
 tgatggtaag tcaacactag gtaccacct tcaacatggt ttcgaacttt atgtccccac 8460
 tgtgccctat agtgtcatgg agtacctcga ttcacgccct gacacccctt tcatgtgcac 8520
 taaacatggt acttccaagg ctgctgcaga agacctcaa aaatacgacc tatctactca 8580
 aggatttgtc ctgcccgggg tcttacgcct tgtacgcaga ttcattcttg gccatattgg 8640
 taaggcaccg ccattgttcc tcccgtcaac ctatcccgt aaaaattcta tggcagggat 8700
 caatggccag aggttcccaa caaaggacgt ccagagcata cctgaaattg acgaaatgtg 8760
 tgcccgcgcc gtcaaggaga attggcaaac tgtgacacct tgtaccctca agaaacagta 8820
 ctgttccaag cccaaaacca ggaccatcct gggcaccaac aactttattg ccctggctca 8880
 ccgatcggcg ctcatgtgtg tcaccaggc attcataag aaggcttggg agtccccgat 8940
 tgccttggga aaaaacaaat tcaaggagct gcattgcact gtcgccggca ggtgtcttga 9000
 agccgacttg gcctcctgtg accgcagcac ccccgccatt gtgaggtggt tcgtcgccaa 9060
 cctcctgtat gaacttgcag gatgtgaaga gtacttgcct agctatgtgc ttaactgctg 9120
 ccatgacctt gtggcaacac aggatggtgc cttcacaaaa cgcggtggcc tgcgtccgg 9180
 ggaccccgtc accagtgtgt ctaacaccgt atattcactg ataactatg cccagcacat 9240
 ggtgttgtcg gccttaaaaa tgggtcatga aatcggctct aagttcctcg aggaacagct 9300
 caaattcgag gacctctcg aaatccagcc tatgttggtc tattctgatg accttgtctt 9360
 gtacgctgaa aggcccaact ttcttaatta tcaactggtg gtcgagcacc ttgacctaat 9420
 gctgggtttc agaacggacc caaagaagac agtcataact gataaacca gcttctcgg 9480
 ctgcagaatt gaggcggggc gacagctggt ccctaactgc gaccgcatcc tggctgctct 9540
 cgcatacac atgaaggcgc agaacgcctc agagtattat gcgtctgctg ccgcaatcct 9600
 gatggattca tgtgcttga ttgatcatga ccctgagtgg tatgaggacc tcactctcgg 9660
 tatcggccga tgcgcccgc aggatggtta tagtttccca ggcccggcat tttctatgtc 9720
 catgtgggaa aagctgagaa gtcacaatga agggaagaaa tttcgacct gcggcatctg 9780

cgacgcctaaa	gccgaccatg	catccgcctg	tgggcttgat	ttgtgtttgt	tccactcaca	9840
ctttcatcaa	cactgccccg	tcactctgag	ctgtgggtcat	catgccgggt	caagggaaatg	9900
ttcgcagtgt	cagtcacctg	ttggggctgg	cagatctcct	cttgatgccg	tgctaaaaca	9960
aatcctgtac	aaacctcctc	gtacagtcac	catgaagggt	ggtaacaaaa	caacggccct	10020
cgatccgggg	aggtaccagt	cccgtcgagg	tcttgttgca	gtcaagaggg	gtattgcagg	10080
caatgaagtt	gatcttcctg	atggggacta	ccaagtagtg	cctcttttac	caacttgtaa	10140
agacataaac	atggtaaagg	tggcttgcaa	tgtactactc	agtaagttca	tagtggggcc	10200
accaggttcc	ggaaagacca	cctggttact	gagtcaagtc	caggacgatg	atgtcattta	10260
cacaccacc	catcagacca	tgtttgatat	agtcagtgct	ctcaaagttt	gcaggtattc	10320
tattccagga	gcctcaggac	ttcctttccc	accacctgcc	aggtccgggc	cgtgggtag	10380
gctcgtggcc	agcgggcacg	tccccggccg	aacatcatac	ctcgatgagg	ctggatattg	10440
taatcatctg	gacattctca	gactgctttc	caaaacacc	ctcgtgtgtt	tgggtgacct	10500
tcaacaactt	cacctgtcgc	gctttgactc	ctactgttat	gtgtttgatc	agatgcctca	10560
aaagcaactg	accactatct	atagatttgg	ccctaacatc	tgcgcagcca	tccagccttg	10620
ttacagggag	aagcttgaat	ctaaggctag	gaacaccagg	gtggctctta	ccacctggcc	10680
tgtggccttt	ggtcaggtgc	tgacaccata	ccataaagat	cgcatcggct	ctgcgataac	10740
caragactca	tcccaggggg	ccactttcga	cattgtgaca	ttgcatctac	catcaccaaa	10800
gtccctaaat	aaatcccag	cacttgtagc	catcactcgg	gcaagacacg	ggttgttcat	10860
ttatgacctt	cacaaccagc	tccaggagtt	ttcaacctg	atccctgagc	gcactgattg	10920
caaccttggt	ttcagccgtg	gggatgatct	ggtagttctt	agtgcggaca	atgcagtcac	10980
aactgtagcg	aaggccctag	ggacagggtc	atctcgattt	cgagtatcag	acccgaggtg	11040
caagtctctc	ttagctgctt	gttcggccag	tctggagggg	agctgtatgc	cactaccaca	11100
agtggcacat	aacctggggg	tttacttctc	cccagacagt	ccagcatttg	cacctctgcc	11160
aaaggagtta	gcgccacatt	ggccagtggt	tactcaccag	aacaatcggg	cgtggcccga	11220
tcgacttgtc	gctagtatgc	gcccattga	tgcccgtac	agcaagccaa	tggtcgggtgc	11280
agggtatgtg	gtcgggcccgt	ccacctttct	tggtactcct	ggtgtagtgt	catactacct	11340
cacgtatac	atcaggggtg	agccccaggc	cttgccagag	acactcgttt	caacaggacg	11400
catagccact	gactgccggg	agtatctcga	cgcggctgag	gaagaggcag	caaaagaact	11460
ccccacgca	ttcattggcg	atgtcaaagg	taccacggtc	gggggggtgtc	accacatcac	11520
atcaaaatac	ctaccagga	ccctgcctaa	ggactctggt	gctgtagtgt	gagtaagctc	11580
gcccggcagg	gctgctaaag	ccatgtgcac	tctcactgat	gtgtatctcc	ccgaactccg	11640

gccatacctg	caacctgaga	cggcgtcga	atgctggaaa	ctcaaattag	acttcagggg	11700
cgtdccgacta	atgggtctgga	aaggagccac	cgctatttc	cagttggaag	gacttacatg	11760
gtcagcgctg	cctgactatg	ccaggtttat	tcagcttccc	aaggacgccg	ttgtgtacat	11820
tgatccgtgt	ataggaccgg	caacagccaa	ccgcaaggtc	gtgcaacca	cagactggcg	11880
ggccgacctg	gcagtgacac	cgtatgatta	cggtgccag	aacattttga	caacagcctg	11940
gttcgaggac	ctcgggccgc	agtggaagat	ttgggggtg	cagcccttca	ggcgggcatt	12000
tggctttgaa	aatactgagg	attgggcaat	ccttgcacgc	cgtatgagtg	acggcaaaga	12060
ctacactgac	tacaactggg	attgtgttcg	agaacgccc	cacgccatct	acgggcgtgc	12120
tcgtgacat	acatatcatt	ttgccccgg	cacggaattg	caggtagagc	tgggtaaacc	12180
ccggctgccg	cctggacgag	agccgtaa	ttggagtgat	gcaatgggg	cactgtggag	12240
taaaatcagc	cagctgttcg	tggatgcctt	cactgagttt	cttgtcagtg	tggttgat	12300
tgatcatttc	cttgccatac	tgtttgggtt	caccgtcga	ggatggttat	tggcttttct	12360
tctcagagtg	gtttgctccg	cgcttctccg	ttcgcgtct	gccattcact	ctcccgaact	12420
atcgaaggtc	ctatgaaagc	ttgttgccc	actgcaggcc	ggatgtccc	caatttgc	12480
ttaagcacc	attgggtata	ctttggcaca	tgcgagtttc	ccacctgatt	gatgagatgg	12540
tctctcggc	catttaccag	accatgga	attcaggtca	agcggcctgg	aaatatgtgg	12600
tcggtgaggc	cactctcag	aagctatcaa	agcttgatat	agttactcat	ttccaacatc	12660
tggccgcagt	agaggcggat	tcttgccgct	ttctcagctc	acgactcgtg	atgctaaaa	12720
atcttgccgt	tggcaatgtg	agcctacagt	acaacaccac	gttggatcgc	gttgaactca	12780
ttttcccac	gccaggtagc	aggcccagt	tgaccgactt	cagacaatgg	ctcatcagtg	12840
tgcatgcttc	cattttttcc	tctgtggctt	catctgttac	cttgttcata	gtgctttggc	12900
tgcaattcc	agctctacgc	tatgtttttg	gtttccattg	gcccacggca	acacatcatt	12960
cgagctgacc	atcaattata	ccatatgcat	gccctgtctt	accagtcaag	cagctcgcca	13020
aaggctcgag	cccggtcgta	acatgtggtg	cagaataggg	catgataggt	gtgaggagcg	13080
tgaccatgat	gagttgttaa	tgtccatccc	gtccgggtac	gacaacctca	aacttgaggg	13140
atattatgct	tggctggctt	ttttgtcctt	ttcctacgcg	gcccatttcc	atccggagct	13200
gttcgggata	gggaatgtgt	cgcgctctt	cgtggacaag	cgacaccagt	ttatttgtgc	13260
cgagcatggt	ggactcaatt	caaccttatac	taccgagcac	aatatctccg	cattatatgc	13320
ggtatattat	caccaccaa	tagacggggg	taattggttc	catttggaat	ggctgcggcc	13380
gcttttttcc	tcttggttgg	tgctcaacat	atcatggttt	ctgaggcggt	cgctgtaag	13440
ccctgtttct	cgacgcattc	atcagatatt	aagaccaaca	cgaccgcggc	tgccggtttc	13500
atggtccttc	agaacatcaa	ttgttccccg	cctcacgagg	cctcagcaac	gcaagggtcaa	13560

gttccctcca	gaaagtcgtc	ccaatgccgt	gaagccgtcg	gtgttcccca	atacatcacg	13620
ataacggcca	acgtgaccga	cgaatcatat	ttgtacaacg	cggacttgct	gatgctttct	13680
gcgtgccttt	tctacgcctc	ggaaatgagc	gagaaaggct	ttaaagttat	ctttgggaat	13740
gtctctggcg	ttgtttctgc	ttgtgtcaat	ttcacagatt	atgtggccca	tgtgacccaa	13800
catacccagc	agcatcatct	ggtgattaat	cacatccggt	tactgcactt	cctgacacca	13860
tctgcaatga	ggtgggctac	aaccattgct	tgtctgttcg	ccatttctct	ggcgatatga	13920
aatgtttctca	caaattgggg	cattccttga	ctccgcactc	ttgcttctgg	tggctttttt	13980
tgctgtgtac	cggtttgtcc	tggtcctttg	ccgatggcaa	cggcaacaac	tcgacatacc	14040
aatacatata	taatttgacg	atatgcgagt	tgaatgggac	caattggctg	tccggccatt	14100
ttgaatgggc	agttgagacc	tttgtgcttt	acccggttgt	cactcatatc	ctctcactgg	14160
gttttctcac	gacaagtcac	ttttttgacg	cgctcggctc	cggcgctgta	tccactgcag	14220
gatttgtcgg	agggcggtat	gtacttagca	gcgtctacgg	cgcttgtgct	ttcgcagcgt	14280
tcgtatgctt	cgcatccgt	gctgctaaaa	attgcatggc	ctgccgctat	gcccgtacc	14340
ggttcaccaa	cttcattgtg	gacgaccggg	ggggagttca	tagatggaag	tctccaatag	14400
tggtagaaaa	actgggcaaa	gccgaaattg	gcggcaacct	tgtcaccatc	aaacatgtcg	14460
tcctcgaagg	ggttaaagct	caacccttga	cgagaacttc	ggccgagcaa	tgggaggcct	14520
agataatttt	tgcaacgac	ctaccgccgc	acaaaagatc	gtgctagcct	tcagcatcac	14580
atacacacct	ataatgatat	acgcccttaa	ggtgtcacgc	ggccgactcc	tggggctggt	14640
gcacatccta	atatttctga	actgttcctt	tacattcggg	tacatgacat	atgtgcattt	14700
tcattctacc	caccgtgtcg	cacttaccct	gggggctggt	gtcggccttt	tgtgggggtg	14760
ctacagcctc	acagagtcac	ggaagtttat	cacttccaga	tgcagattgt	gttgccctcg	14820
ccggcgatac	attctggccc	ctgccatca	cgtagaaagt	gctgcaggtc	tccattcaat	14880
ctcagcgtct	ggtaaccgag	catacgtgtg	gagaaagccc	ggactaacat	cagtgaacgg	14940
cactctagta	ccaggacttc	ggagcctcgt	gctgggcggc	aaacgagctg	ttaaacgagg	15000
agtggttaac	ctcgtcaagt	atggccggta	aaaatcagag	ccagaagaaa	aagaaaagta	15060
cggctccaat	ggggaatggc	cagccagtca	atcaactgtg	ccagttgctg	ggtgcaatga	15120
taaagtccca	gcgccagcaa	cctaggggag	gacaggctaa	aaagaaaaag	cctgagaagc	15180
cacattttcc	cctggctgca	gaagatgaca	tccggcacca	cctcacccaa	actgaacgct	15240
ccctctgctt	gcaatcgatc	cagacggctt	tcaatcaagg	cgcaggaact	gcgtcgcttt	15300
catccagcgg	gaaggtcagt	ttccaggttg	agtttatgct	gccggttgct	catacagtg	15360
gcctgattcg	cgtgacttct	acatccgcca	gtcaggggtg	aaattaattt	gacagtcagg	15420
tgaatggccg	cgattggcgt	gtggcctctg	agtcacctat	tcaattaggg	cgatcacatg	15480
ggggtcatac	ttaatcaggc	aggaaccatg	tgaccgaaat	t		15521

REIVINDICACIONES

1. Una vacuna frente al virus del síndrome reproductivo y respiratorio porcino de Tipo 1 norteamericano (US1PRRSV), que comprende una secuencia de ácido nucleico recombinante de SEC ID NO: 43.
- 5 2. Un método para diferenciar un animal infectado de forma natural con un virus del síndrome reproductivo y respiratorio porcino de Tipo 1 norteamericano (US1 PRRSV) de un animal vacunado con una vacuna marcadora de US 1 PRRSV, en el que dicha vacuna marcadora comprende un US1 PRRSV recombinante en el que se ha insertado un antígeno extraño (marcador positivo) y en el que se ha suprimido un epítipo inmunógeno (marcador negativo), comprendiendo el método de diferenciación:
 - 10 incubar una muestra de suero procedente de un animal con una primera proteína de PRRSV recombinante que contiene el marcador positivo, y con una segunda proteína de PRRSV recombinante que carece del epítipo inmunógeno (marcador negativo), y
 - detectar la unión de anticuerpos en la muestra con las proteínas de PRRSV primera y segunda, en el que la unión de anticuerpos a la proteína marcadora positiva es indicativa de un animal vacunado, mientras que la unión de anticuerpos a la proteína marcadora negativa es indicativa de un animal infectado de forma natural.
- 15 3. Un método de la reivindicación 2, en el que la vacuna marcadora es la vacuna de la reivindicación 1.

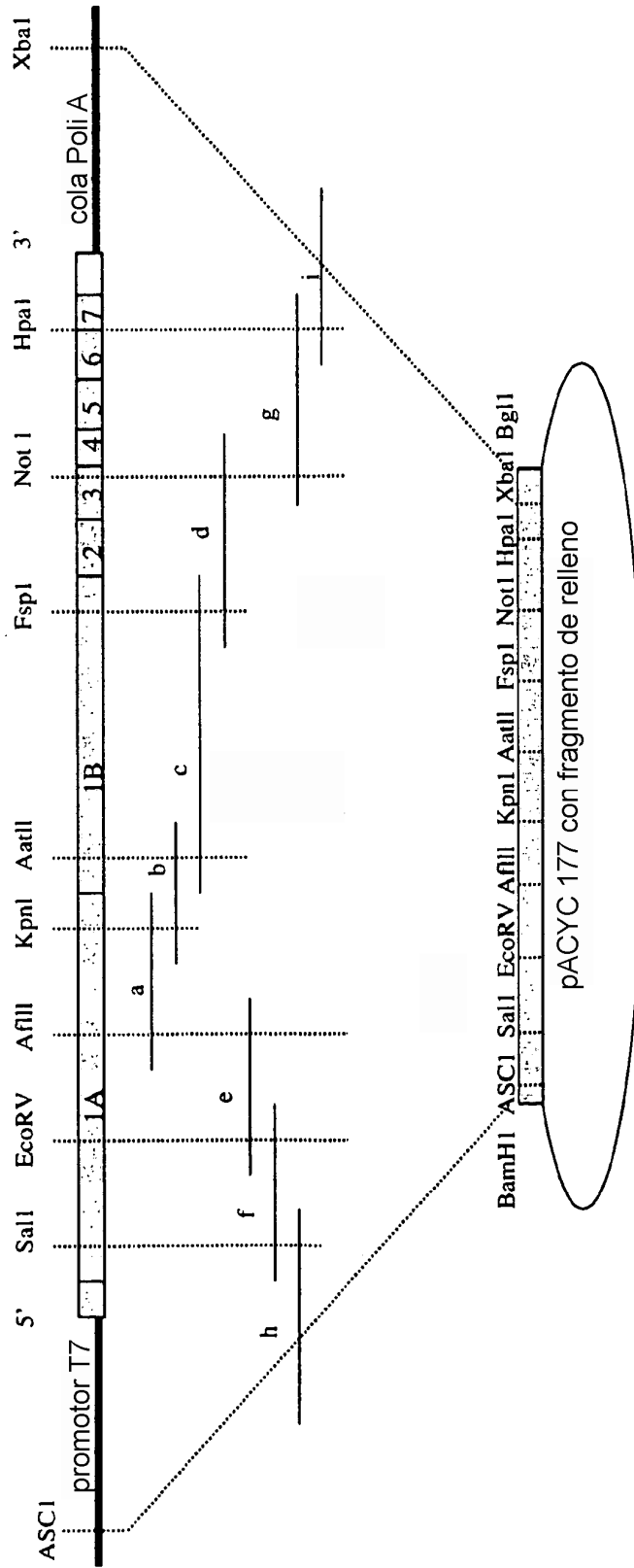


FIG. 1

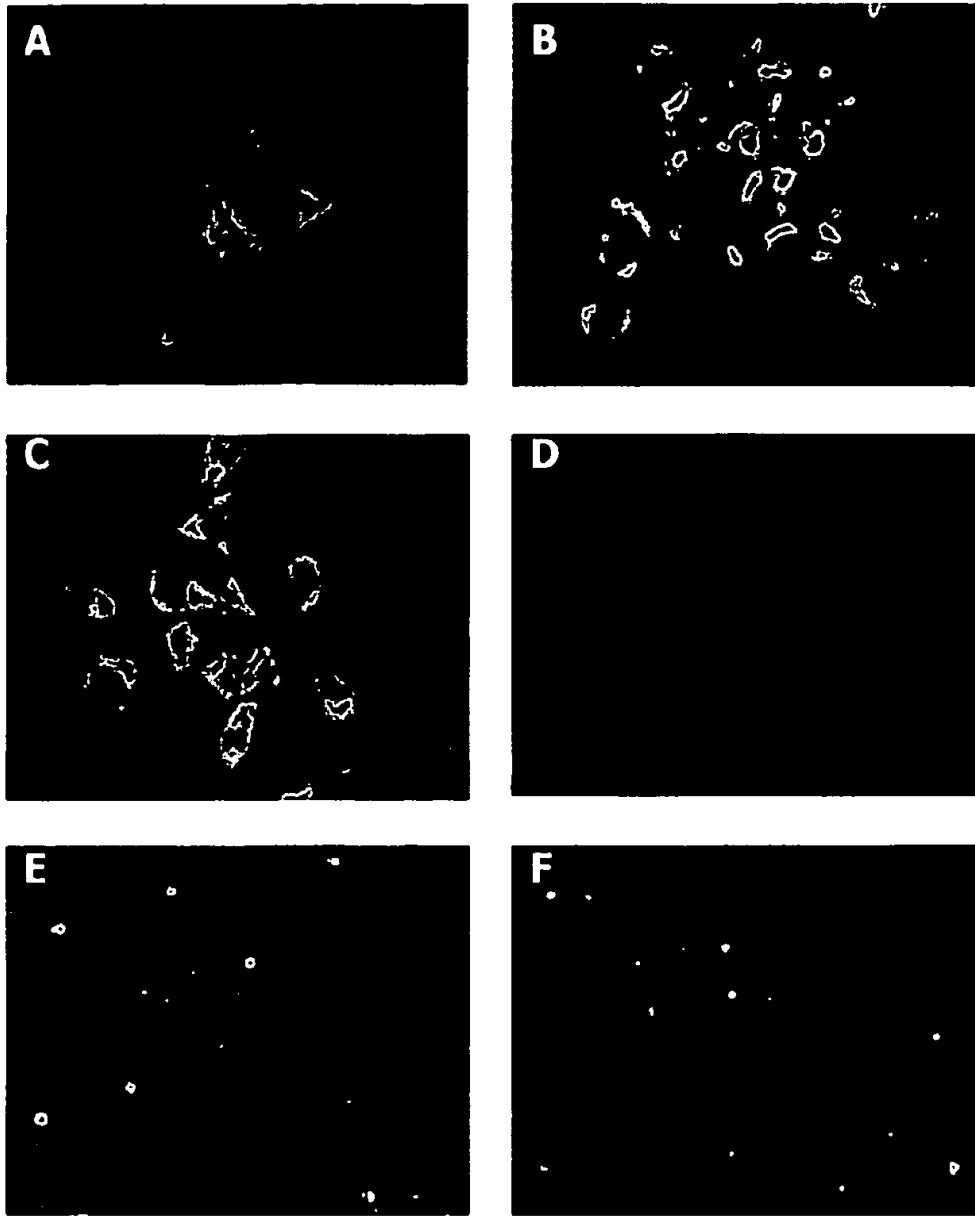


FIG. 2

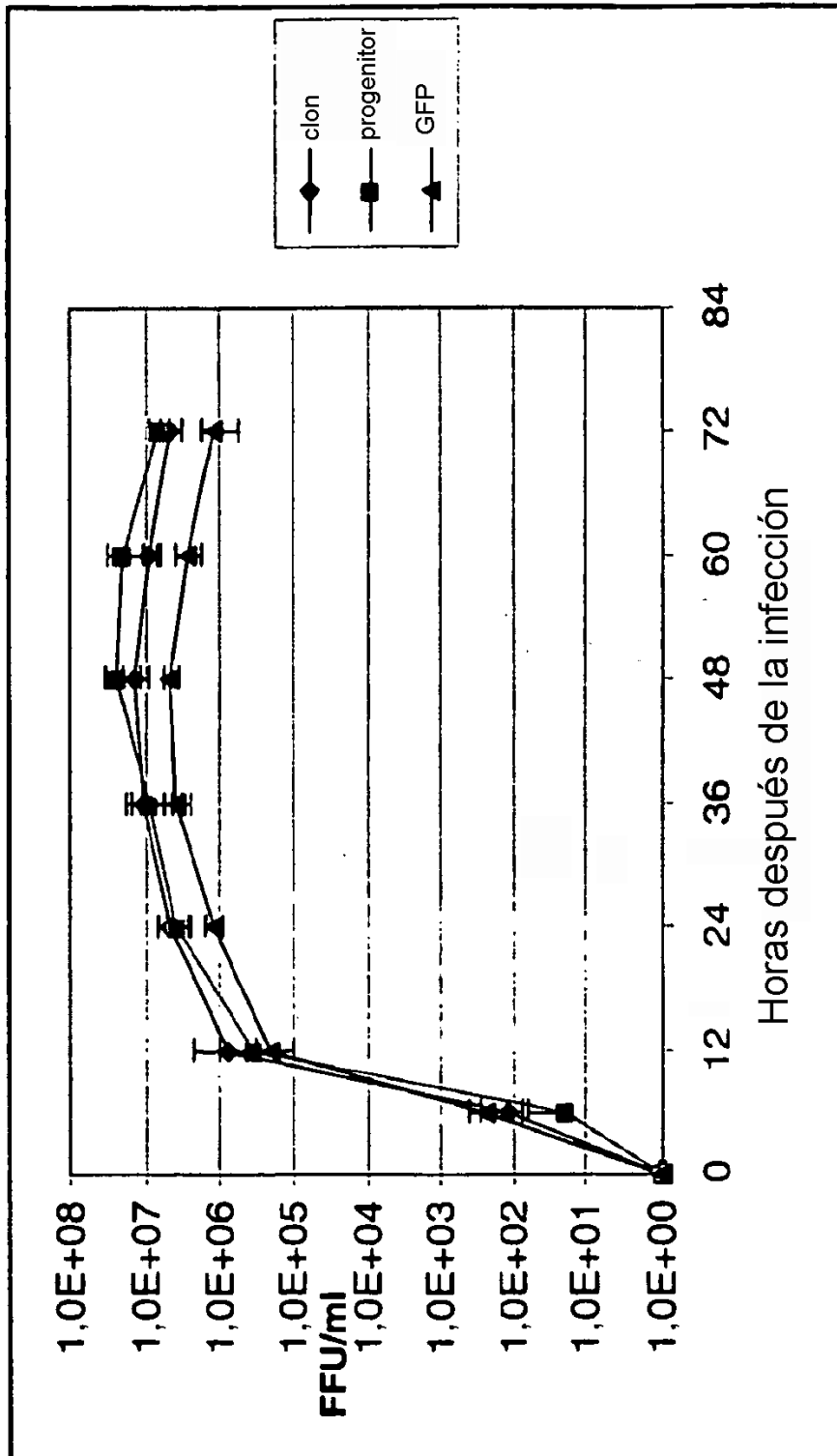


FIG. 3

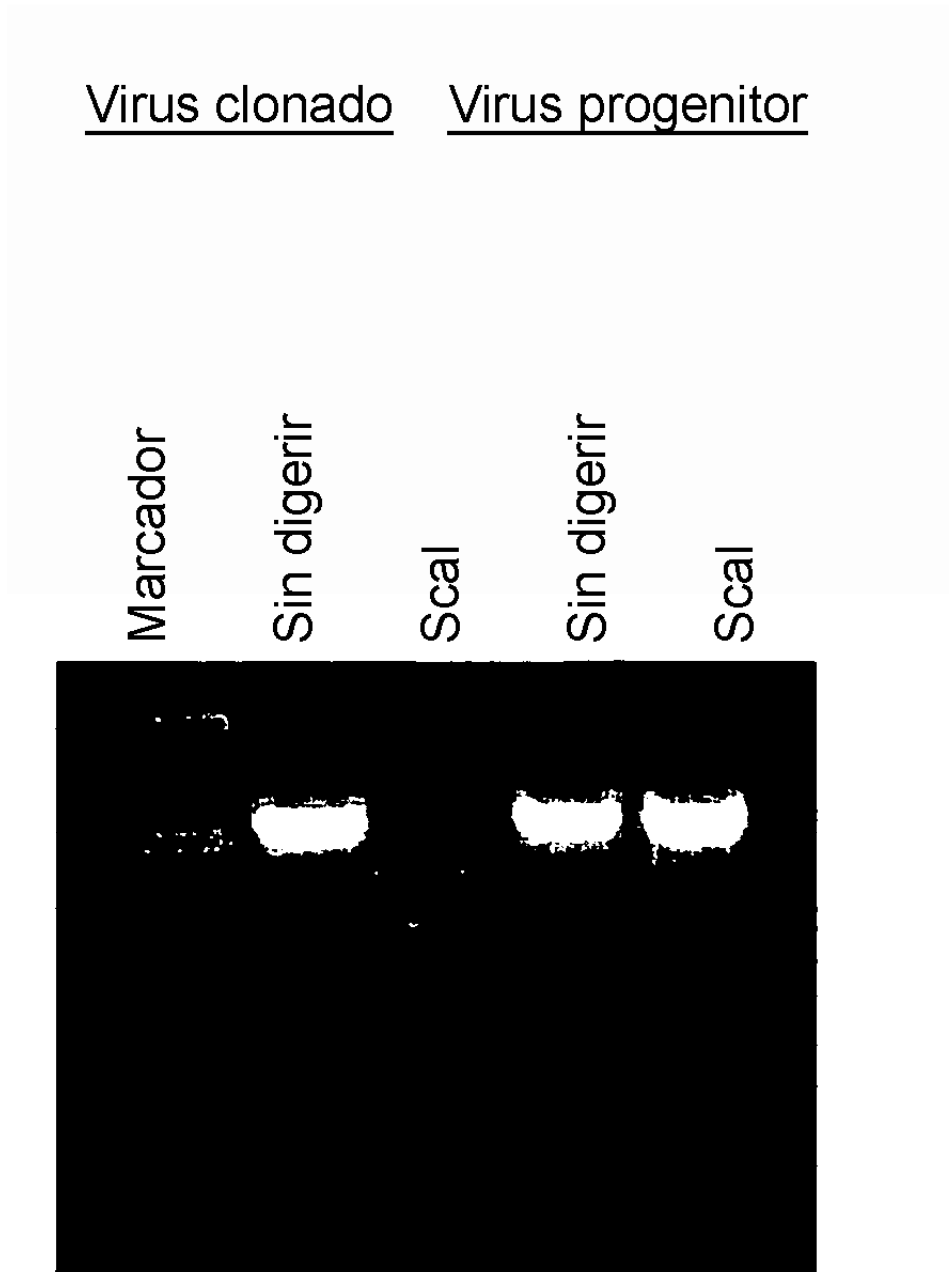


FIG. 4

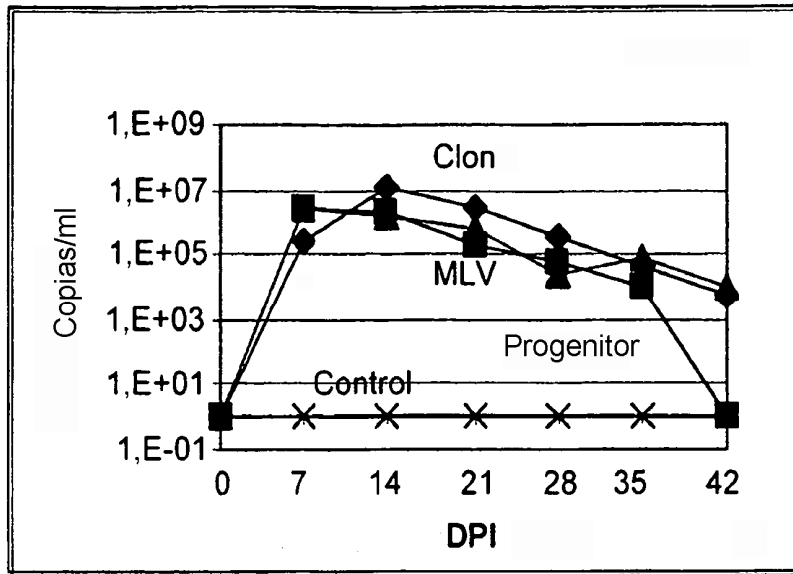


FIG. 5A

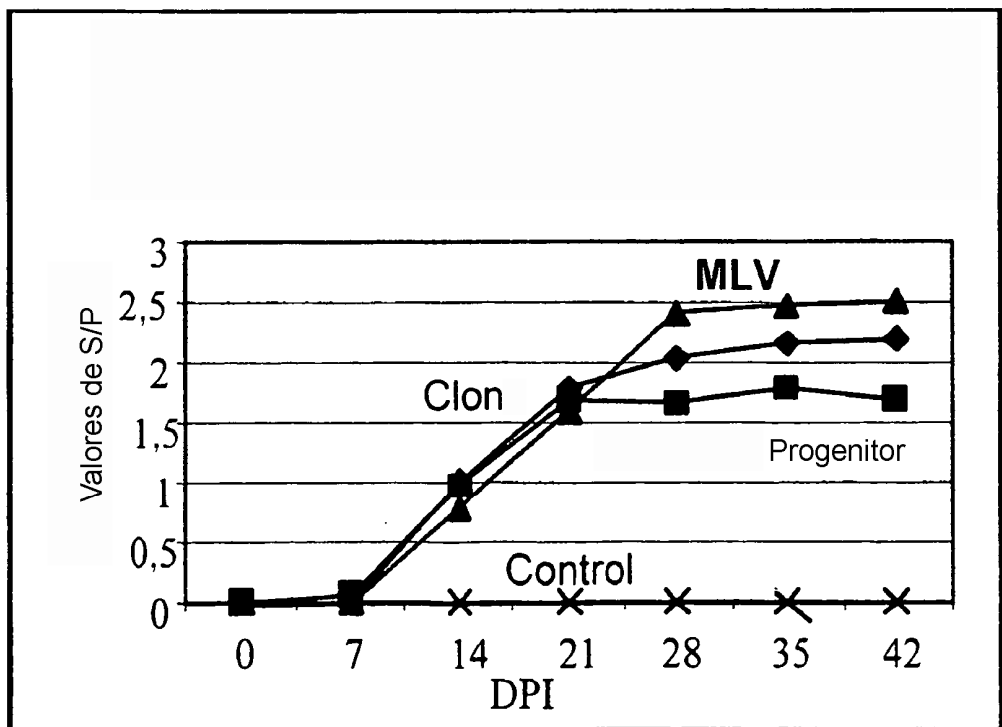


FIG. 5B

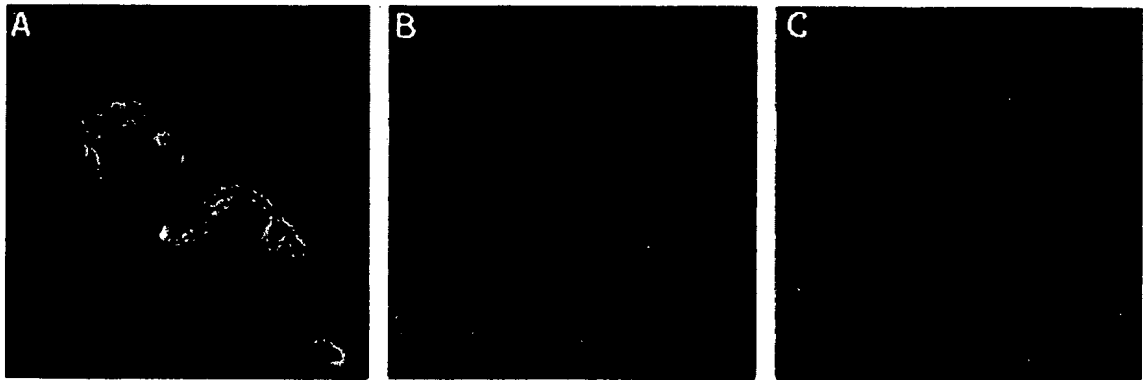


FIG. 6

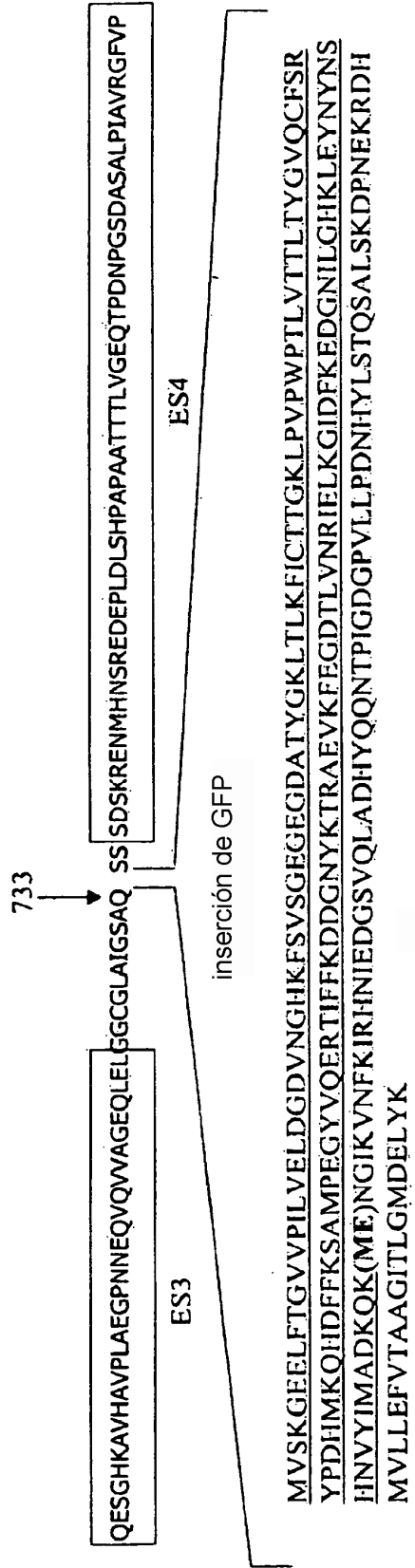


FIG. 7

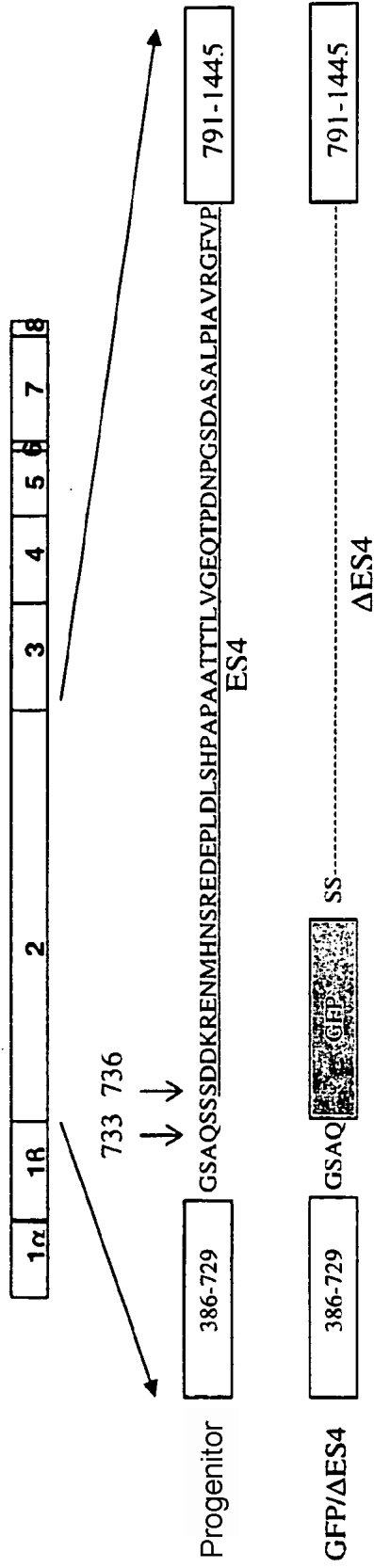


FIG. 8

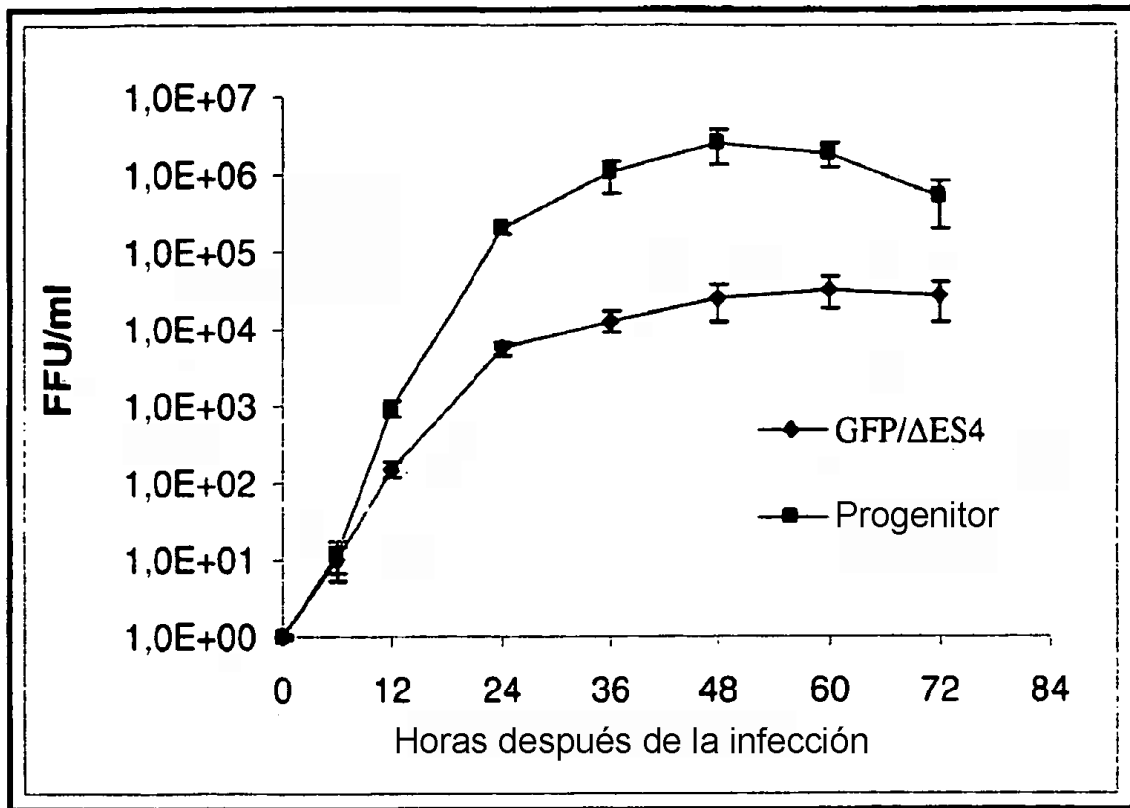
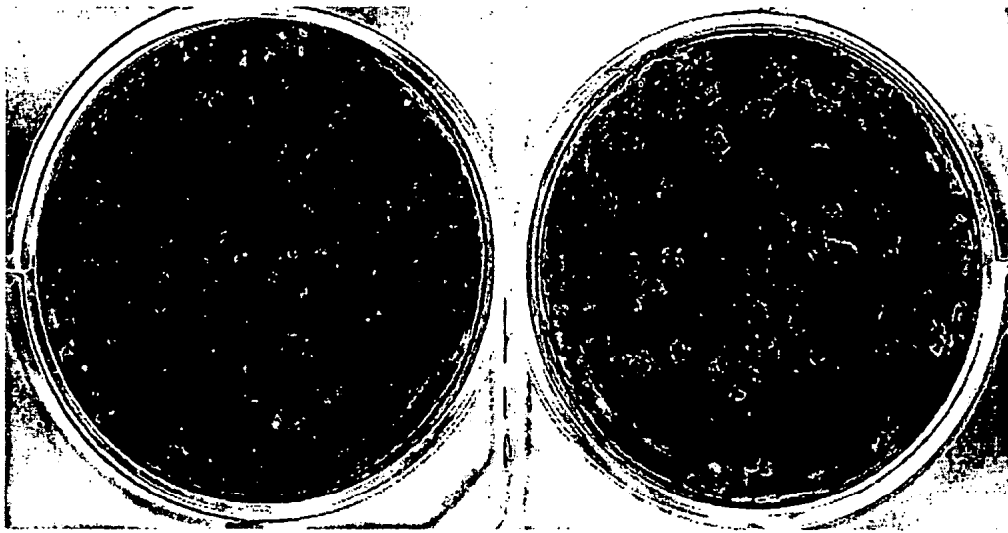


FIG. 9



10-1. Virus marcador de Δ ES4/GFP

10-2. Progenitor

FIG. 10

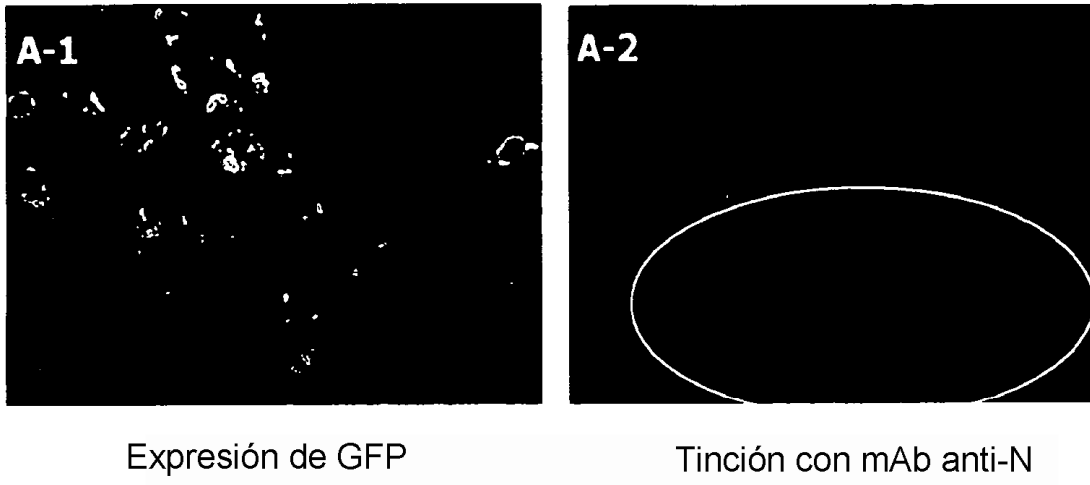


FIG. 11

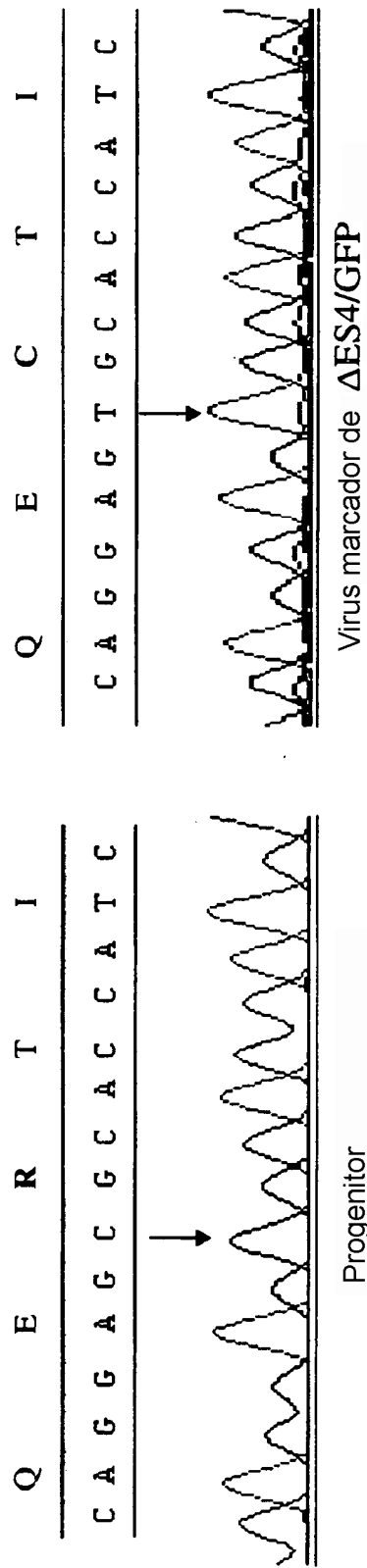


FIG. 12

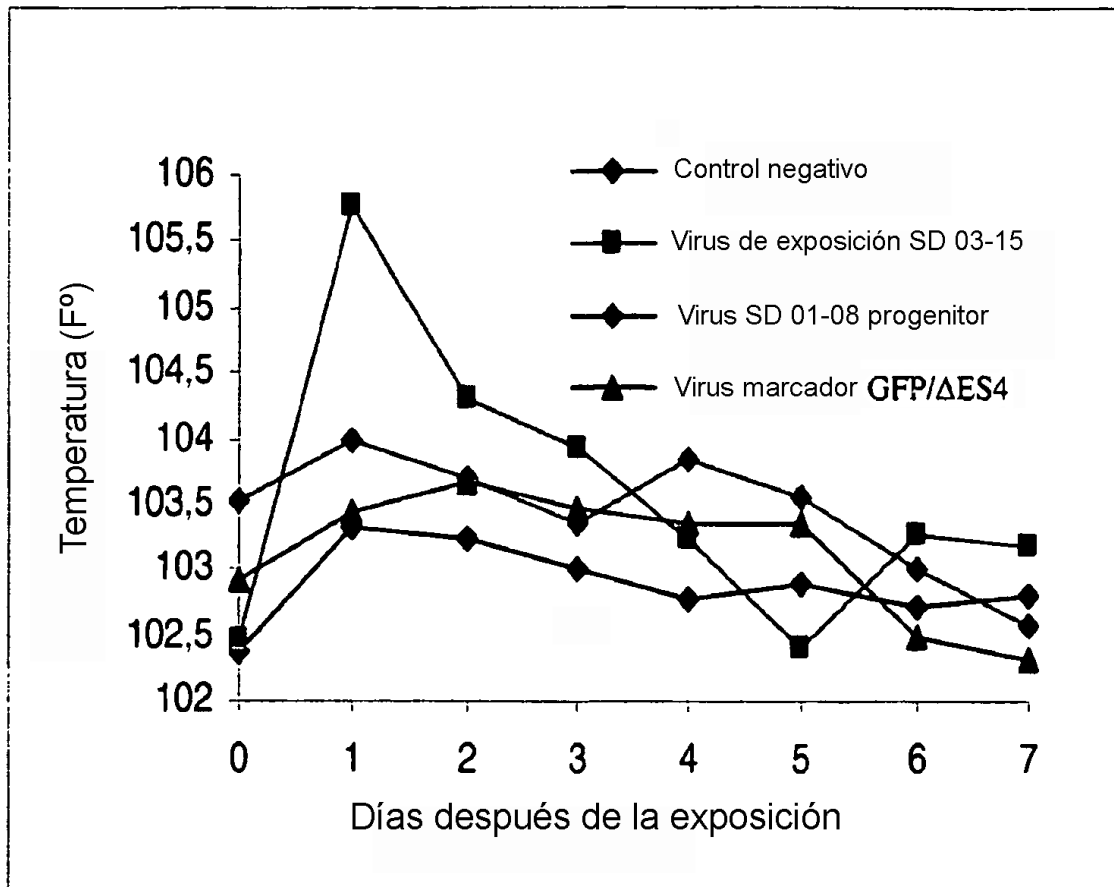


FIG. 13

GFP/ΔES4

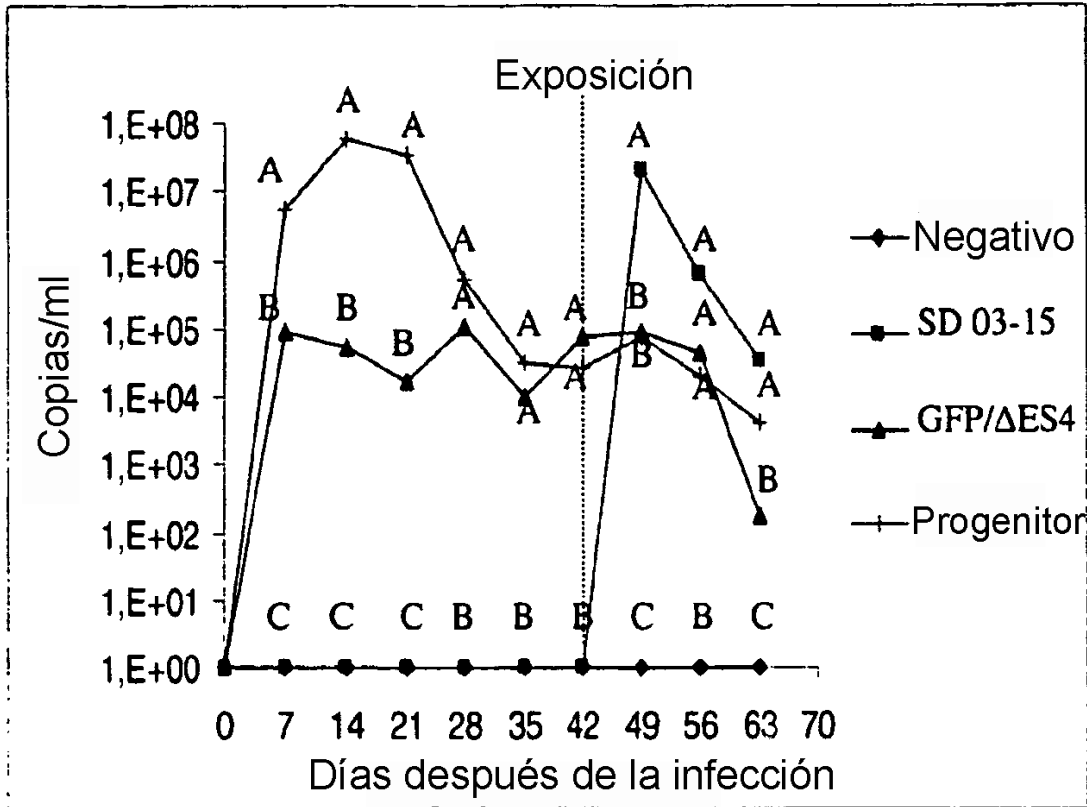


FIG. 14A

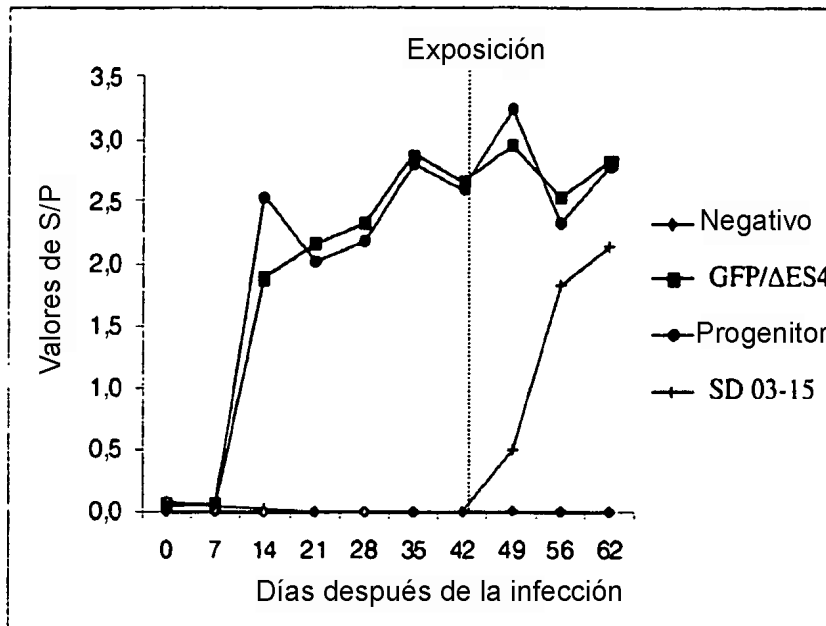


FIG. 14B

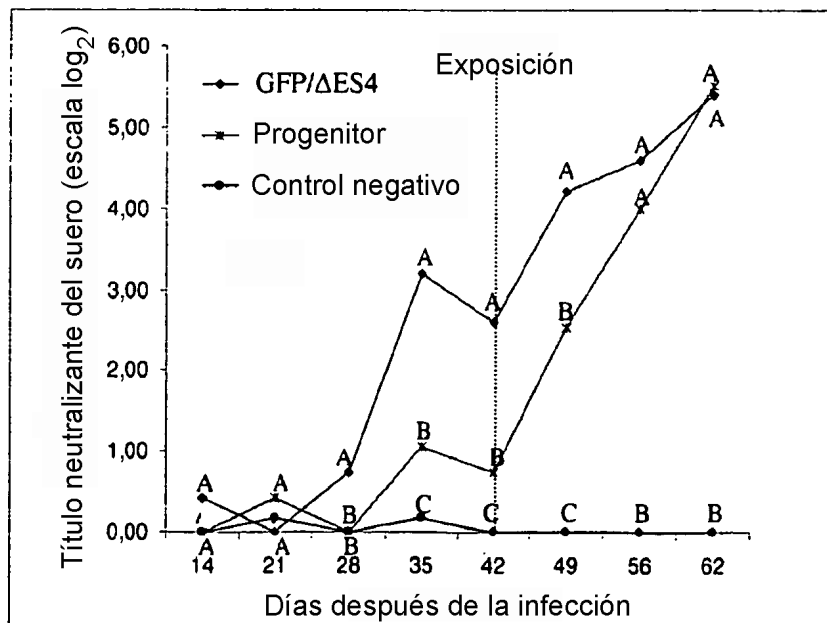


FIG. 14C

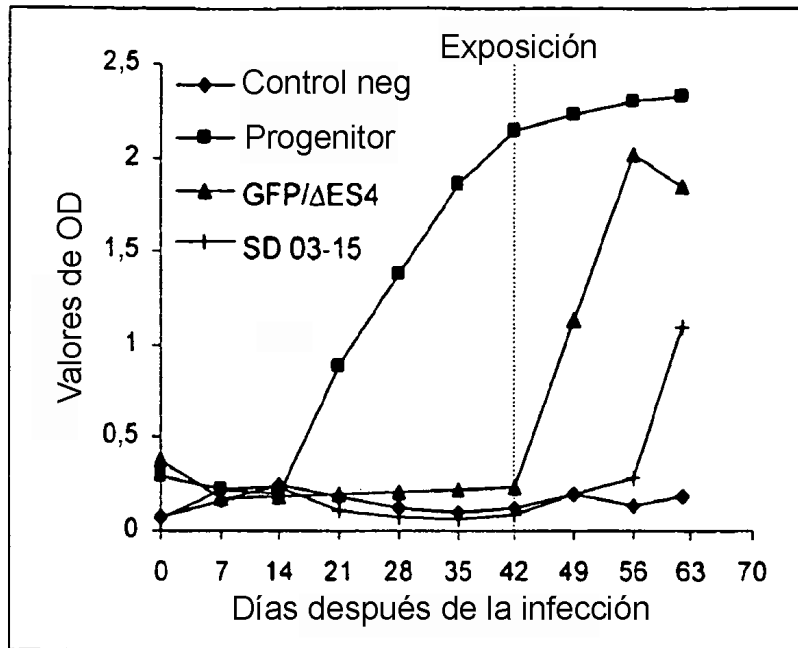


FIG. 15A. ELISA a base del epítipo de ES4

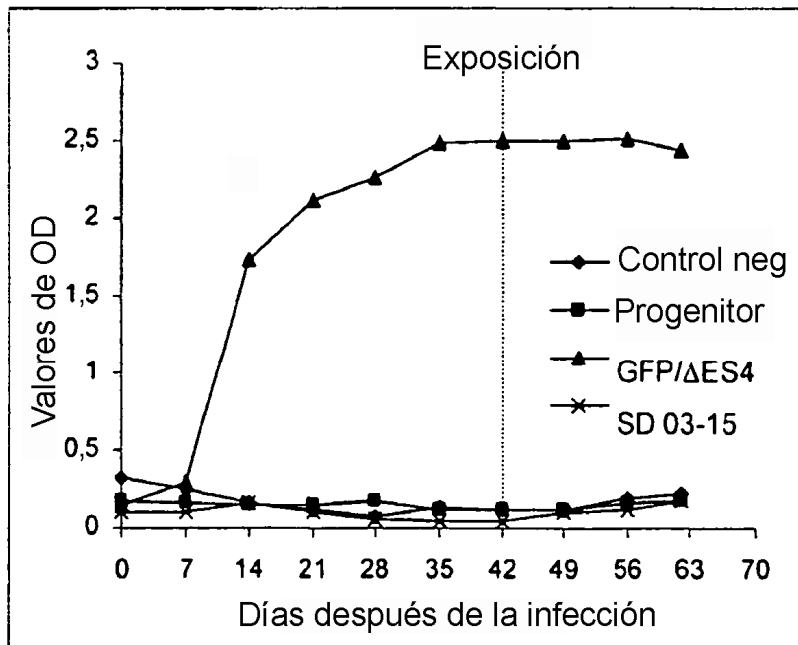


FIG. 15B. ELISA a base del antígeno de GFP

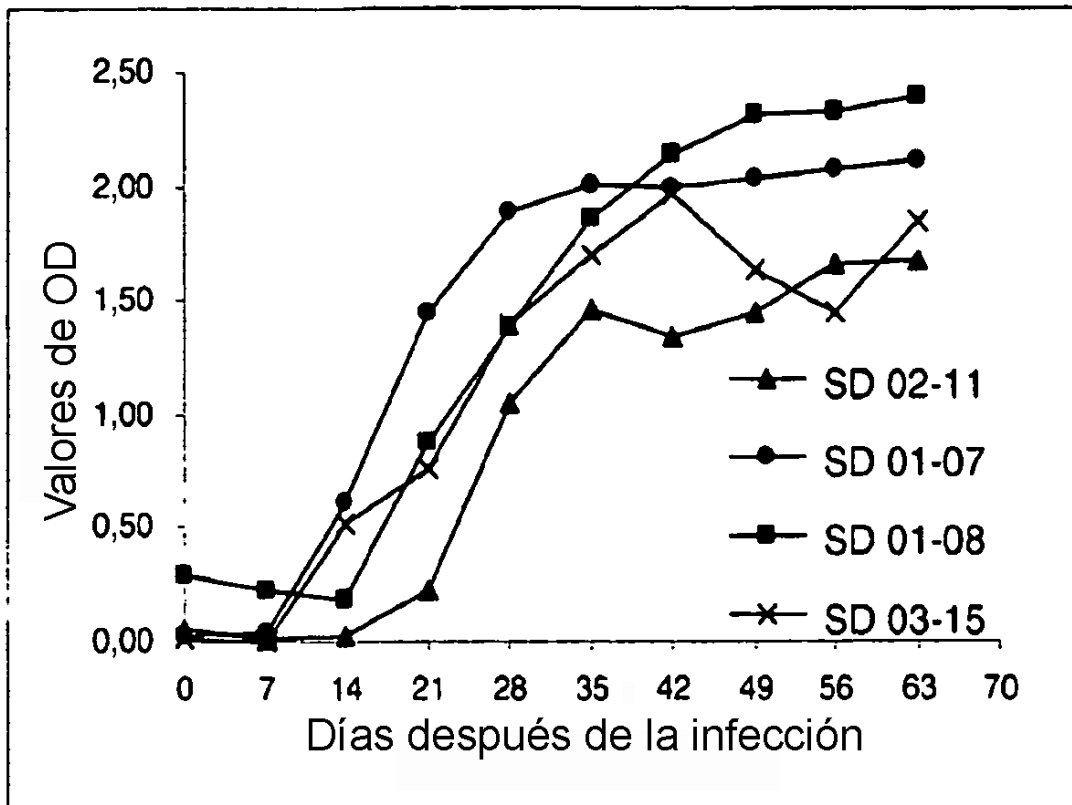


FIG. 15C. ELISA a base del epítipo de ES4